



دانشگاه صنعتی شاهرود

دانشکده عمران و معماری

گروه عمران

تحلیل الاستو-پلاستیک مسائل پیوسته دوبعدی به

روش آیزروژنومتریک

دانشجو: زهرا معصومی

استاد راهنما:

دکتر بهروز حسنی

استاد مشاور:

دکتر سید مهدی توکلی

پایان نامه ارشد جهت اخذ درجه کارشناسی ارشد

شهریور ماه ۱۳۹۱

بِسْمِ اللَّهِ الرَّحْمَنِ الرَّحِيمِ



دانشکده عمران و معماری
گروه عمران

تحلیل الاستو-پلاستیک مسائل پیوسته دوبعدی به روش آیزروژنومتریک

دانشجو: زهرا معصومی

استاد راهنما:

دکتر بهروز حسنی

استاد مشاور:

دکتر سید مهدی توکلی

پایان نامه ارشد جهت اخذ درجه کارشناسی ارشد

شهریور ماه ۱۳۹۱

دانشگاه صنعتی شاهرود

دانشکده عمران و معماری
گروه عمران

پایان نامه کارشناسی ارشد خانم زهرا معصومی

تحت عنوان تحلیل الاستو-پلاستیک مسائل پیوسته دوبعدی به روش آیزوژئومتریکی

در تاریخ ۱۳۹۱/۶/۲۹ توسط کمیته تخصصی زیر جهت اخذ مدرک کارشناسی ارشد مورد ارزیابی و با درجه خوب مورد پذیرش قرار گرفت.

امضاء	استاد مشاور	امضاء	استاد راهنما
	دکتر سید مهدی توکلی		دکتر بهروز حسنی

امضاء	نماینده تحصیلات تکمیلی	امضاء	اساتید داور
	مهندس سید علی حسینی		دکتر وحید کلاتجاری
			دکتر فضل الله ساغروانی

تقدیم به :

روح پاک پدرم که عالمانه به من آموخت تا چگونه در عرصه زندگی، ایستادگی را تجربه
نمایم

به مادرم دریای بی کران فداکاری و عشق که وجودم برایش همه رنج بود و وجودش برایم
همه مهر

به همسرم اسطوره زندگی، پناه فستگیم و امید بودنم که همواره یار و مشوقم بوده و گام هایم
را در پیمودن راه به ویژه در تهیه این رساله استواری بخشیده

و به فرزند عزیزم که نشانه لطف الهی در زندگی من است

تقدیر و تشکر :

لازم می‌دانم مراتب تشکر و قدردانی صادقانه خود را نسبت به استاد ارجمند جناب آقای دکتر حسنی به جهت هدایت و پشتیبانی دلسوزانه ایشان بیان نمایم. بعلاوه از هدایتهای علمی استاد مشاور محترم آقای دکتر توکلی نیز صمیمانه تشکر می‌نمایم.

بعلاوه از اساتید محترم کمیته داوری و نیز کلیه اساتید و دوستانم در دانشکده عمران دانشگاه صنعتی شاهرود بویژه ریاست محترم دانشکده جناب آقای دکتر احمدی که نقش ارزنده‌ای در پیشرفت علمی‌ام داشته‌اند تشکر می‌نمایم. بر خود واجب می‌دانم مراتب قدردانی عمیق خود را نسبت به همسرم بخاطر شکیبایی، درک متقابل و پشتیبانی کامل در طول دوران تحصیلم ابراز نمایم.

تعهد نامه

اینجانب **زهرا معصومی** دانشجوی دوره کارشناسی ارشد رشته عمران دانشکده عمران و معماری دانشگاه

صنعتی شاهرود نویسنده پایان نامه **تحلیل الاستو-پلاستیک مسائل پیوسته دوبعدی به روش**

آیزوژئومتریک تحت راهنمایی **دکتر بهروز حسنی** متعهد می شوم.

- تحقیقات در این پایان نامه توسط اینجانب انجام شده است و از صحت و اصالت برخوردار است .
- در استفاده از نتایج پژوهشهای محققان دیگر به مرجع مورد استفاده استناد شده است .
- مطالب مندرج در پایان نامه تاکنون توسط خود یا فرد دیگری برای دریافت هیچ نوع مدرک یا امتیازی در هیچ جا ارائه نشده است .
- کلیه حقوق معنوی این اثر متعلق به دانشگاه صنعتی شاهرود می باشد و مقالات مستخرج با نام « دانشگاه صنعتی شاهرود » و یا « Shahrood University of Technology » به چاپ خواهد رسید .
- حقوق معنوی تمام افرادی که در به دست آمدن نتایج اصلی پایان نامه تأثیرگذار بوده اند در مقالات مستخرج از پایان نامه رعایت می گردد.
- در کلیه مراحل انجام این پایان نامه ، در مواردی که از موجود زنده (یا بافتهای آنها) استفاده شده است ضوابط و اصول اخلاقی رعایت شده است .
- در کلیه مراحل انجام این پایان نامه، در مواردی که به حوزه اطلاعات شخصی افراد دسترسی یافته یا استفاده شده است اصل رازداری ، ضوابط و اصول اخلاق انسانی رعایت شده است .

تاریخ

امضای دانشجو

مالکیت نتایج و حق نشر

- کلیه حقوق معنوی این اثر و محصولات آن (مقالات مستخرج ، کتاب ، برنامه های رایانه ای ، نرم افزار ها و تجهیزات ساخته شده است) متعلق به دانشگاه صنعتی شاهرود می باشد . این مطلب باید به نحو مقتضی در تولیدات علمی مربوطه ذکر شود .
- استفاده از اطلاعات و نتایج موجود در پایان نامه بدون ذکر مرجع مجاز نمی باشد.

چکیده

روش تحلیل آیزوژئومتریکی یکی از روشهای محاسباتی است که اخیراً توسعه یافته و تلاش می‌کند امکان یکپارچه‌سازی بسته‌های CAD و CAE را فراهم نماید و بدین ترتیب ضمن ایجاد هندسه مدل دقیق و بهبود روش تحلیل، حجم محاسباتی را نیز کاهش دهد. این پایان نامه با مرور پیشینه موضوع و رویکرد تحلیل آیزوژئومتریکی مبتنی بر نریز، تحلیل پلاستیک سازه‌های دوبعدی مبتنی بر این روش را مورد توجه قرار داده است. در این راستا فرمول‌بندی رابطه الاستو-پلاستیک سازه‌های دوبعدی صورت پذیرفته و روشهای عددی حل این معادلات بررسی می‌شود. در ادامه با مرور خواص توابع پایه نریز، چگونگی حل اجزای محدود معادلات الاستو-پلاستیک سازه‌های دوبعدی مبتنی بر این توابع پایه ارائه می‌گردد. سپس با استفاده از نرم‌افزار MATLAB و کد توسعه یافته در آن تحت عنوان Elasto-Plastic IGA، حل عددی چند مساله نمونه با روش آیزوژئومتریکی مبتنی بر نریز ارائه و پاسخ‌ها با روش اجزاء محدود کلاسیک یا نتایج تحلیلی مقایسه می‌شود. بررسی نتایج حاصل حاکی از دقت مناسب روش تحلیل آیزوژئومتریکی و نرم افزار توسعه یافته مبتنی بر آن می‌باشد.

واژه‌های کلیدی: روش آیزوژئومتریکی، تئوری پلاستیسیته، روش اجزاء محدود، سازه‌های دوبعدی

فهرست مطالب

۱-	مقدمه.....	۲
۱-۱-	ساختار پایان نامه.....	۳
۲-	تئوری ریاضی پلاستیسیته در سازه‌های دو بعدی.....	۵
۱-۲-	مقدمه.....	۶
۲-۲-	معادلات حاکم بر مکانیک جامدات در سیستم مختصات کارتزین.....	۷
۳-۲-	حل اجزاء محدود مساله مقدار مرزی / اولیه.....	۹
۱-۳-۲-	مساله الاستیک.....	۹
۲-۳-۲-	مساله الاستو-پلاستیک.....	۱۴
۳-۳-۲-	طبقه‌بندی رفتارهای ساختاری.....	۲۱
۴-۳-۲-	تئوری پلاستیک مستقل از نرخ.....	۲۲
۵-۳-۲-	ساختار کلی پلاستیک مستقل از نرخ.....	۲۸
۶-۳-۲-	روش‌های انتگرال‌گیری معادلات ساختاری الاستوپلاستیک.....	۴۵
۷-۳-۲-	روش تصویر نزدیک‌ترین نقطه (CPPM).....	۵۳
۸-۳-۲-	مدل فون-میسز و انتگرال‌گیری از آن.....	۵۹
۴-۲-	جمع‌بندی.....	۶۴
۳-	تحلیل آیزوژنومتریک.....	۶۵
۱-۳-	مقدمه.....	۶۶
۲-۳-	ب-اسپیلاین.....	۶۷
۱-۲-۳-	حوزه یا دامنه پارامتری.....	۶۸
۲-۲-۳-	توابع پایه ب-اسپیلاین.....	۶۹
۳-۲-۳-	مشقتات ب-اسپیلاین ها.....	۷۲
۴-۲-۳-	منحنی‌های ب-اسپیلاین.....	۷۳
۵-۲-۳-	سطوح و احجام ب-اسپیلاین.....	۷۶
۶-۲-۳-	درون‌یابی منحنی کلی.....	۷۷
۳-۳-	بهبود.....	۷۸
۱-۳-۳-	درج‌گره: بهبود- h.....	۷۸
۲-۳-۳-	ارتقاء درجه: بهبود- p.....	۷۹
۳-۳-۳-	ارتقاء پیوستگی و درجه: بهبود- k.....	۸۰
۴-۳-	ب-اسپیلاین‌های گویای غیریکنواخت (نریز).....	۸۳
۱-۴-۳-	توابع پایه نریز.....	۸۳

۸۴ مشتقات نریز	۲-۴-۳
۸۵ منحنی های نریز	۳-۴-۳
۸۶ سطوح و احجام نریز	۴-۴-۳
۸۷ آنالیز آیزوژئومتریك: نریز به عنوان پایه ای برای آنالیز	۵-۳
۸۷ مش	۱-۵-۳
۹۰ توسعه FEM مبتنی بر نریز	۲-۵-۳
۹۲ شرایط مرزی	۳-۵-۳
۹۳ انتگرال گیری	۴-۵-۳
۹۴ Matlab از نرم افزار استفاده با استفاده از نرم افزار	۶-۳
۹۹ جمع بندی	۷-۳
۱۰۰ پیاده سازی الگوریتم و حل الاستو-پلاستیک مسائل دو بعدی نمونه به روش IGA	۴
۱۰۱ مقدمه	۱-۴
۱۰۱ ساختار برنامه Elasto-Plastic IGA	۲-۴
۱۰۳ مثال عددی	۳-۴
۱۰۲ تیر طره	۱-۳-۴
۱۰۹ غشای Cook	۲-۳-۴
۱۱۴ نوار مسطح	۳-۳-۴
۱۱۸ ورق نامحدود با حفره دایروی	۴-۳-۴
۱۲۳ جمع بندی	۴-۴
۱۲۴ جمع بندی و پیشنهادات	۵
۱۲۵ جمع بندی نتایج حاصل	۱-۵
۱۲۶ پیشنهادات	۲-۵
۱۲۷ مراجع	

فهرست اشکال

- شکل (۱-۲) یک نمونه شیء اجزاء محدود..... ۱۰
- شکل (۲-۲) روابط غیرخطی تنش- کرنش و نیرو- جابجایی..... ۱۶
- شکل (۳-۲) نمایش روش‌های متوالی نیوتن- رافسون..... ۱۷
- شکل (۴-۲) کاربرد توالی‌های نیوتن- رافسون در آنالیز اجزاء محدود غیر خطی..... ۱۸
- شکل (۵-۲) مدل‌های ساختاری ابتدایی..... ۲۲
- شکل (۶-۲) اساس رفتار الاستو پلاستیک..... ۲۲
- شکل (۷-۲) سیر تحول سطح تسلیم طی بارگذاری چند محوری..... ۲۵
- شکل (۸-۲) رفتارهای سخت شدگی استاندارد..... ۲۶
- شکل (۹-۲) نمایش الزامات معیار بارگذاری..... ۲۷
- شکل (۱۰-۲) شکل تابعی سطح تسلیم..... ۲۹
- شکل (۱۱-۲) نمایش اندیس بارگذاری..... ۳۰
- شکل (۱۲-۲) مفهوم هندسی سطوح تسلیم و پتانسیل پلاستیک..... ۳۴
- شکل (۱۳-۲) شکل سطح تسلیم فون- میسز در حالت بارگذاری دومحوره..... ۴۰
- شکل (۱۴-۲) شماتیک توابع سخت‌شدگی ایزوتروپیک خطی و غیر خطی..... ۴۳
- شکل (۱۵-۲) نمایش هندسی افزایش‌های تنش و کرنش..... ۴۷
- شکل (۱۶-۲) نمایش هندسی پیش‌بین الاستیک- تصحیح کننده پلاستیک..... ۵۱
- شکل (۱۷-۲) نمایش هندسی روش اولر دو مرحله‌ای..... ۵۲
- شکل (۱۸-۲) نمایش هندسی روش صفحه برشی..... ۵۳
- شکل (۱۹-۲) شماتیک رویه CPPM در حالت خواص الاستیک ثابت..... ۵۴
- شکل (۱-۳) اسپیلاین نگه‌داشته شده با زبانه‌ها جهت ایجاد شکل طراحی هموار مدنظر..... ۶۷
- شکل (۲-۳) تولید بازگشتی توابع پایه درجه ۳ برای بردار گره‌ای $\Xi = \{0,0,0,0,1,2,3,4,4,4,4\}$ ۷۰
- شکل (۳-۳) توابع پایه درجه دو برای بردار گره‌ای غیریکنواخت $\Xi = \{0,0,0,1,2,3,4,4,5,5,5\}$ ۷۱
- شکل (۴-۳) خاصیت تقلیل تغییرات با افزایش درجه منحنی..... ۷۳
- شکل (۵-۳) ایجاد یک منحنی (الف) دامنه پارامتری Ω' و شبکه کنترلی p (ب) ترکیب خطی توابع پایه و نقاط کنترلی که منحنی را شکل می‌دهد..... ۷۴
- شکل (۶-۳) الف یک منحنی درجه دو با بردار گره‌ای یکنواخت (ب) یک منحنی که در $\xi = 4$ دوبار تکرار شده است $k = 2$. کاهش پیوستگی منحنی در p_6 ناشی از تکرار در $\xi = 4$ قابل توجه است..... ۷۵
- شکل (۷-۳) مثالی از درج گره روی یک منحنی ب-اسپیلاین درجه ۳..... ۸۰

- شکل (۸-۳) ارتقاء درجه منحنی ب-اسپیلاین مرتبه ۳ با بردار گره‌ای $\Xi = \{0,0,0,0,1,2,3,4,4,4,4\}$ و شبکه کنترلی p منجر به منحنی مرتبه ۴ با غنی‌سازی بردار گره‌ای $\Xi = \{0,0,0,0,0,1,1,2,2,3,3,4,4,4,4,4\}$ و شبکه کنترلی \bar{p} شده است. ۸۱
- شکل (۹-۳) بهبود k در مقابل بهبود p (الف) شروع از یک المان خطی (ب) روش بهبود p -کلاسیک: درج گره به همراه ارتقاء درجه سبب ایجاد هفت تکه تابع پایه درجه چهار C^0 شده است (ج) بهبود k با ارتقاء درجه همراه با درج گره منتج به پنج تکه تابع پایه درجه چهار C^1 شده است. ۸۲
- شکل (۱۰-۳) مثالی از ساخت منحنی کمان دایره با استفاده از توابع نربز روی بردار گره‌ای $\Xi = \{0,0,0,1,1,1\}$ ۸۵
- شکل (۱۱-۳) ساخت دایره با استفاده از نربز. سطح از بردار $\Xi = H = \{0,0,0,1,1,1\}$ و نقاط کنترلی و وزن‌های نشان داده شده در شکل ساخته شده است. ۸۶
- شکل (۱۲-۳) تفاوت FEM و IGA از دیدگاه آنالیز. ۸۸
- شکل (۱۳-۳) تعریف مش در IGA تعریف هندسه CAD اولیه برای صفحه سوراخ‌دار فضای پارامتری Ω' مطابق با بردارهای گره‌ای $\Xi = \{0,0,0,0.5,1,1,1\}$, $\Xi = \{0,0,0,1,1,1\}$ که منتج به مش بندی با دو المان می‌شود که با دورنگ نشان داده شده است و پس از نگاشت به فضای فیزیکی در شکل نمایان است. ۸۹
- شکل (۱۴-۳) ساخت هندسه مناسب آنالیز با بهبودهای متوالی. ۸۹
- شکل (۱۵-۳) اعمال شرایط مرزی قوی. ملاحظه می‌شود که نربز هم مانند چندجمله‌ای‌های لاگرانژ پدیده گیبس را از خود نشان می‌دهد، اما کمتر از آن با اعمال داده‌ها مستقیماً روی نقاط کنترلی باعث درگیر شدن شرایط مرزی با افزایش p می‌شود. ۹۳
- شکل (۱-۴) ساختار کلی برنامه Elasto-Plastic IGA ۱۰۲
- شکل (۲-۴) تیر طره: هندسه و شرایط تکیه گاهی. ۱۰۳
- شکل (۳-۴) نواحی الاستیک و پلاستیک در تیر طره. ۱۰۴
- شکل (۴-۴) مش‌ها و نقاط کنترلی در تیر طره. ۱۰۶
- شکل (۵-۴) جابجایی در جهت γ تیر طره در حالت الاستیک. ۱۰۶
- شکل (۶-۴) تنش در جهت XX تیر طره در حالت الاستیک. ۱۰۶
- شکل (۷-۴) جابجایی در جهت γ تیر طره در حالت پلاستیک. ۱۰۷
- شکل (۸-۴) تنش فون-میسز تیر طره در حالت پلاستیک. ۱۰۸
- شکل (۹-۴) تنشهای تیر طره در حالت پلاستیک. ۱۰۸
- شکل (۱۰-۴) کرنش پلاستیک موثر تیر طره در حالت پلاستیک. ۱۰۸
- شکل (۱۱-۴) غشای Cook. ۱۰۹
- شکل (۱۲-۴) کشش در مساله غشای Cook. ۱۱۰

- شکل (۴-۱۳) مش‌ها و نقاط کنترلی در غشای Cook..... ۱۱۰
- شکل (۴-۱۴) کانتورهای تنش در غشای Cook..... ۱۱۱
- شکل (۴-۱۵) تنش فون میسنر در غشای Cook..... ۱۱۲
- شکل (۴-۱۶) کرنش پلاستیک موثر در غشای Cook..... ۱۱۲
- شکل (۴-۱۷) جابجایی در غشای Cook..... ۱۱۳
- شکل (۴-۱۸) نوار الاستوپلاستیک ۱۱۴
- شکل (۴-۱۹) تنش فون میسنر در نوار صفحه ای حاصل از حل اجزای محدود..... ۱۱۵
- شکل (۴-۲۰) مش‌ها و نقاط کنترلی در نوار مسطح..... ۱۱۵
- شکل (۴-۲۱) جابجایی در نوار مسطح..... ۱۱۶
- شکل (۴-۲۲) تنش فون میسنر در نوار مسطح..... ۱۱۶
- شکل (۴-۲۳) تنشها در نوار مسطح..... ۱۱۷
- شکل (۴-۲۴) کرنش پلاستیک موثر در نوار مسطح..... ۱۱۸
- شکل (۴-۲۵) ورق نامحدود با سوراخ دایروی..... ۱۱۹
- شکل (۴-۲۶) تنش پلاستیک ورق نامحدود با سوراخ دایروی حاصل از حل اجزای محدود..... ۱۱۹
- شکل (۴-۲۷) مش‌ها و نقاط کنترلی در ورق نامحدود با سوراخ دایروی..... ۱۲۰
- شکل (۴-۲۸) تنش فون میسنر در ورق نامحدود با سوراخ دایروی..... ۱۲۰
- شکل (۴-۲۹) تنش ها در ورق نامحدود با سوراخ دایروی..... ۱۲۱
- شکل (۴-۳۰) کرنش پلاستیک موثر در ورق نامحدود با سوراخ دایروی..... ۱۲۲
- شکل (۴-۳۱) جابجایی در ورق نامحدود با سوراخ دایروی..... ۱۲۲

فهرست جداول

جدول (۱-۳) مقایسه IGA و FEA ۸۷

جدول (۲-۳) توابع NURBS Toolbox ۹۶

فصل اول:

مقدمه

مقدمه

روش تحلیل آیزوژئومتریک^۱ یکی از روشهای محاسباتی است که اخیراً توسعه یافته و تلاش می‌کند امکان یکپارچه سازی بسته های CAD^۲ و CAE^۳ را فراهم نماید. بسته های CAD در سالهای ۱۹۸۰-۱۹۷۰ بر پایه منحنی‌های نربز^۴ (NURBS) که قابلیت ارائه هندسه دقیق اشکال پیچیده بویژه شکل‌های مهندسی چون سیلندر، کره و... را دارد طراحی شده‌اند، اما بسته‌های CAE که در سالهای ۱۹۵۰-۱۹۴۰ طراحی شده‌اند، با بهره‌گیری از روش اجزای محدود^۵، هندسه مدل را با استفاده از چند جمله‌ایها^۶ ایجاد می‌نمایند، در نتیجه هندسه ایجاد شده تقریبی است. این خطا در نواحی مرزی و هندسه‌های پیچیده افزایش می‌یابد. علاوه بر این، ایجاد مدل‌های تحلیلی چون تولید مش، اصلاح مش بندی، مدل‌سازی جریان سیالات، شکلهای آیرودینامیک، کمانش پوسته‌ها و... در آن با دشواری همراه خواهد بود [۱]. بنابراین جهت تحلیل طرحهای جدید که بطور مستمر، با سرعت ودقت بالا تولید می‌شوند باید بین CAD و CAE تبادل اطلاعات صورت پذیرد و چون روش‌های محاسباتی هندسی برای هر یک متفاوت است انجام آن پیچیده و زمانبر خواهد بود [۲] بطوریکه تولید هندسه و مش بندی به روش اجزای محدود در برخی از پروژه‌ها علاوه بر اینکه تا ۸۰٪ زمان تحلیل را به خود اختصاص می‌دهد، از دقت هندسه مدل نیز می‌کاهد.

^۱ Isogeometric analysis

^۲ Computer Aided Design

^۳ Computer Aided Engineering

^۴ Non-Uniform Rational B-Splines

^۵ Finite Element Method

^۶ Polynomial

در راستای بهبود روشهای تحلیل و برطرف نمودن مشکلات فوق روش تحلیل آیزوژئومتریکی در سال ۲۰۰۵ توسط پروفسور T.J.R.Hughes ارائه گردید. در این روش هندسه دقیق با استفاده از سطوح نرَبز در نرم افزارهای CAD ایجاد و سپس با المانهای نرَبز مش بندی انجام می شود و به این ترتیب مدل تحلیلی نیز بطور دقیق ایجاد می گردد [۳]. این روش از مزایای زیر برخوردار است:

۱- سادگی در بهبود مش و بالا بردن دقت حل

۲- کاهش حجم محاسبات با توجه به انعطاف پذیر بودن توابع پایه در مدلسازی چندجمله ای های

با درجات بالا

۳- مدلسازی دقیق و ساده هندسه مساله

۴- اقناع دقیق شرایط مرزی

طبق مطالعات انجام شده این روش در حوزه های مختلفی چون ارتعاشات سازه ای [۴،۵،۶]، انتشار امواج [۴]، انتقال حرارت [۷] و الکترومغناطیس [۸] موفق عمل نموده است و همچنان تحقیق بر روی این روش در سایر حوزه ها ادامه دارد.

در این راستا تعداد قابل توجهی از مواد مهندسی مانند فلزات، بتن، سنگ ها و به طور کلی خاک ها، بعنوان مواد پلاستیک دسته بندی می گردند. لذا با توجه به اهمیت تجزیه و تحلیل دقیق رفتار این مواد، مطالعه بر روی آنالیز پلاستیک سازه های دوبعدی بر اساس روش آیزوژئومتریکی در قالب این پایان نامه مورد توجه قرار گرفته است. شایان ذکر است بر اساس بررسی های صورت پذیرفته تاکنون در این حوزه در داخل و خارج از کشور مستندی منتشر نشده است.

۱-۱- ساختار پایان نامه

این پایان نامه با مرور پیشینه موضوع و رویکرد تحلیل آیزوژئومتریکی مبتنی بر نرَبز، تحلیل پلاستیک سازه های دوبعدی مبتنی بر این روش را مورد توجه قرار می دهد. در این راستا فرمول بندی

رابطه الاستو-پلاستیک تنش- کرنش سازه های دوبعدی در فصل دوم صورت می پذیرد و روشهای عددی حل این معادلات بررسی می شود. در ادامه در فصل سوم با مرور خواص توابع پایه نریز چگونگی حل اجزای محدود معادلات الاستو-پلاستیک سازه های دو بعدی مبتنی بر این توابع پایه ارائه می گردد. سپس در فصل چهارم با ارائه حل تحلیلی یک مساله نمونه بعنوان یک الگوی مقایسه، شبیه سازی آن با روش آیزوژئومتریک مبتنی بر نریز با استفاده از نرم افزار Elasto-Olastic IGA صورت می پذیرد. بررسی نتایج حاصل و ارائه جمع بندی و برخی پیشنهادات برای فعالیت های آتی نیز در فصل پنجم انجام خواهد شد.

فصل دوم:

نظری ریاضی پلاستیسیته در

سازه های دو بعدی

تئوری ریاضی پلاستیسیته در سازه‌های دو بعدی

۲-۱- مقدمه

تئوری پلاستیسیته با جامداتی^۱ سرو کار دارد که پس از بارگذاری و باربرداری کامل، به حالت اولیه خود بازنگشته و در آنها تغییر شکلهای دائمی ایجاد می‌گردد. در حالت خاص، این تئوری به تشریح موادی می‌پردازد که در آنها تغییر شکل دائمی به نرخ اعمال بار بستگی ندارد. موادی که رفتار آنها توسط تئوری پلاستیسیته قابل تشریح باشد، مواد پلاستیک نامیده می‌شود. تعداد قابل توجهی از مواد مهندسی مانند فلزات، بتن، سنگ‌ها و به طور کلی خاک‌ها، بعنوان مواد پلاستیک دسته بندی می‌گردند. پیدایش اصل تئوری پلاستیسیته را می‌توان در اواسط قرن نوزدهم جستجو کرد، در ادامه مخصوصاً در نیمه اول قرن بیستم، پیشرفت‌های چشم‌گیری واقع شد. این تئوری امروزه دارای پایه‌های ریاضی قدرتمندی است و بعنوان یکی از موفق‌ترین مدل‌های ساختاری مواد جامد شناخته می‌شود.

هدف از تئوری ریاضی پلاستیسیته فراهم‌آوری توصیف تئوریک روابط بین تنش و کرنش برای موادی است که پاسخ الاستو-پلاستیک از خود نشان می‌دهند. در تئوری ریاضی پلاستیسیته، تغییرشکل‌ها بی‌نهایت کوچک فرض می‌شوند که این مطلب حل عددی رفتار جامدات را ممکن می‌سازد. در این فصل تحلیل الاستو-پلاستیک سازه‌های دو بعدی با ارائه فرضیات اولیه و بیان تئوریک مرتبط با آنها مورد

^۱ Solids

توجه قرار می‌گیرد و در ادامه روشهای حل عددی این معادلات ارائه می‌شود. مراجع اصلی موضوعات این فصل [۹،۱۰،۱۱] است اما از مراجع [۱۲،۱۳،۱۴] نیز می‌توان در تکمیل بحث استفاده نمود.

۲-۲- معادلات حاکم بر مکانیک جامدات در سیستم مختصات کارتزین

سه حالت ایده‌آل در فضای دوبعدی به صورت زیر متصور می‌باشد:

۱- تنش مسطح^۱

۲- کرنش مسطح^۲

۳- تقارن محوری^۳

در مساله تنش مسطح σ_{zz} ثابت فرض می‌شود و در مساله کرنش مسطح ε_{zz} ثابت می‌باشد. لذا در مساله تنش مسطح ε_{zz} در حین بارگذاری می‌تواند تغییر کند در حالیکه در مساله کرنش مسطح σ_{zz} متغیر خواهد بود.

در مسائل تنش و کرنش مسطح تنها اجزایی که بعنوان متغیرهای مجهول مفروض هستند $(\sigma_{xx}, \sigma_{yy}, \sigma_{xy})$ و $(\varepsilon_{xx}, \varepsilon_{yy}, \gamma_{xy})$ می‌باشند زیرا σ_{zz} و ε_{zz} را می‌توان از روی این متغیرها و بهره‌گیری از معادلات ساختاری^۴ محاسبه نمود. قراردادن این متغیرها در قالب بردارهای $\sigma = (\sigma_{xx}, \sigma_{yy}, \sigma_{zz})$ و $\varepsilon = (\varepsilon_{xx}, \varepsilon_{yy}, \gamma_{xy})$ و تعریف رابطه بین σ و ε مساله مقادیر مرزی دو بعدی را کامل می‌کند. بطور کلی تانسور تنش و کرنش از طریق تانسور مرتبه ۴ به شکل زیر به هم مرتبط هستند.

$$\sigma_{ij} = D_{ijkl} \varepsilon_{kl} \quad (1-2)$$

^۱ Plane stress
^۲ Plane strain
^۳ Axisymmetric
^۴ Constitutive equations

که D_{ijkl} تانسور مدول سختی مرتبه ۴ می‌باشند وقتی که ماده در حالت الاستیک خود قرار دارد، این تانسور با تانسور سختی الاستیک برابر خواهد بود. وقتی که رفتار تنش- کرنش الاستوپلاستیک است، رابطه فوق به صورت رابطه‌ی نرخ‌ی^۱ بیان می‌شود (یعنی $\dot{\sigma}$ برحسب $\dot{\epsilon}$) در اینحالت تانسور فوق یک تانسور سختی الاستوپلاستیک ترکیبی می‌باشد. لذا یک مدل الاستوپلاستیک مناسب جهت تعریف آن مورد نیاز خواهد بود. تقارن تانسورهای تنش و کرنش امکان نوشتن روابط تنش- کرنش به شکل ماتریس- بردار را فراهم می‌کند. برای جامدات^۲ سه بعدی:

$$\sigma = C\epsilon \quad (۲-۲)$$

رابطه تنش- کرنش سه بعدی ۶×۶ فوق در مسائل تنش و کرنش مسطح به یک رابطه‌ی ساده‌تر تبدیل می‌گردد. روابط به شکل زیر خواهند بود:

$$(۳-۲)$$

$$\begin{Bmatrix} \sigma_{xx} \\ \sigma_{yy} \\ \sigma_{xy} \end{Bmatrix} = \begin{bmatrix} C_{11}^* & C_{12}^* & C_{13}^* \\ C_{21}^* & C_{22}^* & C_{23}^* \\ C_{31}^* & C_{32}^* & C_{33}^* \end{bmatrix} \begin{Bmatrix} \epsilon_{xx} \\ \epsilon_{yy} \\ \gamma_{xy} \end{Bmatrix} + \begin{Bmatrix} \sigma_{x0} \\ \sigma_{y0} \\ \sigma_{xy0} \end{Bmatrix}$$

معادله تعادل:

$$\sigma_{ij,j} + b_i = \rho \ddot{u}_i \quad \text{in } \Omega \quad (۲-۴الف)$$

شرایط مرزی:

$$u = \hat{u}(t) \quad \text{on } \Gamma_u \quad (۲-۴ب)$$

$$t = \hat{t}(t) \quad \text{on } \Gamma_t \quad (۲-۴ج)$$

شرایط اولیه:

^۱ Rate
^۲ solid

$$u = u_0(x) \quad \text{on } \Gamma_u \quad (2-4d)$$

$$\dot{u} = \dot{u}_0(x) \quad \text{on } \Gamma_u \quad (2-4e)$$

معادله ساختاری:

$$\sigma = D\varepsilon \quad (2-4f)$$

رابطه کرنش - جابجایی:

$$\varepsilon_{ij} = \frac{1}{2}(u_{i,j} + u_{j,i}) \quad (2-4g)$$

خواهند بود.

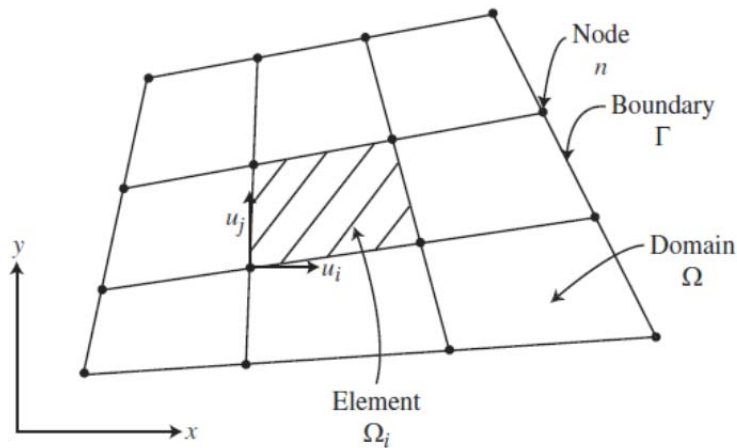
۲-۳- حل اجزاء محدود مساله مقدار مرزی / اولیه

در این بخش در ابتدا با فرض تئوری الاستیک مساله مقدار مرزی / اولیه با استفاده از روش اجزاء محدود حل و سپس روش به مساله الاستوپلاستیک توسعه می‌یابد.

۲-۳-۱- مساله الاستیک

روش اجزاء محدود یک روش عددی جهت حل تقریبی مسائل مقدار مرزی می‌باشد. بطور کلی اصول مختلفی (اصل کار مجازی، اصل حداقل انرژی پتانسیل، اصل تغییرات و...) می‌تواند مبنای استخراج معادلات اجزاء محدود قرار گیرند.

مطابق شکل (۲-۱) در یک مساله دو بعدی، دامنه به تعدادی المان شامل مجموعه‌ای از گره‌ها تقسیم می‌شود. متغیرهای نامشخص اولیه در درون هر المان بر حسب مقادیر گره‌ای به کمک توابع شکل تکه‌ای تعریف می‌شوند.



شکل (۱-۲) یک نمونه شیء اجزاء محدود

بعنوان مثال در روش اجزاء محدود مبتنی بر جابجایی، بردار جابجایی در هر نقطه در المان به صورت تابعی از جابجایی مقادیر گره‌ای به صورت زیر تعریف می‌شود:

$$u = N\hat{u} \quad (۲-۵الف)$$

که u بردار مشتمل بر جابجایی نامشخص هر نقطه در درون المان می‌باشد. \hat{u} بردار مقادیر نامشخص گره‌ای احاطه کننده المان، N ماتریس توابع شکل مورد نظر است. ابعاد N به تعداد مولفه های جابجایی و مرتبه توابع شکل وابسته است.

متغیرهای مجهول ثانویه از روی معادله (۲-۵الف) استخراج می‌گردند که بطور مشابه بر حسب \hat{u} تعریف می‌شوند. بعنوان مثال در مساله مکانیک جامدات بردار کرنش بر حسب \hat{u} به صورت زیر تعریف می‌شود:

$$\varepsilon = B\hat{u} \quad (۲-۵ب)$$

با استفاده از توابع پایه مناسب متغیرهای گره‌ای \hat{u} در ابتدا مشخص شده و سپس متغیرهای ثانویه محاسبه می‌گردند.

میدان جابجایی در درون المان‌ها و مرز بین آن‌ها پیوسته است. تنش و کرنش در درون المان‌ها پیوسته و روی مرزها ناپیوسته می‌باشد. جهت محاسبه بهترین تخمین تنش و کرنش در این نواحی، درون‌یابی ویژه‌ای باید مورد استفاده قرار گیرد.

در اینجا جهت حل مساله مقدار مرزی، از اصل کار مجازی استفاده می‌شود، این اصل در واقع تغییرات^۱ معادلات تعادل و شرایط مرزی می‌باشد که حاصل آن شکل ضعیف^۲ مساله مقدار مرزی است. با استفاده از اصل کار مجازی، کار مجازی δu بعنوان تغییرات اصل کار مجازی u فرض می‌شود. کرنش مجازی سازگار $\delta \varepsilon$ توسط رابطه کرنش جابجایی از روی δu محاسبه می‌گردد. چون $u = \hat{u}$ روی Γ_u می‌باشد، لذا تغییرات آن باید روی Γ_u صفر شود.

بر این اساس میدان قابل قبول $(\delta u, \delta \varepsilon)$ با شرایط زیر تعریف می‌شود:

$$\bullet \quad \delta u = 0 \text{ روی } \Gamma_u$$

\bullet روی Ω پیوسته و برای اینکه $\delta \varepsilon$ از روی آن محاسبه شود به مقدار کافی هموار است.

با کاربرد اصل کار مجازی تفاضل کار خارجی و داخلی باید برابر با صفر باشد، لذا:

$$\int_{\Omega} \delta \varepsilon^T \sigma \, dv - \int_{\Omega} \delta u^T b \, dv - \int_{\Gamma_t} \delta u^T t \, ds = 0 \quad (۶-۲)$$

با استفاده از این معادله متغیرهای نامعلوم قابل محاسبه‌اند جهت اینکار جابجایی‌ها بعنوان متغیرهای نامشخص اولیه فرض شده و جابجایی در دامنه بر حسب متغیرهای اولیه تقریب زده می‌شود، سپس متغیرهای ثانویه (ε, σ) بر حسب متغیرهای اولیه محاسبه

^۱ Variation

^۲ Weak form

می‌شوند. در روش اجزاء محدود انتگرال حجمی در رابطه بالا به انتگرال روی هر یک از المان‌های محدود تقسیم می‌شود.

$$\sum_{i=1}^{N_E} \int_{\Omega_i} \delta \varepsilon^T \sigma dv - \sum_{i=1}^{N_E} \int_{\Omega_i} \delta u^T b dv - \int_{\Gamma_i} \delta u^T t ds = 0 \quad (7-2)$$

برای مواد الاستیک قانون ساختاری به صورت زیر می‌باشد:

$$\sigma = D \varepsilon \quad (8-2)$$

که D ماتریس متقارن سختی ماده می‌باشد. اولین انتگرال در معادله (7-2) برای المان i ام به صورت زیر می‌باشد:

$$I_i^1 = \int_{\Omega_i} \delta \varepsilon^T \sigma dv = \delta \hat{u}_i^T \int_{\Omega_i} B^T \sigma dv = \delta \hat{u}_i^T \left[\int_{\Omega_i} B^T DB dv \right] \hat{u}_i = \delta \hat{u}_i^T k_i \hat{u}_i \quad (9-2 \text{ الف})$$

که در آن:

$$k_i = \int_{\Omega_i} B^T DB dv \quad (9-2 \text{ ب})$$

ماتریس سختی المان نامیده می‌شود. از انتگرال دوم المان i :

$$I_i^2 = \int_{\Omega_i} \delta \hat{u}_i^T b dv = \delta \hat{u}_i^T \left[\int_{\Omega_i} N^T b dv \right] = \delta \hat{u}_i^T f_i^b \quad (10-2 \text{ الف})$$

که

$$f_i^b = \int_{\Omega_i} N^T b dv \quad (10-2 \text{ ب})$$

بردار نیروی المان ناشی از نیروی بدنه نامیده می‌شود. حتی جمله سوم در معادله (7-2) هم

می‌تواند به اجزاء المانی تقسیم شود. هر جزء المانی معرف بردار نیروی المانی f_i^t ناشی از کشش

مرزی به صورت زیر می‌باشد:

$$I_i^3 = \int_{\Gamma_i} \delta \hat{u}_i^T t \, ds = \delta \hat{u}_i^T \int_{\Gamma_i} N^T t \, ds = \delta \hat{u}_i^T f_i^t \quad (۱۱-۲ \text{ الف})$$

که

$$f_i^t = \int_{\Gamma_i} N^T t \, ds \quad (۱۱-۲ \text{ ب})$$

باید توجه نمود که انتگرال مرزی در معادله فوق تنها روی بخشی از مرز که با مرزهای المان i ام

تلاقی می‌کند محاسبه می‌شود. بر این اساس معادله (۷-۲) به صورت زیر تغییر می‌یابد.

$$\sum_{i=1}^{N_E} I_i^1 - \sum_{i=1}^{N_E} I_i^2 - \sum_{i=1}^{N_E} I_i^3 = 0 \quad (۱۲-۲ \text{ الف})$$

$$\sum_{i=1}^{N_E} \delta \hat{u}_i^T k_i \hat{u}_i - \sum_{i=1}^{N_E} \delta \hat{u}_i^T f_i^b - \sum_{i=1}^{N_E} \delta \hat{u}_i^T f_i^t = 0 \quad (۱۲-۲ \text{ ب})$$

بطور خلاصه یک بردار جابجایی گره‌ای از متغیرهای مجهول کلی به صورت \hat{u} تعریف می‌شود.

سازگار با تعریف \hat{u} یک ماتریس سختی کلی k و یک بردار کلی بار p تعریف می‌شود. k با مونتاژ k_i

برای $i = 1, N_E$ و p نیز از تجمیع f_i^b و f_i^t برای $i = 1, N_E$ شکل می‌گیرد. علاوه بر این نیروهای

گره‌ای فشرده شده به p اضافه می‌شود. لذا معادله (۱۳-۲) به شکل زیر خواهد بود:

$$\delta \hat{u}^T (K\hat{u} - P) = 0 \quad (۱۳-۲)$$

اگر معادله فوق برای هر جابجایی گره‌ای مجازی $\delta \hat{u}$ اختیاری و غیرصفر صادق باشد، آنگاه:

$$K\hat{u} = P \quad (۱۴-۲)$$

لذا مجموعه‌ای از معادلات خطی همزمان حاصل می‌شود. در این مرحله شرایط مرزی جابجایی را

وارد کرده و از یک روش حل مناسب جهت حل \hat{u} استفاده می‌شود.

روش کار مجازی به سیستم‌های خطی و غیرخطی قابل اعمال هستند. برای سیستم‌های غیرخطی D بطور کلی متقارن نیست و بنابراین k نیز متقارن نخواهد بود، بعنوان مثال D حاصل از یک مدل ساختاری الاستوپلاستیک که یک قاعده جریان غیرهمبسته^۱ را به کار می‌گیرد، غیرمتقارن می‌باشد. بر اساس روش غیرخطی به کار رفته، D می‌تواند یک اپراتور مماسی پیوسته^۲ یا اپراتور مماسی سازگار^۳ باشد، وقتی از قاعده جریان همبسته^۴ استفاده می‌شود اولی متقارن و دومی ممکن است متقارن یا نامتقارن باشد.

در روش تغییر مکان، ساختار مدل شده، سخت‌تر از ساختار واقعی می‌باشد یعنی جابجایی محاسبه شده کوچک‌تر از جابجایی اصلی است. چنانچه تعداد المان‌ها افزایش یابد، پاسخ حاصله به واقعیت نزدیک‌تر خواهد بود.

۲-۳-۲- مساله الاستو-پلاستیک

در بخش قبل رابطه تنش- کرنش به صورت $\sigma = D\varepsilon$ خطی بود و تقریب اجزاء محدود در مسائل مکانیک جامدات، به مجموعه‌ای از معادلات همزمان خطی برای متغیرهای نامشخص گره‌ای به صورت زیر منجر گردید:

$$K\hat{u} = P \quad (۱۴-۲)$$

k ماتریس سختی کلی و \hat{u} بردار تغییر مکان گره‌ای مجهول کلی می‌باشد. حاصل ضرب $k\hat{u}$ معرف نیروی داخلی و p نیروی اعمال شده خارجی است. حال اگر نیروی داخلی (یا فنری) به صورت زیر تعریف شود:

$$F_s = K\hat{u} \quad (۱۵-۲)$$

^۱ Nonassociated
^۲ Continuum
^۳ Consistent
^۴ Associated

آنگاه این معادله شکل متفاوتی خواهد گرفت، اگر رابطه بین تنش و کرنش غیرخطی باشد. برای مواد خطی K گرادیان F_s نسبت به \hat{u} و مستقل از آن می‌باشد. برای مواد غیرخطی گرادیان ثابت نخواهد بود. گرادیان بعنوان ماتریس سختی مماسی کل K^t شناخته می‌شود که در $(n+1)$ امین مرحله اعمال بار از ماتریس‌های سختی مماسی المان به صورت زیر محاسبه می‌شود:

$$K^t_{n+1} = \frac{\partial F_s^{n+1}}{\partial u} = \sum \frac{\partial f_s^{n+1}}{\partial u} = \sum \frac{\partial}{\partial u} \left\{ \int B^T \sigma_{n+1} dv \right\} = \sum \int B^T \frac{\partial \sigma_{n+1}}{\partial \varepsilon_{n+1}} \frac{\partial \varepsilon_{n+1}}{\partial u_{n+1}} dv$$

$$= \sum \int B^T D^t_{n+1} B dv = \sum k^t_{n+1}$$

(۲-۱۶ الف)

که

$$D^t_{n+1} = \frac{\partial \sigma_{n+1}}{\partial \varepsilon_{n+1}}$$

(۲-۱۶ ب)

D^t_{n+1} ماتریس یا اپراتور سختی مماسی \hat{u} ماده نامیده می‌شود. نیروی فنری کلی F_s از روی نیروهای فنری المانی f^s محاسبه می‌شود که در $(n+1)$ امین مرحله اعمال بار به صورت می‌باشد:

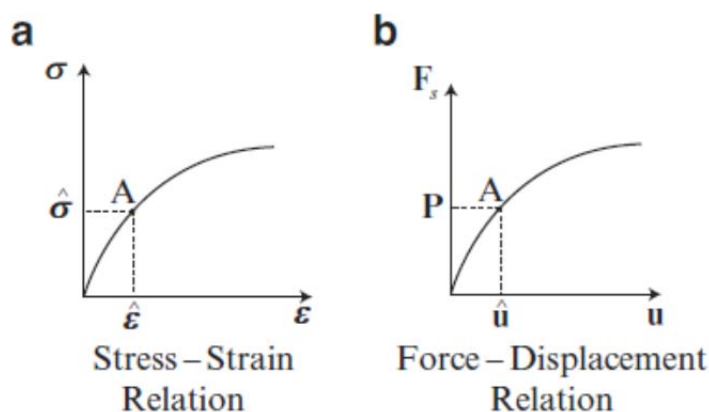
$$f_s^{n+1} = \int_{\Omega_i} B^T \sigma_{n+1} dv$$

(۲-۱۶ ج)

بر اساس معادلات (۲-۱۵) و (۲-۱۶) وقتی رابطه بین تنش-کرنش غیرخطی باشد (شکل ۲-۲)،

رابطه المانی p^s در برابر u و رابطه کلی F_s در برابر u نیز غیرخطی خواهند بود.

^۱ global tangent stiffness matrix
^۲ tangent stiffness matrix (or operator)



شکل (۲-۲) روابط غیرخطی تنش - کرنش و نیرو - جابجایی

در مواد پلاستیک افزایش بار به تعدادی افزایش‌های کوچک^۱ تقسیم می‌شود و در هر افزایش، توالی‌هایی^۲ اجرا می‌شود. این آنالیز، آنالیز افزایش - توالی نامیده می‌شود. بر اساس این آنالیز با پاسخ داده شده در یک مرحله، پاسخ مرتبط نیروی افزایش داده شده جستجو می‌گردد. بعبارت دیگر در آنالیز الاستیک غیرخطی می‌توان همه بار را در یک افزایش اعمال نمود در حالیکه در آنالیز الاستوپلاستیک، بار در طی چند افزایش کوچک اعمال می‌شود. لذا در حالت اول توالی‌ها روی تمام بار به کار می‌رود در حالی که در حالت دوم در هر افزایش به صورت مجزا اعمال می‌شود. جدا از این تفاوت کلیدی، جزئیات توالی مشابه است.

لذا با توضیحات فوق مساله به صورت زیر خواهد بود:

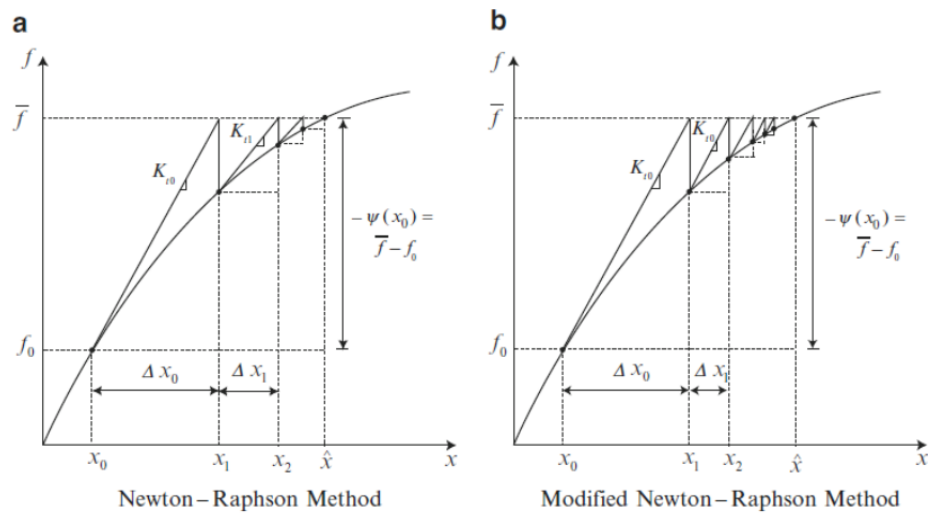
هدف تعیین جابجایی گره‌ای \hat{u} برای یک بار داده شده ثابت p با استفاده از شکل تابع $\hat{\sigma}\hat{\epsilon}$

می‌باشد، به نحوی که:

$$F_s(\hat{u}) = P \quad (17-2)$$

^۱ Small Increment
^۲ Iterations

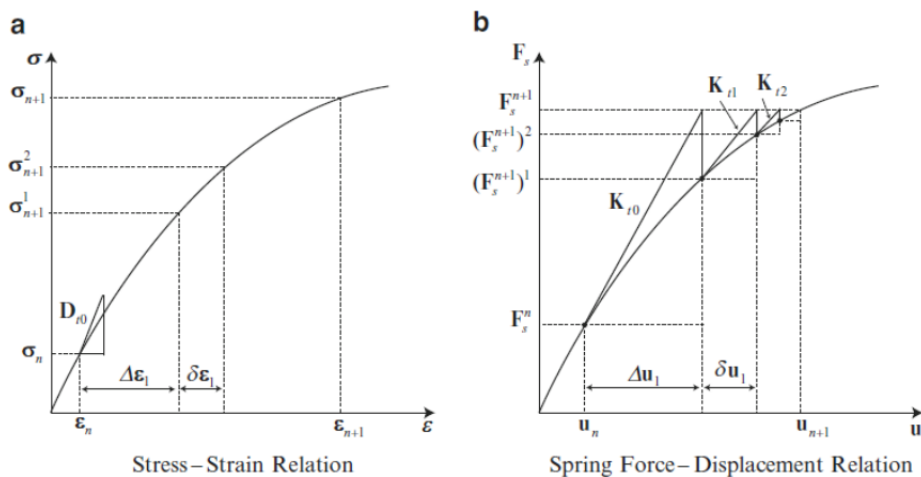
پیچیدگی مساله فوق در اینجاست که باید از رابطه غیرخطی بین $\hat{\delta}$ و $\hat{\varepsilon}$ در سطح محلی به رابطه غیرخطی بین F_s و \hat{u} در سطح کلی برویم. حل این مساله بر اساس روش‌های متوالی متفاوتی انجام می‌شود که متداول‌ترین آن‌ها؛ روش نیوتن یا نیوتن-رافسون و روش نیوتن-رافسون تغییر یافته می‌باشد. شکل زیر مفهوم حاکم بر این روش‌ها را نشان می‌دهد.



شکل (۲-۳) نمایش روش‌های متوالی نیوتن-رافسون

روش نیوتن-رافسون بر اساس بسط تیلور پاسخ را تقریب می‌زند، این روش تغییر یافته بویژه در حوزه الاستوپلاستیک از حجم محاسبات کمتری برخوردار است، اما سرعت هم‌گرایی آن کمتر است. (شکل ۲-۴) کرب

رد این دو روش در آنالیز اجزاء محدود را نشان می‌دهد.



شکل (۲-۴) کاربرد توالی‌های نیوتن-رافسون در آنالیز اجزاء محدود غیر خطی

در مسائل الاستوپلاستیک متغیرهای اضافی ξ تحت عنوان متغیرهای سخت‌شدگی^۱ وارد شده و از توالی‌ها جهت محاسبه تنش‌ها و متغیرهای سخت‌شدگی، از روی کرنش‌های افزایشی، استفاده می‌شود. بر این اساس داده‌های مساله مورد نظر به صورت $(F_s^n, \sigma_n, \xi_n, \varepsilon_n, u_n)$ بوده و هدف تعیین $(F_s^{n+1}, \sigma_{n+1}, \xi_{n+1}, \varepsilon_{n+1}, u_{n+1})$ با بار جدید \bar{F}_{n+1} می‌باشد.

ماتریس K_{n+1}^t سختی مماسی کلی به صورت زیر محاسبه می‌شود:

$$K_{n+1}^t = \sum k_{n+1}^t \quad (۱۸-۲)$$

$$k_{n+1}^t = \int B^T D_{n+1}^t B dv$$

که D_{n+1}^t اپراتور مماسی است که در شکل (۲-۴) نشان داده شده است و k_{n+1}^t ماتریس سختی

مماسی المانی است که با استفاده از D_{n+1}^t شکل می‌گیرد. نیروی فنری المان f_s^{n+1} هم به صورت

زیر تعیین می‌شود:

^۱ Hardening variables

$$f_s^{n+1} = \int B^T \sigma_{n+1} dv \quad (19-2)$$

بر این اساس مراحل اصلی کار به صورت زیر است:

۱- ایجاد $(F_s^n, \sigma_n, \xi_n, \varepsilon_n, u_n)$

۲- تعیین نیروی باقیمانده $\psi(u)$ بصورت $\psi(u) = F_s(u) - \bar{F}$

۳- تعیین ماتریس سختی مماسی کلی فعلی K^t (معادله (۱۸-۲)) و حل معادله

$$\delta u = \psi_{n+1} K_{n+1}^t \text{ جهت محاسبه جابجایی متوالی } (\delta u_0, \delta u_1, \dots) \text{ و کرنش‌های متوالی } (\delta \varepsilon_1, \delta \varepsilon_2, \dots)$$

۴- به روز رسانی جابجایی‌های افزایشی $(\Delta u_0, \Delta u_1, \dots)$ و کرنش‌های افزایشی $(\Delta \varepsilon_1, \Delta \varepsilon_2, \dots)$

۵- محاسبه تنش‌های جاری (σ_{n+1}) و متغیرهای سخت‌شدگی (ξ_{n+1}) مطابق با کرنش‌های افزایشی توسط مدل ساختاری

۶- تعیین نیروی فنری فعلی (معادله (۱۹-۲)) و تجميع نتایج جهت محاسبه نیروی فنری کلی

$$F_s^{n+1}$$

۷- تعیین نیروی باقیمانده $\psi_{n+1}(u)$

۸- بررسی هم‌گرایی الگوریتم

۹- توقف محاسبات در صورت هم‌گرایی و در غیر این صورت ادامه دادن آن.

مراحل فوق را توالی‌های کلی^۱ گویند. در محله پنجم محاسبات σ_{n+1}, ξ_{n+1} از روی کرنش‌های افزایشی در نقاط گوسی مشخص در قالب مدل ساختاری ماده انجام می‌شود. در

^۱ Global Iteration

مساله الاستوپلاستیک، این مرحله به توالی‌هایی نیاز دارد که به آن، توالی‌های محلی^۱ گوئیم.

نکته حائز اهمیت دیگر آنست که نوعاً روابط ساختاری به صورت نرخ تنش و سخت‌شدگی بر حسب تابعی از نرخ کرنش تعریف می‌شوند. لذا مطابق آنچه در بالا گرفته شده؛ جهت محاسبه تنش‌های افزایشی بر حسب کرنش‌های افزایشی، باید از این معادله انتگرال‌گیری نمود. مساله انتگرال‌گیری در حوزه ریاضیات یک مساله مقدار اولیه می‌باشد که توسط روش‌های عددی زیر حل می‌شود:

۱- روش اویلر پیشرو(صریح)^۲

۲- روش اویلر برگشتی(ضمنی)^۳

۳- روش نقطه میانی^۴

آنالیزهای مبتنی بر این روش‌ها، در حوزه الاستوپلاستیک در مراجع [۱۶،۱۷،۱۸،۱۹] ارائه شده‌اند. نکته حائز اهمیت در حل مساله مقدار اولیه بر اساس روش‌های فوق و کاربرد آن‌ها در حوزه الاستوپلاستیک آنست که در طی فرآیند فوق معیار تسلیم نیز باید ارضاء گردد. بعبارت دیگر همچنانکه تنش‌ها و متغیرهای سخت‌شدگی تغییر می‌کنند، نقطه تنش باید روی سطح تسلیم قرار گیرد(شرط سازگاری^۵) این مطلب باعث افزایش دقت روش‌های فوق می‌گردد.

نکته مهم دیگر در کاربرد روش‌های فوق استفاده از دو اپراتور مماسی سازگار و مماسی پیوسته در محاسبات می‌باشد. اولی نرخ تنش را به نرخ کرنش بر حسب روابط الگوریتمیک

^۱ Local Iteration

^۲ Forward Euler(Explicit) method

^۳ Backward Euler (Implicit) method

^۴ Midpoint rule

^۵ Consistency condition

بین تنش و کرنش مرتبط می‌کند (D') درحالی‌که دومی در رابطه اصلی بین نرخ تنش و نرخ کرنش (قانون ساختاری) ظاهر می‌شود (\bar{D}).

نکته سوم ظاهر شدن بردار جهت جریان^۱ در آنالیز الاستوپلاستیک است لذا الگوریتم به مشتق این بردار نسبت به متغیرهای تنش و سخت‌شدگی نیاز دارد. زمانی‌که متغیرهای سخت‌شدگی اسکالر باشند (در حالت مدل سخت‌شدگی ایزوتروپیک) این محاسبه نسبت به متغیرهای سخت‌شدگی به راحتی و نسبت به متغیرهای تنش با دشواری انجام می‌شود.

۲-۳-۳- طبقه‌بندی رفتارهای ساختاری^۲

واژه غیرالاستیک^۳، هر رفتار ساختاری به‌جز الاستیک را توصیف می‌نماید. نوعاً این رفتارها شامل ویسکوالاستیک، ویسکوپلاستیک و الاستوپلاستیک می‌باشد. در برخی مواد مانند فلزات بخش الاستیک رابطه تنش-کرنش خطی است، لذا مدول الاستیک ثابت می‌باشد. غیرخطی بودن عموماً نتیجه رفتار پلاستیک است، اگرچه خود مدول الاستیسیته برای مواردی چون خاک و لاستیک‌ها با بار تغییر می‌کند. بخشی از کار انجام شده روی مواد توسط نیروهای خارجی قابل بازیابی و مابقی غیرقابل بازیابی است. کرنش در مواد غیرالاستیک وابسته به تاریخچه^۴ (مسیر^۵) است درحالی‌که در مواد الاستیک مستقل از پیشینه خود میباشد.

جهت بررسی مطالب فوق، رفتارهای ساختاری و مفاهیم پایه‌ای آن‌ها در حالت بارگذاری تک محوری بررسی و نتیجه به حالت چندمحوری توسعه می‌یابد، بر این اساس در شکل (۲-۵) برخی از این رفتارها نشان داده شده است.

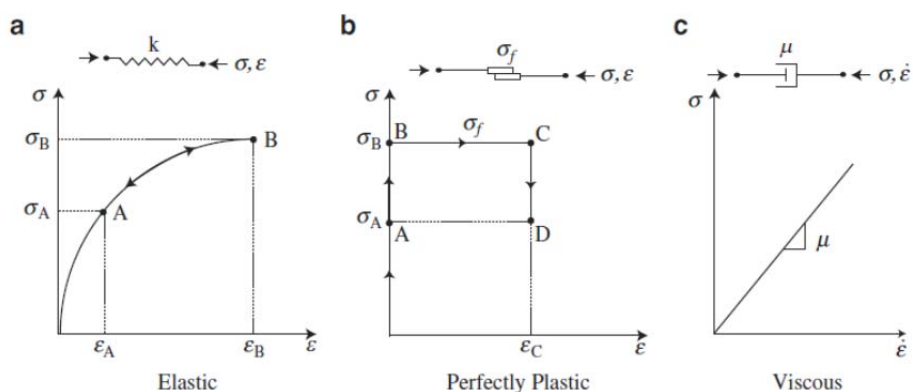
^۱ Flow Direction Vector

^۲ Constitutive behavior

^۳ Inelasticity

^۴ History

^۵ Path

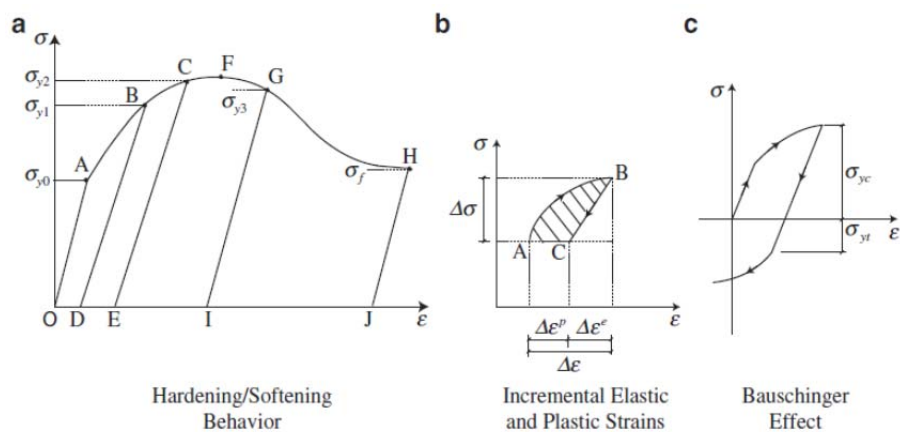


شکل (۵-۲) مدل‌های ساختاری ابتدایی

اگر رفتار بصورت المان‌های الاستیک و پلاستیک توأمان باشد، تغییر شکل‌های الاستیک و پلاستیک به صورت همزمان رخ می‌دهند. آنرا رفتار الاستوپلاستیک مستقل از نرخ^۱ نامند.

۲-۳-۴- تئوری پلاستیک مستقل از نرخ

رفتار معمول تنش- کرنش تک محوره یک ماده الاستوپلاستیک در طی مراحل بارگذاری- باربرداری در شکل (۶-۲) نشان داده شده است.



شکل (۶-۲) اساس رفتار الاستوپلاستیک

در این فرآیند خصوصیات اصلی یک رفتار الاستوپلاستیک نشان داده شده است. وقتی رفتار ماده از حالت الاستیک به الاستوپلاستیک تغییر می‌یابد، می‌گویند تسلیم^۱ شده است.

^۱ Rate- Independent Elasto-Plastic

تنشی که در آن تسلیم رخ می‌دهد را تنش تسلیم^۲ گویند. زمانی که تنش تسلیم افزایش می‌یابد، ماده سخت‌شدگی یا سخت‌شدگی کرنشی^۳ را تجربه می‌کند و زمانی که کاهش می‌یابد به آن نرم‌شدگی یا نرم‌شدگی کرنشی^۴ گویند. جهت مدل‌سازی رفتار سخت‌شدگی و نرم‌شدگی از یک قاعده ریاضی به عنوان قانون سخت‌شدگی استفاده می‌شود. زمانی که تنش تسلیم ثابت بماند به آن رفتار کاملاً پلاستیک^۵ گویند.

با فرض یک بارگذاری کوچک از نقطه‌ی A تا B مطابق شکل (۲-۶)، کرنش کوچک $\Delta\varepsilon$ رخ می‌دهد که بخش $\Delta\varepsilon^e$ آن بر اساس باربرداری به نقطه‌ی C بازیابی می‌شود و بخش $\Delta\varepsilon^p$ بازیابی نمی‌گردد. $\Delta\varepsilon^e$ را کرنش الاستیک و $\Delta\varepsilon^p$ را کرنش پلاستیک گویند، به نحوی که:

$$\Delta\varepsilon = \Delta\varepsilon^e + \Delta\varepsilon^p \quad (2-20)$$

جمع فوق تنها تحت شرایط کرنش کوچک صادق است، در طی سیکل تنش شکل فوق، کار خالص انجام شده به صورت زیر است:

$$\Delta W = \int_A^B \sigma d\varepsilon + \int_B^C \sigma d\varepsilon \quad (2-21 \text{ الف})$$

$$\int_A^B \sigma d\varepsilon \approx \frac{1}{2} \Delta\sigma (\Delta\varepsilon^e + \Delta\varepsilon^p) ; \int_B^C \sigma d\varepsilon = -\frac{1}{2} \Delta\sigma \Delta\varepsilon^e \Rightarrow \Delta W = \Delta W^p \approx \frac{1}{2} \Delta\sigma \Delta\varepsilon^p \geq 0$$

(2-21 ب)

این خاصیت رفتار پلاستیک را نشان می‌دهد زیرا کار خالص انجام شده در طی سیکل تنش غیرمنفی است. به لحاظ هندسی ΔW^p بخش هاشورخورده شکل می‌باشد. در

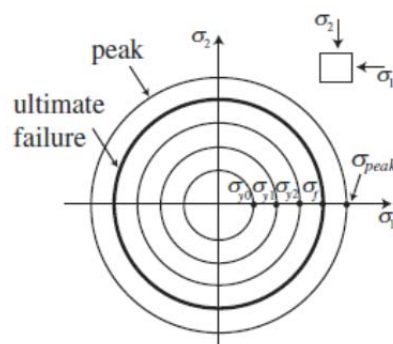
^۱ Yield
^۲ Yield stress
^۳ Hardening
^۴ Softening
^۵ Perfectly-plastic

نقطه‌ی H و پس از آن ماده تغییر شکل نامحدود بدون اضافه شدن تنش را تجربه می‌کند در اینحالت گفته می‌شود ماده جریان پلاستیک^۱ را تجربه کرده است.

اگر مدول‌های الاستیک (E_e) و پلاستیک (E_p) و کل (E) تعریف شوند، آنگاه:

$$\Delta\sigma = E\Delta\varepsilon ; \Delta\sigma = E_e\Delta\varepsilon^e ; \Delta\sigma = E_p\Delta\varepsilon^p \quad (2-22)$$

مطالب فوق در خصوص بارگذاری تک محوره بود که می‌تواند به بارگذاری چندمحوری نیز توسعه یابد. در این حالت تنش تسلیم یک سطح است که به آن سطح تسلیم^۲ گویند. اگر شکل (۷-۲) را مدنظر قرار دهیم و فرض کنیم ماده ایزوتروپیک باشد یعنی رفتار آن مستقل از جهت بوده و تنش تسلیم در تمام جهات برابر باشد، می‌خواهیم سطوح تسلیم و خرابی آنرا در صفحه دو محور $\sigma_1 - \sigma_2$ نشان دهیم. وقتی قطعه‌ای تحت بارگذاری قرار گیرد بگونه‌ای که هر دو σ_1 و σ_2 تغییر کنند، رسم σ_1 بر حسب σ_2 مسیر بسته‌ای را در صفحه‌ی $\sigma_1 - \sigma_2$ ایجاد می‌کند که به آن مسیر تنش^۳ گویند. اگر بارگذاری در هر یک از جهات به شکل منفرد انجام شود، رفتار مشابه حالت تک‌محوره است، اما اگر در هر دو جهت بارگذاری انجام شود، سطح تسلیم شکل می‌گیرد، لذا تسلیم زمانی رخ می‌دهد که تنش‌ها به سطح تسلیم برسند.



^۱ Plastic Flow
^۲ Yield surface
^۳ Stress Path

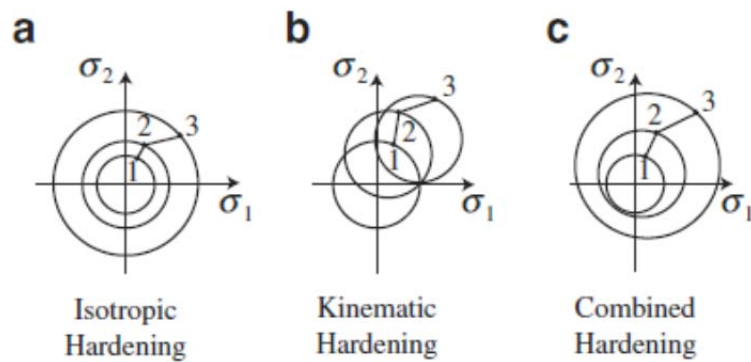
شکل (۲-۷) سیر تحول سطح تسلیم طی بارگذاری چند محوری

در حالت تک محوره با افزایش تنش فراتر از تنش تسلیم اولیه، مقدار تنش تسلیم تا رسیدن به یک ماکزیمم افزایش می‌یافت در حالت دو محوره این مطلب به صورت رشد اندازه سطوح تسلیم قابل نمایش است (سطوح بارگذاری). شکل (۲-۸) رفتارهای ایده‌آل مختلف را نشان می‌دهد. در حالت (الف) در شکل زیر با تغییر نقطه تنش از ۱ به ۲ و سپس ۳ سطح تسلیم به صورت یکنواخت در همه جهات توسعه یافته و مرکز و شکل آن ثابت می‌ماند. لذا تغییر در اندازه سطح تسلیم تنها با یک متغیر سخت‌شدگی اسکالر قابل مدل‌سازی است. این نوع سخت‌شدگی را سخت‌شدگی ایزوتروپیک گویند. اگر مطابق شکل (ب) اندازه و شکل آن تغییر نکند و صرفاً جابجا شود، سخت‌شدگی را از نوع سخت‌شدگی سینماتیکی می‌گویند. در این حالت یک متغیر سخت‌شدگی تانسوری جهت مدل‌سازی ریاضی رفتار فوق نیاز است. ترکیب این دو رفتار سخت‌شدگی در شکل (ج) نشان داده شده است. در این حالت سخت‌شدگی از نوع سخت‌شدگی دورانی^۱ است که به‌عنوان مثال در خاک‌ها ملاحظه می‌شود.

قاعده یا قانونی که حرکت یا تغییر سطح تسلیم را در طی فرآیند بارگذاری توصیف می‌کند، قانون سخت‌شدگی نامیده می‌شود. مفاهیمی چون کرنش نرم‌شدگی نیز در حوزه دو بعدی به شکل انقباض سطح تسلیم در سخت‌شدگی ایزوتروپیک قابل نمایش است، اما در نرم‌شدگی سینماتیکی این مطلب به شکل فرورفتگی موضعی در سطح تسلیم خود را نشان می‌دهد.

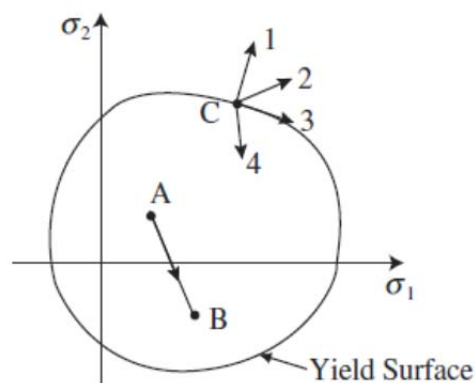
وقتی ماده از خود نرم‌شدگی نشان نمی‌دهد خارجی‌ترین سطح تسلیم، معرف سطح خرابی است. در هر حال سطوح خرابی و تسلیم مورد قبول باید محدب^۲ باشند.

^۱ Rotational Hardening
^۲ Convex



شکل (۸-۲) رفتارهای سخت شدگی استاندارد

مطلب مهم دیگر در حالت چندمحوره نیاز به معیار بارگذاری/باربرداری است. در حالت دو محوره، تانسور تنش هم مقدار دارد و هم اندازه، لذا مطابق شکل (۹-۲) رفتار از نقطه‌ی A به B در درون سطح تسلیم، الاستیک است. در نقطه‌ی C در جهات ۱ و ۲ رفتار پلاستیک است زیرا در جهت خروج از سطح است، در جهت ۳ که بارگذاری خنثی نامیده می‌شود رفتار الاستیک می‌باشد اما در حالت ۴ لزوماً رفتار ماده الاستیک نیست و می‌تواند حالت نرم شدگی اتفاق بیفتد.



شکل (۹-۲) نمایش الزامات معیار بارگذاری

در مواد الاستوپلاستیک رفتار به تاریخچه وابسته است. لذا متغیرهای جدیدی تحت عنوان متغیرهای داخلی^۱ یا متغیرهای مخفی^۲ (ξ) در تابعی ساختاری تعریف می‌شوند، تا این اثر تاریخچه‌ای را کمی کنند، لذا حالت مواد باید بر حسب (ε, ξ) کمی شود، بنابراین:

$$\sigma = \sigma(\varepsilon, \xi) \quad (2-23 \text{ الف})$$

این متغیرهای جدید می‌توانند مفهوم فیزیکی نیز داشته باشند، اما همیشه این امر ممکن نیست. حتی اگر مکانیزم‌های فیزیکی مذکور مشخص باشند، تعریف یک رابطه کمی بین این متغیرها و کرنش‌های پلاستیک امکان‌پذیر نمی‌باشد. لذا در بسیاری از موارد در مدل‌های ساختاری، قرار دادن ξ با متغیر سخت‌شدگی^۳ مانند سایز سطح تسلیم، معمول است.

در هر حال ξ به نحوی تعریف می‌شود که وقتی نرخ تغییر کرنش پلاستیک صفر است، نرخ تغییر ξ نیز صفر باشد، لذا برای متغیرهای داخلی یا دقیق‌تر، متغیرهای داخلی پلاستیک (PIV)^۴ $\xi = \{\xi_1, \xi_2, \dots\}$ خواهیم داشت:

$$(2-23 \text{ ب})$$

$$\dot{\xi} = 0 \quad \text{وقتی} \quad \dot{\varepsilon}^p = 0$$

مثال‌هایی از PIV های مبتنی بر کرنش پلاستیک متداول به صورت زیر هستند:

۱- کرنش انحرافی^۵ جمع شده (در مدل‌سازی کرنش سخت یا نرم‌شدگی)

$$\xi = \int dJ_\varepsilon \quad (2-24 \text{ الف})$$

۲- کار پلاستیک جمع شده (در مدل‌سازی کار سخت و نرم‌شدگی)

^۱ Internal variables

^۲ Hidden variables

^۳ Hardening variable

^۴ Plastic Internal Variable

^۵ Deviatoric strain

$$W^p = \int \sigma_{ij} d\varepsilon_{ij}^p \quad (2-24\text{ب})$$

۲-۳-۵- ساختار کلی پلاستیک مستقل از نرخ

در این بخش چارچوب کلی رفتار تنش- کرنش مواد جهت شبیه سازی رفتار آنها بررسی می‌گردد.

۲-۳-۵-۱- حالت مواد

حالت مواد بر حسب دو متغیر تنش (σ) و PIV ها (ξ) تعریف می‌شود، لذا تابع تسلیم یا سطح تسلیم به صورت زیر می‌باشد:

$$\phi(\sigma, \xi) = 0 \quad (2-25\text{الف})$$

سطح تسلیم معرف وضعیت فعلی ماده به صورت زیر بیان می‌شود:

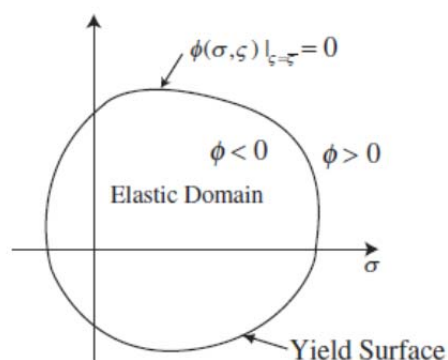
$$\xi = \bar{\xi} \quad (2-25\text{ب})$$

که $\bar{\xi}$ مقدار PIV در وضعیت فعلی ماده است. شکل (۲-۱۰) سطح تسلیم را نشان می‌دهد. دامنه درون سطح دامنه الاستیک خالص است که رفتار در آن کاملاً الاستیک می‌باشد. دامنه خارج از سطح در حالت فیزیکی قابل حصول نیست بنابراین دستیابی به آن ممکن نیست. لذا تابع تسلیم به نحوی تعریف می‌شود که:

$$\phi(\sigma, \xi = \bar{\xi}) = 0 \quad \text{روی سطح} \quad (2-26\text{الف})$$

$$\phi(\sigma, \xi = \bar{\xi}) > 0 \quad \text{خارج از سطح} \quad (2-26\text{ب})$$

$$\phi(\sigma, \xi = \bar{\xi}) < 0 \quad \text{داخل سطح} \quad (2-26\text{ج})$$



شکل (۱۰-۲) شکل تابعی سطح تسلیم

۲-۳-۵-۲- معیار بارگذاری / باربرداری

با توجه به مباحث مطروحه در خصوص بارگذاری و باربرداری یک مقدار اسکالر کمی L به عنوان یک ضرب اسکالر بین نرخ تنش $(\dot{\sigma})$ و بردار نرمال n بر سطح تسلیم در نقطه فعلی تنش به صورت زیر تعریف می‌شود: (شکل (۱۱-۲))

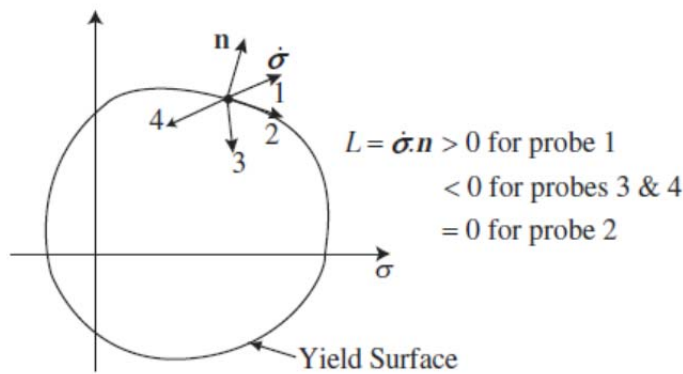
$$L = \dot{\sigma}_{kl} n_{kl} \quad (۲-۲۷\text{الف})$$

که

$$n_{kl} = \frac{1}{g} \frac{\partial \phi}{\partial \sigma_{kl}} \quad \text{و} \quad g = \left| \frac{\partial \phi}{\partial \sigma} \right| \quad (۲-۲۷\text{ب})$$

با توجه به شکل برای جهت تنش شماره ۱؛ $L > 0$ برای جهت ۲؛ $L = 0$ و برای تنش‌های ۳ و ۴؛ $L < 0$ می‌باشد. بنابراین اسکالر L می‌تواند موضوع بارگذاری و باربرداری را تعریف کند. به L اندیس بارگذاری^۱ نیز می‌گویند.

^۱ Loading Index



شکل (۱۱-۲) نمایش اندیس بارگذاری

بارگذاری (الاستو-پلاستیک) $L > 0$ (الف-۲۸)

بارگذاری خنثی (الاستیک) $L = 0$ (ب-۲۸)

باربرداری (الاستیک) $L < 0$ (ج-۲۸)

در کاربردهای اجزاء محدود مدل‌های ساختاری، افزایش کرنش $\Delta \epsilon$ داده شده و افزایش تنش متناظر $\Delta \sigma$ باید محاسبه گردد. لذا در ابتدا باید مشخص شود که این افزایش کرنش رفتار الاستو پلاستیک را باعث می‌گردد یا رفتار الاستیک. بنابراین مقادیر نرخ باید به مقادیر افزایشی تغییر یابد پس معیار بارگذاری/ باربرداری فوق مناسب نمی‌باشد و باید معیار دیگری تعریف نمود.

اگر تنش در نقطه انتگرال‌گیری پیش رو $n+1$ با σ_{n+1} نشان داده شود یعنی $\sigma_{n+1} = \sigma_n + \Delta \sigma$ باشد از شکل (۱۶-۲) نقطه σ_{n+1} برای یک تنش الاستو پلاستیک، خارج از سطح تسلیم فعلی قرار می‌گیرد. بر این اساس:

بارگذاری خنثی $\phi(\sigma_{n+1}, \bar{\xi}_n) = 0$ (الف-۲۹)

بارگذاری > 0 (ب-۲۹)

باربرداری (یا بارگذاری الاستیک) < 0 (ج ۲-۲۹)

که $\bar{\xi}_n$ مقدار PIV در نقطه‌ی n می‌باشد. رابطه فوق تابع σ_{n+1} است که از قبل مقدار آن مشخص نیست، لذا رابطه دیگری باید جستجو شود. در ادامه تنش حدس الاستیک^۱ یا تنش پیش بین الاستیک^۲ به صورت $\Delta \varepsilon: \sigma_{n+1}^{tri} = \sigma_n + C^e$ تعریف می‌شود که می‌تواند در این خصوص مورد استفاده قرار گیرد. برای بارگذاری الاستوپلاستیک خارج از سطح قرار می‌گیرد و برای بارگذاری الاستیک درون سطح می‌ماند.

۲-۳-۵-۳- چارچوب معادلات ساختاری

بر اساس مشاهدات فوق نرخ کرنش پلاستیک می‌تواند به صورت زیر بیان شود:

$$\dot{\varepsilon}_{ij}^p = f_{ij}(\sigma, \xi, \dot{\sigma}, \dot{\xi}) \quad (۲-۳۰ الف)$$

با

$$\dot{\xi} = 0 \quad \text{برای} \quad \dot{\varepsilon}_{ij}^p = 0 \quad (۲-۳۰ ب)$$

$$\dot{\varepsilon}_{ij}^p = 0 \quad \text{برای} \quad L \leq 0 \quad (۲-۳۰ ج)$$

به علاوه ملزومات زیر اضافه می‌گردد:

- رابطه تنش-کرنش مستقل از نرخ است
- رابطه تنش-کرنش روی سطح تسلیم پیوسته است (شرط پیوستگی)^۳

برای رابطه تنش-کرنش مستقل از نرخ، تابع f_{ij} رابطه فوق باید همگن از مرتبه یک در

$$\dot{\sigma} \text{ و } \dot{\xi} \text{ باشد (بدین مفهوم که } f(n\dot{x}) = nf(\dot{x}) \text{)}$$

یک شکل ممکن برای معادله فوق به صورت زیر می‌باشد:

^۱ Elastic trial stress

^۲ Elastic predictor stress

^۳ Continuity condition

$$\dot{\varepsilon}_{ij}^p = \langle L \rangle f_{ij}(\sigma, \xi) \quad (31-2)$$

که $\dot{\sigma}$ و $\dot{\xi}$ خارج از f_{ij} بوده و تنها در L خلاصه می‌شوند. اندیس بارگذاری L همگن از مرتبه یک در $\dot{\sigma}$ و مستقل از $\dot{\xi}$ می‌باشد. تابع $\langle . \rangle$ تابع Heavy Side است و به صورت $\langle L \rangle = L$ برای $L > 0$ و $\langle L \rangle = 0$ برای $L \leq 0$ تعریف می‌شود. حال شکل تابعی مناسبی برای $\dot{\xi}$ بطوریکه معادله (۲-۵۰) ارضا گردد، مورد نیاز است. یک راه ممکن تعریف $\dot{\xi}^p$ و $\dot{\xi}$ به صورت زیر می‌باشد:

$$\dot{\varepsilon}_{ij}^p = \langle L \rangle f_{ij}(\sigma, \xi) \quad (2-32الف)$$

و

$$\dot{\xi} = \langle L \rangle s \quad (2-32ب)$$

باید توجه نمود که وقتی $L \leq 0$ است هر دوی $\dot{\xi}^p$ و $\dot{\xi}$ صفر می‌باشند. بر اساس رابطه (۲-۳۲الف) تابع f_{ij} جهت و دامنه تانسور نرخ کرنش پلاستیک را نمایش می‌دهد. فرض می‌کنیم که جهت را بتوان از تابع پتانسیل ψ استخراج نمود. لذا رابطه فوق به صورت زیر بازنویسی می‌شود:

$$\dot{\varepsilon}_{ij}^p = G(\sigma, \xi) \langle L \rangle \frac{\partial \psi(\sigma, \xi)}{\partial \sigma_{ij}} \quad (2-33الف)$$

که تابع

$$\psi(\sigma, \xi) = 0 \quad (2-33ب)$$

بعنوان تابع پتانسیل پلاستیک^۱ شناخته می‌شود.

با تعریف یک بردار نرمال به صورت:

^۱ Plastic potential

$$\bar{g} = \left| \frac{\partial \psi}{\partial \sigma} \right| \text{وقتی} \quad r = \frac{1}{\bar{g}} \frac{\partial \psi}{\partial \sigma} \quad (2-33\text{ج})$$

یک شکل مشخص برای (2-33 الف) به صورت زیر می‌باشد:

$$\dot{\varepsilon}_{ij}^p = \frac{1}{K_p} \langle L \rangle r_{ij} \quad (2-34)$$

که k_p مدول پلاستیک^۱ نامیده می‌شود.

شکل دیگر معادله (2-33 الف) درج مدول پلاستیک در اندیس بارگذاری می‌باشد. با این

تعریف معادلات ساختاری پلاستیک به شکل زیر خواهد بود:

$$\dot{\varepsilon}_{ij}^p = \langle L \rangle r_{ij} \quad (2-35\text{الف})$$

$$\dot{\xi} = \langle L \rangle s \quad (2-35\text{ب})$$

که

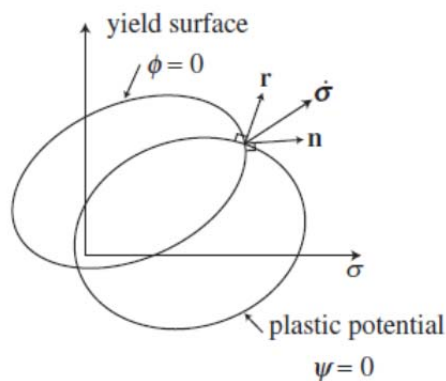
$$L = \frac{1}{K_p} \dot{\sigma}_{kl} n_{kl} \quad (2-35\text{ج})$$

با استفاده از تعریف مواد سخت‌شونده، سطح تسلیم به صورت محلی به خارج حرکت می‌کند، لذا $\dot{\sigma}_{kl} n_{kl} > 0$. چون $L > 0$ برای بارگذاری پلاستیک است، لذا برای مواد سخت‌شونده k_p باید مثبت باشد. به همین ترتیب در خصوص مواد نرم‌شونده k_p باید منفی باشد.

مفهوم هندسی سطوح تسلیم و پتانسیل پلاستیک در شکل (2-12) نشان داده شده است. L که طبق رابطه (2-35ج) تعریف شده، پارامتر سازگاری پلاستیک^۲ نامیده می‌شود. نوشتار متداول برای L ، λ می‌باشد.

^۱ Plastic modulus

^۲ Plastic consistency parameter



شکل (۲-۱۲) مفهوم هندسی سطوح تسلیم و پتانسیل پلاستیک

۲-۳-۵-۴- قواعد جریان مرتب و نامرتب

وقتی که $n=2$ ، $\psi = 0$ خواهد بود و قاعده جریان، قاعده جریان همبسته نامیده می-شود. در غیر اینصورت قاعده جریان، ناهمبسته می-باشد. در ادامه نشان داده خواهد شد که اپراتور مماسی پیوسته و لذا ماتریس سختی المان محدود کلی، در حالت مدل‌های جریانی همبسته متقارن و در غیر اینصورت نامتقارن خواهد بود.

۲-۳-۵-۵- قواعد جریان همبسته و ناهمبسته^۱

وقتی که $L > 0$ ، بارگذاری پلاستیک جایگزین شده و نقطه تنش از سطح تسلیم خارج می-شود (به سمت خارج برای مواد سخت شدگی و به سمت داخل برای مواد نرم شدگی) جدا از رخداد فوق نقطه تنش باید روی سطح تسلیم باقی بماند. لذا سطح تسلیم باید تغییر سایز، شکل یا مکان دهد بنحویکه نقطه فعلی هنوز روی سطح تسلیم قرار گیرد. این الزام شرط سازگاری^۲ نامیده می-شود و بصورت ریاضی زیر نشان داده می-شود:

^۱ Associated and Non-associated Rules

^۲ Consistency Condition

$$\dot{\phi}(\sigma, \xi) = 0 \quad (2-36\text{الف})$$

با استفاده از قاعده زنجیره‌ای:

$$\frac{\partial \phi}{\partial \sigma} \dot{\sigma} + \frac{\partial \phi}{\partial \xi} \dot{\xi} = 0 \quad (2-36\text{ب})$$

از (2-35ب) و (2-35ج) و (2-27ب) خواهیم داشت:

$$gK_p L + \frac{\partial \phi}{\partial \xi} sL = 0 \quad (2-36\text{ج})$$

که منجر به

$$K_p = -\frac{1}{g} \frac{\partial \phi}{\partial \xi} s \quad (2-36\text{د})$$

می‌شود.

لذا مدول پلاستیسیته یک مقدار مستقل نیست. همینکه سطح تسلیم و قواعد سخت شدگی انتخاب می‌شود، مدول پلاستیک از روی (2-36د) محاسبه می‌گردد. متعاقباً می‌توان یک توصیف برای مدول پلاستیک انتخاب نمود و یک قاعده سخت شدگی از روی آن توسعه داد. همانطور که پیش‌تر بحث شد:

$$K_p \geq 0 \quad \text{برای مواد سخت شونده}$$

$$K_p = 0 \quad \text{برای مواد پلاستیک کامل} \quad (2-36\text{هـ})$$

$$K_p \leq 0 \quad \text{برای مواد نرم شونده}$$

زمانیکه فرمول‌بندی نرمال واحد نباشد:

$$\dot{\varepsilon}_{ij}^p = \langle L \rangle r_{ij} ; \dot{\xi} = \langle L \rangle s \quad (2-36\text{و})$$

$$L = \frac{1}{K_p} \dot{\sigma}_{kl} n_{kl} \quad (2-36\text{ز})$$

$$r_{ij} = \frac{\partial \psi}{\partial \sigma_{ij}} ; n_{ij} = \frac{\partial \phi}{\partial \sigma_{ij}} \quad (2-36\text{ح})$$

شرط سازگاری منجر می‌گردد به:

$$K_p = -\frac{\partial \phi}{\partial \xi} s \quad (2-36\text{ط})$$

۲-۳-۵-۶-مراحل توسعه مدل‌های ساختاری

بر اساس مفاهیم و معادلات ارائه شده، توسعه یک مدل پلاستیک مراحل زیر را

طلب می‌کند:

۱- تعریف توابع تسلیم و پتانسیل که برای تشخیص تغییرات حالت ماده در طی

بارگذاری کاربرد دارند

۲- شناسایی رفتارهای سخت‌شدگی (بعنوان مثال: ایزوتروپیک، سینماتیک، ترکیبی

و...) و متغیرهای سخت‌شدگی (مثل: اندازه سطح تسلیم، چگالی جابجایی^۱،...) که

مناسب ماده مورد نظر است:

الف) توسعه معادلات ریاضی مناسب (معادله (۲-۳۵ب)) برای تکامل هر یک

از متغیرهای سخت‌شدگی در حل بارگذاری و استخراج مدول‌های پلاستیک از

معادله سازگاری یا

ب) تعریف یک توصیف برای مدول‌های پلاستیک و توسعه یک توصیف برای

تابع سخت‌شدگی از روی تابع سازگاری

^۱ Dislocation Density

۳- تکمیل کردن معادلات پلاستیک با معادلات الاستیک (الاستیک خطی، هایپر الاستیک^۱ و ...)

۲-۳-۵-۷- اپراتور مماسی پیوسته الاستوپلاستیک

در روش نیوتن-رافسون عنوان شد که این تکنیک به اپراتور یا تانسور مماسی ماده و مقدار تنش افزایشی برای یک مقدار کرنش افزایشی نیاز دارد. حال اپراتور مماسی پیوسته را محاسبه می‌کنیم. برای اینکار قانون ساختاری الاستیک را در نظر می‌گیریم.

$$\dot{\sigma}_{ij} = E_{ijkl} \dot{\epsilon}_{kl}^e \quad (۲-۳۷)$$

کرنش کل به دو بخش الاستیک و پلاستیک (با فرض کرنش کوچک) تقسیم می‌شود:

$$\dot{\epsilon}_{ij} = \dot{\epsilon}_{ij}^e + \dot{\epsilon}_{ij}^p \quad (۲-۳۸)$$

معادله (۲-۳۷) را می‌توان به صورت زیر بازنویسی نمود:

$$\dot{\sigma}_{ij} = E_{ijkl} (\dot{\epsilon}_{kl} - \dot{\epsilon}_{kl}^p) \quad (۲-۳۹\text{الف})$$

با کمک (۲-۳۵ الف) خواهیم داشت:

$$\dot{\sigma}_{ij} = E_{ijkl} (\dot{\epsilon}_{kl} - L r_{kl}) \quad (۲-۳۹\text{ب})$$

با درک این مطلب که جمله L وارد شده در معادله (۲-۳۹ ب) تنها زمانی وجود دارد که

$L > 0$ باشد، از ترکیب معادلات (۲-۳۵ ج) و (۲-۳۹ ب) خواهیم داشت:

$$L = \frac{1}{K_p} n_{kl} [E_{klpq} (\dot{\epsilon}_{pq} - L r_{pq})]$$

$$L [K_p + n_{kl} E_{klpq} r_{pq}] = n_{kl} E_{klpq} \dot{\epsilon}_{pq}$$

^۱ Hyper elastic

$$L = \frac{n_{kl} E_{klpq} \dot{\epsilon}_{pq}}{K_p + n_{kl} E_{klpq} r_{pq}} \quad (40-2)$$

با ترکیب (۲-۳۹ب) و (۲-۴۰) داریم:

$$\dot{\sigma}_{ij} = \left[E_{ijkl} - \frac{(E_{ijab} r_{ab})(n_{rs} E_{rskl})}{K_p + n_{rs} E_{rspq} r_{pq}} \right] \dot{\epsilon}_{kl} \quad (41-2)$$

یا

$$\dot{\sigma}_{ij} = D_{ijkl} \dot{\epsilon}_{kl} \quad (2-42الف)$$

که تانسور مرتبه چهار D_{ijkl} اپراتور مماسی الاستوپلاستیک پیوسته زیر می باشد:

$$D_{ijkl} = E_{ijkl} - \frac{(E_{ijab} r_{ab})(n_{rs} E_{rskl})}{K_p + n_{rs} E_{rspq} r_{pq}} \quad (2-42ب)$$

زمانی که قاعده جریان مرتبط باشد D_{ijkl} متقارن خواهد بود ($D_{ijkl} = D_{klij}$)

۲-۳-۵-۸- معیار تسلیم فون-میسز^۱

معیار تسلیم فون-میسز فرض می کند که تسلیم زمانی رخ می دهد که مقدار نامتغیر

انحرافی تنش^۲ از یک مقدار مشخص فراتر رود که مستقل از فشار هیدرواستاتیک است. به

صورت ریاضی سطح تسلیم به صورت زیر قابل نمایش است:

$$\phi(s, k) = s_{ij} s_{ij} - \frac{2}{3} k^2 = 0 \quad (43-2)$$

یا

^۱ Von misses criterion

^۲ Deviatoric stress invariant

$$J - \frac{1}{\sqrt{3}}k = 0 \quad (44-2)$$

که k به صورت یک مقدار مثبت تعریف می‌شود. J نامتغیر انحرافی تنش است و k نقش PIV در مدل ساختاری را که از این سطح تسلیم استفاده نماید، بازی می‌کند.

معیار میسز را می‌توان بر حسب اجزاء تانسور تنش به صورت زیر نوشت:

$$\phi(\sigma_{ij}, k) = \frac{3}{2} \tau_{oct}^2 - \frac{1}{3} k^2 = 0$$

$$\phi(\sigma_{ij}, k) = \frac{1}{6} [(\sigma_{11} - \sigma_{22})^2 + (\sigma_{22} - \sigma_{33})^2 + (\sigma_{33} - \sigma_{11})^2 + 6(\sigma_{12}^2 + \sigma_{23}^2 + \sigma_{13}^2)] - \frac{1}{3} k^2 = 0$$

(45-2)

با فرض مساله تنش مسطح که در جهت‌های اصلی بارگذاری شده است:

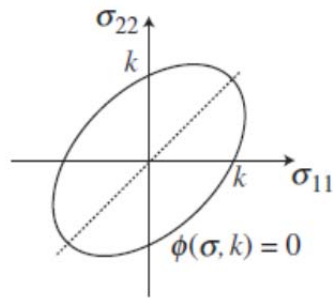
$$\sigma_{12} = \sigma_{23} = \sigma_{13} = \sigma_{33} = 0 \quad (45-2) \text{ معادله به صورت زیر ساده می‌شود:}$$

$$2\sigma_{11}^2 + 2\sigma_{22}^2 - 2\sigma_{11}\sigma_{22} - 2k^2 = 0$$

یا

$$\left(\frac{\sigma_{11}}{k}\right)^2 - \left(\frac{\sigma_{11}}{k}\right)\left(\frac{\sigma_{22}}{k}\right) + \left(\frac{\sigma_{22}}{k}\right)^2 = 1 \quad (46-2)$$

که معادله ی بیضی در فضای $\sigma_{11} - \sigma_{22}$ می‌باشد (شکل ۲-۱۳).



2D: Plane Stress Loading

شکل (۲-۱۳) شکل سطح تسلیم فون-میسز در حالت بارگذاری دومحوره

جهت مدلسازی رفتار سخت‌شدگی سینماتیک معادله (۲-۴۳) به صورت زیر تغییر

می‌یابد:

$$\phi(\sigma_{ij}, \alpha_{ij}, k) = (s_{ij} - \alpha_{ij})(s_{ij} - \alpha_{ij}) - \frac{2}{3}k^2 = 0 \quad (۲-۴۷)$$

که تنش برگشتی^۱ نامیده می‌شود.

در واقع α_{ij} مخالف صفر، معادل جابجایی مرکز سطح تسلیم می‌باشد، لذا تنش برگشتی

α_{ij} متغیر سخت‌شدگی سینماتیک (یکی از PIV ها) می‌باشد. لذا یک قاعده سخت‌شدگی

مناسب جهت مدلسازی تکامل آن در طی فرآیند بارگذاری لازم است.

۲-۳-۵-۹- قواعد سخت‌شدگی^۲

الف) قاعده سخت‌شدگی ایزوتروپیک

بر اساس مطالب ارائه شده رفتار سخت‌شدگی را می‌توان به رفتارهای سخت‌شدگی

ایزوتروپیک، سینماتیک و ترکیبی تقسیم‌بندی نمود. سخت‌شدگی ایزوتروپیک به معنی

^۱ Back stress

^۲ Hardening Rules

توسعه و انقباض سطح به صورت یکنواخت در همه جهات در فضای تنش بدون تغییر در شکل و مرکز سطح است. معیار تسلیم فون-میسز را می‌توان به صورت زیر نوشت:

$$\phi(\sigma_{ij}, k) = \bar{\phi}(\sigma_{ij}) - \frac{2}{3}k^2 = 0 \quad (۴۸-۲)$$

که تنش تسلیم k اندازه سطح را دیکته می‌کند. در گذشته برای فلزات دو سنجش کرنش پلاستیک زیر، جهت مدل‌سازی تکامل تدریجی k با بارگذاری استفاده می‌شد (۲-۲۴الف و ۲-۲۴ب):

$$\xi^P = \int \left[\frac{1}{2} de_{ij}^p de_{ij}^p \right]^{\frac{1}{2}} \quad (۴۹-۲الف)$$

و

$$W^P = \int \sigma_{ij} d\varepsilon_{ij}^p \quad (۴۹-۲ب)$$

که ξ^P کرنش پلاستیک انحرافی مؤثر یا معادل^۱ (طول تجمعی مسیر در فضای کرنش پلاستیک انحرافی) و W^P کار پلاستیک تجمعی می‌باشد.

باید توجه نمود که مسیرهای مختلف می‌توانند مقادیر برابر برای ξ^P و W^P ارائه نمایند. لذا این پارامترها به صورت یکتا به مسیر کرنش یا تنش مرتبط نمی‌باشند. اما به صورت یکتا به تغییر شکل پلاستیک تجربه شده توسط ماده مرتبط هستند.

اندازه پارامتر k به صورت تابعی از ξ^P یا W^P به صورت زیر تعریف می‌شود:

$$k = k(\xi^P) \quad (۵۰-۲الف)$$

یا

^۱ equivalent or effective deviatoric plastic strain

$$k = k(W^P) \quad (ب-۵۰-۲)$$

معادله (۵۰-۲ الف) قانون سخت‌شدگی کرنش^۱ و معادله (۵۰-۲ ب) قانون سخت‌شدگی کار^۲ نامیده می‌شوند:

$$\dot{k} = \frac{dk}{d\xi^P} \dot{\xi}^P = g(\xi^P) \dot{\xi}^P \quad (الف-۵۱-۲)$$

$$\dot{k} = \frac{dk}{dW^P} \dot{W}^P = h(W^P) \dot{W}^P \quad (ب-۵۱-۲)$$

که g و h شیب روابط $k - \xi^P$ و $k - W^P$ هستند (شکل (۲-۱۴)).

با در نظر گرفتن قانون سخت‌شدگی کرنش یکی از روابط پیشنهادی به صورت رابطه هایپربولیک زیر می‌باشد:

$$k = k_0 + \frac{m(k_f - k_0)\xi^P}{(k_f - k_0) + m\xi^P} \quad (۵۲-۲)$$

k_0 تنش تسلیم اولیه می‌باشد.

با مشتق‌گیری از رابطه فوق خواهیم داشت:

$$\dot{k} = g \dot{\xi}^P \quad (الف-۵۳-۲)$$

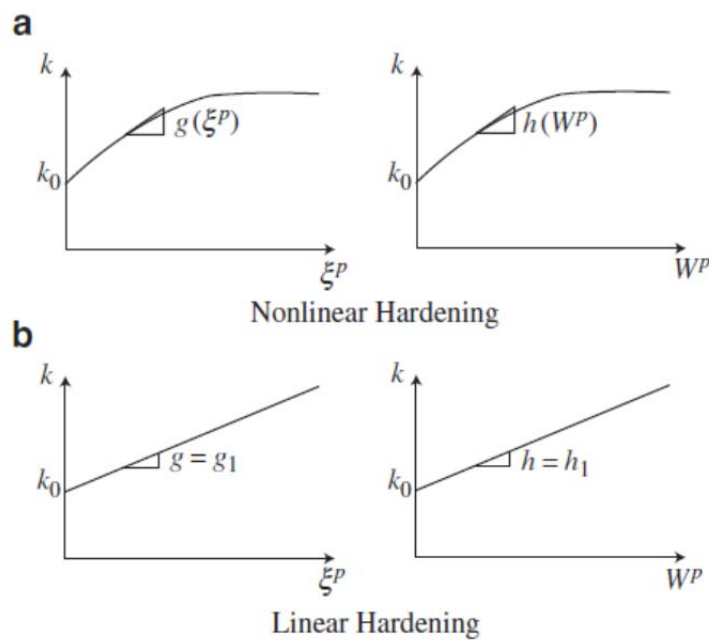
$$g = \frac{m(k_f - k_0)^2}{[(k_f - k_0) + m\xi^P]^2} \quad (ب-۵۳-۲)$$

اگر $\xi^P = 0$ آن‌گاه $m = g$ خواهد بود. همچنانکه $\xi^P \rightarrow \infty$ آن‌گاه $k \rightarrow \infty$ و

$g \rightarrow 0$. این تابع در انتگرال‌گیری معادلات ساختاری مورد استفاده قرار خواهد گرفت.

^۱ strain hardening law

^۲ Work hardening law



شکل (۲-۱۴) شماتیک توابع سخت‌شدگی ایزوتروپیک خطی و غیرخطی

ب) قاعده سخت‌شدگی سینماتیک

در این رفتار سخت‌شدگی شکل و سایز سطح تسلیم ثابت مانده و مرکز آن تغییر می‌کند. به طور کلی این سخت‌شدگی توسط معرفی یک PIV تانسوری تحت عنوان تنش برگشتی و تعریف یک قاعده تکامل مناسب برای آن مدل می‌شود. در مواد وابسته به فشار مانند خاک این تنش برگشتی هم اجزاء حجمی^۱ و هم انحرافی^۲ دارند. در مواد مستقل از فشار مانند فلزات چون سطح تسلیم مستقل از تنش هیدرواستاتیک است، تنش برگشتی یک تانسور انحرافی خالص می‌باشد.

یک شکل معمولی تغییر یافته معیار تسلیم فون-میسز با تنش برگشتی در معادله (۲-۲)

(۴۷) داده شده است که α_{ij} تنش برگشتی است که با کرنش پلاستیک تغییر می‌کند و k

^۱ Volumetric
^۲ Deviatoric

یک ثابت اسکالر است که طی رفتار پلاستیک بدون تغییر باقی می‌ماند (در حالت سخت‌شدگی سینماتیک خالص). در بین قواعد سخت‌شدگی سینماتیک کلاسیک قاعده پراگر^۱ و زیگلر^۲ پرکاربردترین هستند که به صورت ریاضی زیر بیان می‌شوند:

$$\dot{\alpha}_{ij} = c_1(\sigma, \zeta) \dot{\varepsilon}_{ij}^p \quad \text{قانون پراگر:} \quad (2-54\text{الف})$$

$$\dot{\alpha}_{ij} = \dot{\mu}(\sigma_{ij} - \alpha_{ij}) \quad \text{قانون زیگلر:} \quad (2-54\text{ب})$$

یک شکل مناسب برای $\dot{\mu}$ در قاعده زیگلر به صورت زیر می‌باشد:

$$\dot{\mu} = c_2(\sigma, \zeta) \dot{\zeta}^p \quad (2-54\text{ج})$$

که $\dot{\zeta}^p$ نامتغیر انحرافی نرخ کرنش پلاستیک می‌باشد. وقتی C_1 در قاعده پراگر و C_2 در قاعده زیگلر مستقل از متغیرهای حالت (σ, ζ) باشند، قاعده سخت‌شدگی خطی و در غیراین صورت غیرخطی می‌باشد.

۲-۳-۶- روش‌های انتگرال‌گیری معادلات ساختاری الاستوپلاستیک

همانطور که پیش‌تر مطرح شد یکی از مهمترین موضوعات آنالیز اجزاء محدود الاستوپلاستیک تکامل بردار تنش افزایشی $\Delta\sigma$ برای یک بردار کرنش افزایشی داده شده $\Delta\varepsilon$ می‌باشد.

از طرفی روش‌های متوالی مبتنی بر روش نیوتن-رافسون به یک ماتریس مدول مماسی ماده (یا اپراتور سختی مماسی) D^t نیاز دارند. اگرچه محاسبه آن در حوزه مسائل الاستیک

^۱ Prager
^۲ Ziegler

اعم از خطی و غیرخطی آسان است، اما در حوزه الاستوپلاستیک با دشواری‌هایی همراه می‌باشد. در این راستا سه روش انتگرال‌گیری قوانین ساختاری الاستوپلاستیک مستقل از نرخ وجود دارد که شامل:

۱- روش اویلر دو مرحله‌ای^۱

۲- روش صفحه برشی^۲

۳- روش تصویر نزدیک‌ترین نقطه^۳ (CPPM)

می‌باشد. پیش‌تر گفته شد که حل معادلات اجزاء محدود غیرخطی توسط روش نیوتن-رافسون مستلزم آنست که در هر نقطه گوسی ماتریس مدول مماسی D^t و بردار تنش افزایشی $\Delta\sigma$ به صورت زیر تعریف شود:

$$D^t = \frac{\partial \sigma}{\partial \varepsilon} \quad \text{و} \quad \Delta\sigma = \int_t^{t+\Delta t} \dot{\sigma} dt \quad (55-2)$$

که $\dot{\sigma}$ بردار نرخ تنش و $\dot{\varepsilon}$ بردار نرخ کرنش و t زمان است. با ترکیب معادلات ساختاری الاستیک و پلاستیک خواهیم داشت:

$$\begin{aligned} \dot{\varepsilon} &= \dot{\varepsilon}^e + \dot{\varepsilon}^p ; \quad \dot{\varepsilon}^p = \dot{\lambda} r \\ \dot{\sigma} &= C \dot{\varepsilon}^e = C[\dot{\varepsilon} - \dot{\varepsilon}^p] = C \dot{\varepsilon} - \dot{\lambda} C r \end{aligned} \quad (2-56\text{الف})$$

که

$$\dot{\lambda} = \dot{\lambda}(\sigma, \xi) = \frac{1}{K_p} \dot{\sigma}^T n ; \quad n(\sigma, \xi) = \frac{\partial \phi(\sigma, \xi)}{\partial \sigma} ; \quad (2-56\text{ب})$$

$$\dot{\xi} = \dot{\lambda} s = g(\sigma, \xi) ; \quad s = s(\sigma, \xi) ; \quad r(\sigma, \xi) = \frac{\partial \psi(\sigma, \xi)}{\partial \sigma} \quad (2-56\text{ج})$$

^۱ Two-step Euler method

^۲ Cutting plane

^۳ Closest point projection method

$$\phi(\sigma, \xi) = 0 ; \psi(\sigma, \xi) = 0 \quad (2-556)$$

ξ^p بردار نرخ کرنش پلاستیک، C ماتریس مدول مماسی الاستیک، λ پارامتر سازگاری، r جهت جریان (بردار نرمال بر سطح پتانسیل پلاستیک ψ)، n جهت تسلیم (بردار نرمال بر سطح تسلیم تعریف شده توسط تابع ϕ)، ξ متغیر داخلی پلاستیک (PIV) یا متغیر سخت‌شدگی (که عموماً شامل PIV ها اسکالر و یا تانسوری مانند تنش برگشتی می‌باشد)، s جهت نرخ PIV و

$$K_p = -(\partial_{\xi} \phi)^T s \quad (2-556)$$

مدول پلاستیک می‌باشد، بعلاوه معادله نرخ تنش-کرنش الاستوپلاستیک ترکیبی به صورت زیر است:

$$\dot{\sigma} = \bar{D} \dot{\varepsilon} \quad (2-556)$$

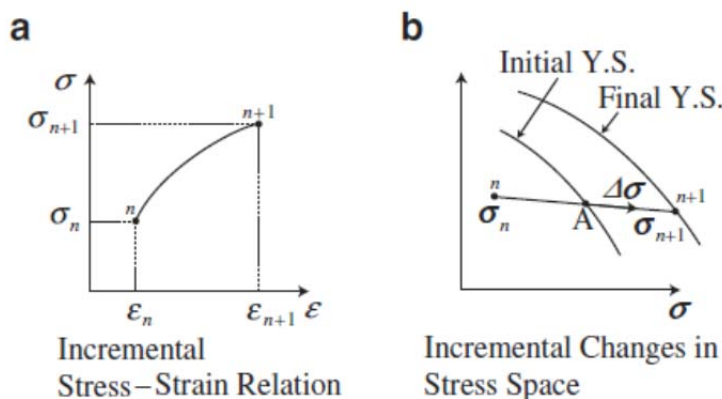
که \bar{D} اپراتور مماسی پیوسته الاستوپلاستیک می‌باشد.

مساله موردنظر به صورت زیر می‌باشد:

با داشتن $(\sigma_n, \xi_n, \Delta \varepsilon)$ ، هدف محاسبه‌ی $(D_{n+1}^t, \sigma_{n+1}, \xi_{n+1})$ می‌باشد که n معرف

عدد افزایش مطابق شکل (2-15) می‌باشد. پیش‌تر مطرح شد که D_{n+1}^t, σ_{n+1} در مراحل

مختلف در طی توالی کلی مورد نیاز هستند.



شکل (۲-۱۵) نمایش هندسی افزایش‌های تنش و کرنش

لذا فرآیند، یک فرآیند آغازشونده با کرنش $\Delta \varepsilon$ می‌باشد و محاسبه‌ی $\Delta \sigma$ و $\Delta \xi$ مدنظر است. این مساله از جمله مسائل مقدار اولیه می‌باشد که توسط روش‌های انتگرال گیری اویلر قابل محاسبه است. اشاره شد که استفاده از اپراتور مماسی سازگار به مقدار قابل ملاحظه‌ای نرخ هم‌گرایی را نسبت به اپراتور مماسی پیوسته افزایش می‌دهد.

حال اگر مساله یافتن ماتریس سختی مماسی را در نظر بگیریم؛ نشان داده شده که

$$\bar{D} \dot{\sigma} = \bar{D} \dot{\varepsilon} \quad \text{بنابراین داریم:}$$

$$\bar{D} = \left[C - \frac{(Cr)(Cn)^T}{n^T Cr + K_p} \right] \quad (۲-۵۷\text{الف})$$

و

$$\dot{\lambda} = \frac{n^T C \dot{\varepsilon}}{n^T Cr + K_p} \quad (۲-۵۷\text{ب})$$

\bar{D} اپراتور مماسی الاستوپلاستیک پیوسته می‌باشد. عموماً حل معادلات (۲-۵۷ الف) به صورت تحلیلی جهت محاسبه انتگرال (۲-۴۹) برای محاسبه $\Delta \sigma$ بسیار پیچیده است. لذا یک روش عددی مناسب مورد نیاز است. باید توجه نمود که $\sigma_{n+1} = \sigma_n + \Delta \sigma$ و $\varepsilon_{n+1} = \varepsilon_n + \Delta \varepsilon$ لذا اپراتور مماسی در حل فرآیند افزایشی قابل محاسبه است، اگر σ_{n+1} بر حسب ε_{n+1} را بدانیم. یک رابطه تحلیلی جهت این دو در دسترس نیست، اما بر اساس روش عددی مورد استفاده یک رابطه الگوریتمی وجود دارد که یک تقریب از آن است. از این رابطه می‌توان مشتق‌گیری نمود و تقریبی از اپراتور مماسی را به دست آورد:

$$D^t = \frac{\partial[\sigma_n + \Delta \sigma]}{\partial[\varepsilon_n + \Delta \varepsilon]} \quad (۲-۵۸)$$

که D^t ماتریس مدول مماسی سازگار الاستوپلاستیک^۱ می‌باشد.

یا به‌طور ساده؛ اپراتور مماسی سازگار الاستوپلاستیک می‌باشد. اپراتور سازگار نامیده می‌شود، زیرا مطابق و سازگار با الگوریتم مورد استفاده جهت محاسبه تنش‌ها است. اگرچه D^t وجود دارد، اما همیشه محاسبه آن آسان نیست، لذا به گرادیان مقادیری چون n و r و... بر حسب σ, ε نیاز دارد که برای مدل‌های پیچیده محاسبه آن‌ها آسان نخواهد بود. لذا استفاده از اپراتور پیوسته به جای اپراتور مماسی سازگار معمول می‌باشد.

همان‌طور که اشاره شد به‌طور کلی سه روش اوپلر دو مرحله‌ای، صفحه برشی و تصویر نزدیک‌ترین نقطه جهت محاسبه انتگرال فوق وجود دارد.

بیشتر مطالعات اخیر روی مدل‌های پلاستیک فلزات متمرکز است. اگرچه در برخی حالات پلاستیک کامل، محاسبه دقیق انتگرال امکان‌پذیر است، اما عمده مدل‌های پلاستیک سخت‌شدگی به روش‌های عددی نیاز دارند. روش‌های مبتنی بر اوپلر در گذشته استفاده شده‌اند.

به‌طور کلی روش‌های محاسبه تنش افزایشی به تدریج سبب خروج تنش نهایی از سطح تسلیم می‌شوند. لذا روشی جهت بازگرداندن آن‌ها به سطح تسلیم مورد نیاز است. روش کلاسیک حصول این هدف الگوریتم بازگشت شعاعی^۲ است. کلاس کلی‌تری که این الگوریتم جزء آن می‌باشد؛ الگوریتم پیش‌بینی کننده الاستیک- تصحیح کننده پلاستیک^۳ می‌باشد که در آن در ابتدا از پاسخ غیرالاستیک ماده صرف‌نظر شده و تنها بخش الاستیک لحاظ می‌شود، سپس با اضافه کردن کرنش غیرالاستیک، تنش الاستیک به سطح تسلیم برگردانده می‌شود. این فرآیند نگاشت با بازگشت^۴ نامیده می‌شود. این روش معادل یافتن

^۱ Elasto-Plastic consistent tangent modular matrix

^۲ Radial return mapping

^۳ Elastic predictor- Plastic corrector

^۴ Return Mapping

تصویر نزدیک‌ترین نقطه تنش فرضی اولیه (پیش‌بینی کننده الاستیک) روی سطح تسلیم می‌باشد. بر همین اساس به آن روش CPPM نیز می‌گویند.

CPPM در کنار تکنیک توالی نیوتن به کار می‌رود. استفاده از اپراتور مماسی پیوسته هم‌گرایی آن را متأثر می‌کند، اما با اپراتور مماسی سازگار این هم‌گرایی بصورت دو مجذوری محقق می‌شود. لذا روش بهینه در دسترس جهت پیاده‌سازی مدل‌های ساختاری الاستوپلاستیک، استفاده از CPPM جهت محاسبه معادلات نرخ در نقاط گوسی جهت محاسبه افزایش تنش برای یک مقدار افزایش کرنش داده شده، و استفاده از اپراتور مماسی سازگار در توالی‌های نیوتن کلی می‌باشد. CPPM یک روش ضمنی است و به گرادیان n و r نیاز دارد.

روش صفحه برشی به گرادیان n و r نسبت به σ و ϵ نیاز ندارد، اما اپراتور مماسی سازگار به راحتی قابل محاسبه نیست. لذا در طی توالی کلی نیوتن باید از اپراتور پیوسته استفاده نمود که در این حالت الگوریتم بازدهی خود را از دست می‌دهد. لذا تنها در مواردی که مدل به قدر کافی آسان نباشد، به نحوی که امکان محاسبه r و n مهیا نگردد، این روش مناسب خواهد بود.

در پلاستیک فلزات، خواص الاستیک در طی بارگذاری غالباً ثابت می‌ماند. بدین مفهوم که نه تابعی از کرنش‌های پلاستیک هستند و نه تابعی از تنش‌ها. بنابراین هنگامی که کرنش‌های پلاستیک به شکل متوالی محاسبه شد، تنش فرضی الاستیک اولیه بدون تغییر باقی می‌ماند، لذا بیشتر الگوریتم‌های توسعه یافته برای پلاستیک فلزات مبتنی بر همین حقیقت هستند.

در ادامه، ابتدا تعریفی از روش‌های پیش‌بین الاستیک-تصحیح کننده پلاستیک ارائه و سپس روش CPPM تشریح می‌گردد. جدا از روش انتگرال‌گیری به کار رفته، پیش‌بین

الاستیک جهت بررسی حالت بارگذاری/ باربرداری به کار می‌رود. با انتگرال‌گیری از (۲-۵۶)

الف) خواهیم داشت:

$$\int_t^{t+\Delta t} \dot{\sigma} = \int_t^{t+\Delta t} C \dot{\varepsilon} - \int_t^{t+\Delta t} \dot{\lambda} Cr \quad (۲-۵۹\text{الف})$$

$$\Delta \sigma = \Delta \sigma^{ep} + \Delta \sigma^{pc} \quad (۲-۵۹\text{ب})$$

که

$$\Delta \sigma^{ep} = \int_t^{t+\Delta t} C \dot{\varepsilon} \quad \text{و} \quad \Delta \sigma^{pc} = - \int_t^{t+\Delta t} \dot{\lambda} Cr \quad (۲-۵۹\text{ج})$$

بنابراین:

$$\sigma_{n+1} = \sigma_n + \Delta \sigma^{ep} + \Delta \sigma^{pc} = \sigma_{n+1}^{tr} + \Delta \sigma^{pc} \quad (۲-۵۹\text{د})$$

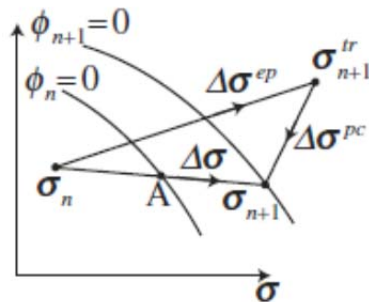
که

$$\sigma_{n+1}^{tr} = \sigma_n + \Delta \sigma^{ep} \quad (۲-۵۹\text{هـ})$$

از (۲-۵۹ الف) می‌توان دید که $\Delta \sigma$ می‌تواند به دو بخش $\Delta \sigma^{ep}$ و $\Delta \sigma^{pc}$ تقسیم

شود. که منجر به (۲-۵۹د) و (۲-۵۹هـ) می‌شود. σ_{n+1} به صورت جمع σ_{n+1}^{tr} و $\Delta \sigma^{pc}$

در شکل (۲-۱۶) نشان داده شده است.



شکل (۲-۱۶) نمایش هندسی پیش‌بین الاستیک- تصحیح کننده پلاستیک

حال حالتی را در نظر می‌گیریم که پاسخ غیرالاستیک ماده صرف نظر شده و فرض می‌شود تمام طول افزایش کرنش، پاسخ الاستیک خالص تولید می‌کند. لذا $\dot{\lambda} = 0$ و $\Delta\sigma^{pc} = 0$ بنابراین $\sigma_{n+1} = \sigma_{n+1}^{tr}$ ، پیش بین الاستیک نامیده می‌شود و $\Delta\sigma^{pc}$ ، تصحیح کننده پلاستیک نام‌گذاری می‌گردد. $\Delta\sigma^{ep}$ بخشی از افزایش تنش است که با پیش بین الاستیک همراه است.

جدا از روش انتگرال گیری مورد استفاده، ما نیازمند تعیین تغییر شکل پلاستیکی هستیم که ناشی از افزایش کرنش داده شده می‌باشد. σ_{n+1}^{tr} می‌تواند مبنای تعیین الاستیک یا الاستوپلاستیک بودن توالی قرار گیرد.

$$\phi_{n+1}^{tr}(\sigma_{n+1}^{tr}, \xi_n) > 0 \Rightarrow \text{الاستوپلاستیک} \quad (۲-۶۰\text{الف})$$

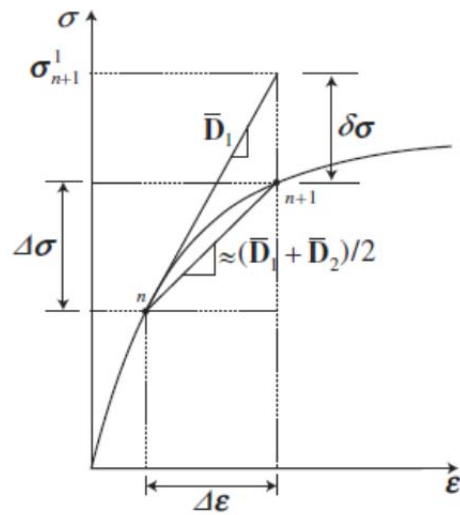
$$\phi_{n+1}^{tr}(\sigma_{n+1}^{tr}, \xi_n) \leq 0 \Rightarrow \text{الاستیک} \quad (۲-۶۰\text{ب})$$

σ_{n+1}^{tr} را تنش فرضی نیز می‌نامند.

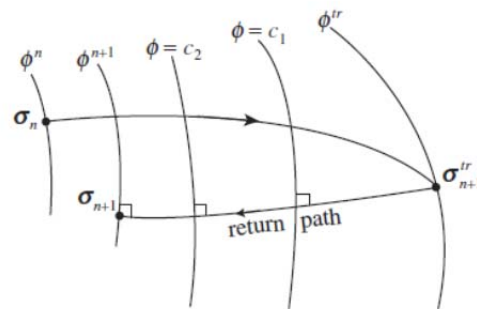
پیشتر استراتژی توالی کلی برای آنالیز المان محدود الاستوپلاستیک در روش نیوتن-رافسون ارائه گردید. در آن تنش افزایشی $\Delta\sigma$ منطبق با کرنش افزایشی $\Delta\varepsilon$ محاسبه می‌گردد، نه تنش متوالی $\delta\sigma$ منطبق با کرنش متوالی $\delta\varepsilon$.

بعبارت دیگر در طی توالی کلی انتگرال گیری از تنش‌ها همیشه از نقطه‌ی n شروع می‌شود نه از نقطه‌ای بین n و $n+1$. در غیراین صورت مقدار نهایی $\Delta\sigma$ وابسته به مسیر تنش خواهد بود که در زمان توالی طی شده است و لذا به الگوریتم خاصی که به کار رفته وابسته خواهد بود. شکل (۲-۱۷) نمایش هندسی روش اویلر دو مرحله‌ای و شکل (۲-۱۸)

نمایش هندسی روش صفحه برشی را نشان می‌دهند. در ادامه روش CPPM تشریح می‌گردد.



شکل (۱۷-۲) نمایش هندسی روش اولر دو مرحله‌ای



شکل (۱۸-۲) نمایش هندسی روش صفحه برشی

۲-۳-۷- روش تصویر نزدیک‌ترین نقطه (CPPM)

روش CPPM یک روش پیش‌بین‌الاستیک-تصحیح‌کننده پلاستیک می‌باشد که ارضاء شرط سازگاری را در انتهای افزایش جستجو می‌کند، لذا یک روش اویلر برگشتی و رویه

ضمنی می‌باشد. این روش قوی بوده و اجازه محاسبه تحلیلی مشتق اپراتور مماسی سازگار را می‌دهد. لذا نسبت به دور روش دیگر پایدارتر و با بازده بیشتر می‌باشد. تنها مشکل این روش نیاز به گرادیان σ و ξ نسبت به s و n و σ می‌باشد که در برخی مدل‌های پیچیده محاسبه آن دشوار است.

در ابتدا روشی برای ماده‌ای مانند فلزات که خواص الاستیک ثابتی دارند توصیف می‌شود. لذا مطابق شکل (۲-۱۹) پیش‌بین الاستیک در طی توالی ثابت می‌ماند. هدف محاسبه‌ی σ_{n+1} و ξ_{n+1} بر اساس معادلات اویلر بازگشتی (ضمنی) می‌باشد.

$$\sigma_{n+1} = \sigma_n + \Delta\sigma^{ep} + \Delta\sigma^{pc} = \sigma_{n+1}^{tr} + \Delta\sigma^{pc} \quad (۲-۶۱الف)$$

$$\Delta\sigma^{ep} = \int_t^{t+\Delta t} C \dot{\varepsilon} = C \Delta\varepsilon \quad (۲-۶۱ب)$$

$$\Delta\sigma^{pc} = - \int_t^{t+\Delta t} \dot{\lambda} Cr = -\Delta\lambda Cr^{n+1} \quad (۲-۶۱ج)$$

$$\xi_{n+1} = \xi_n + \Delta\xi \quad (۲-۶۲الف)$$

$$\Delta\xi = \Delta\lambda s^{n+1} \quad (۲-۶۲ب)$$

آنچنان که:

$$\phi^{n+1}(\sigma_{n+1}, \xi_{n+1}) = 0 \quad (۲-۶۲ج)$$

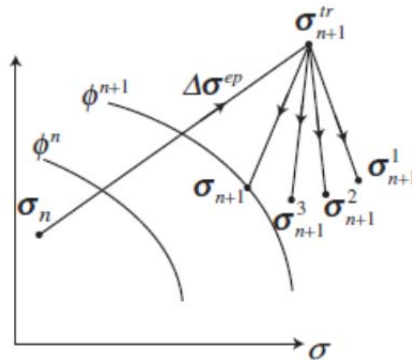
در مجموع معادلات برای محاسبه‌ی σ_{n+1} و ξ_{n+1} به قرار زیر هستند:

$$\sigma_{n+1} = \sigma_n + C\Delta\varepsilon - \Delta\lambda Cr^{n+1}(\sigma_{n+1}, \xi_{n+1}) \quad (۲-۶۳الف)$$

$$(۲-۶۳ب)$$

$$\xi_{n+1} = \xi_n + \Delta\lambda s^{n+1}(\sigma_{n+1}, \xi_{n+1})$$

چون σ_{n+1} و ξ_{n+1} توابعی از خودشان هستند، لذا رویه متوالی می باشد.



شکل (۱۹-۲) شماتیک رویه CPPM در حالت خواص الاستیک ثابت

فرمول بندی فوق بر حسب تانسور تنش σ می باشد، به این نوع فرمول بندی، فرمول بندی $\sigma - space$ گفته می شود. اگر توالی بر حسب جداسازی تنش های کروی-انحرافی باشد، به آن فرمول بندی $s - space$ گویند.

این روش به این صورت عمل می کند که در ابتدا یک تقریب اولیه برای $\Delta\lambda$ با استفاده از یک رویه مناسب فراهم می گردد. به عنوان مثال روش صریح به کار رفته در صفحه برشی می تواند برای این منظور به کار رود که بر این اساس:

$$\Delta\lambda_1 = \frac{\phi^{tr}}{[n^T Cr + K_p]^{tr}} \quad (۶۴-۲)$$

همانگونه که مشهود است مقادیر ارزیابی شده در پیش بین الاستیک مبنای تعیین مقدار $\Delta\lambda_1$ می باشد، سپس با استفاده از Γ^{tr} و n^{tr} اولین تقریبها برای σ_{n+1} و ξ_{n+1} تحت نام σ_{n+1}^1 و ξ_{n+1}^1 (شکل ۱۹-۲) توسط معادلات (۶۳-۲ الف) و (۶۳-۲ ب) محاسبه

می‌شود. این مقادیر معادله (۲-۶۲ ج) را ارضا نمی‌کند. زیرا $n^{tr} \neq n^{n+1}$ و $r^{tr} \neq r^{n+1}$ است. مانده‌های زیر تعریف می‌شوند.

$$R_\sigma = \sigma_{n+1} - [\sigma_n + C\Delta\varepsilon - \Delta\lambda Cr^{n+1}] = R_\sigma(\sigma_{n+1}, \xi_{n+1}, \Delta\lambda) \quad (۲-۶۵ الف)$$

$$R_\xi = \xi_{n+1} - [\xi_n + \Delta\lambda s^{n+1}] = R_\xi(\sigma_{n+1}, \xi_{n+1}, \Delta\lambda) \quad (۲-۶۵ ب)$$

$$R_\phi = \phi^{n+1}(\sigma_{n+1}, \xi_{n+1}) = R_\phi(\sigma_{n+1}, \xi_{n+1}) \quad (۲-۶۵ ج)$$

در رابطه (۲-۶۵ ب) از نمایش اویلر بازگشتی برای ξ_{n+1} استفاده شده است، اما در برخی موارد مثلاً روی مدل فون-میسز انتگرال‌گیری مستقیم روی قانون سخت‌شدگی جهت محاسبه معادله تحلیلی برای ξ_{n+1} بر حسب σ_{n+1} و $\Delta\lambda$ امکان‌پذیر است.

با خطی‌سازی معادلات (۲-۶۵ الف تا ج) حول σ_{n+1} و ξ_{n+1} برای حالتی که ξ و

R_ξ^1 اسکالر باشند، خواهیم داشت:

$$A_{ijkl} = \left[\frac{\partial R_{\sigma_{ij}}}{\partial \sigma_{kl}} \right]_1 ; B_{ij} = \left[\frac{\partial R_{\sigma_{ij}}}{\partial \xi} \right]_1 ; F_{ij} = \left[\frac{\partial R_{\sigma_{ij}}}{\partial \Delta\lambda} \right]_1 \quad (۲-۶۶ الف)$$

$$H_{kl} = \left[\frac{\partial R_\xi}{\partial \sigma_{kl}} \right]_1 ; \omega = \left[\frac{\partial R_\xi}{\partial \xi} \right]_1 ; \beta = \left[\frac{\partial R_\xi}{\partial \Delta\lambda} \right]_1 \quad (۲-۶۶ ب)$$

$$E_{kl} = \left[\frac{\partial R_\phi}{\partial \sigma_{kl}} \right]_1 ; \gamma = \left[\frac{\partial R_\phi}{\partial \xi} \right]_1 \quad (۲-۶۶ ج)$$

لذا مقادیر مورد نیاز جهت محاسبه ضرایب عبارتند از:

$\Delta\varepsilon -$

- مقادیر $C, r, n, \frac{\partial \phi}{\partial \xi}, \Delta\lambda$ و s در نقطه پیشرو $n+1$ در توالی جاری

$$\text{- گرادیان } \frac{\partial C}{\partial \sigma}, \frac{\partial r}{\partial \sigma}, \frac{\partial r}{\partial \xi}, \frac{\partial s}{\partial \sigma}, \frac{\partial s}{\partial \xi}, \frac{\partial s}{\partial \Delta \lambda}$$

معادلات (۲-۶۶ الف تا ج) به طور همزمان جهت محاسبه مقادیر نامشخص $\delta \xi$ ، $\delta \sigma_{ij}$

و $\delta \lambda$ حل می‌شوند و تقریب‌های جدید برای ξ_{n+1} و σ_{n+1} و $\Delta \lambda$ یافت می‌شود.

$$\sigma_{n+1}^2 = \sigma_{n+1}^1 + \delta \sigma \quad (۲-۶۷ الف)$$

$$\xi_{n+1}^2 = \xi_{n+1}^1 + \delta \xi \quad (۲-۶۷ ب)$$

$$\Delta \lambda_2 = \Delta \lambda_1 + \delta \lambda \quad (۲-۶۷ ج)$$

نگارش «۲» نشانه تقریب دوم می‌باشد. در معادلات (۲-۶۶ الف تا ج) باقیمانده‌ها باید در

(σ_{n+1}^1 و ξ_{n+1}^1) محاسبه شوند. با ادامه این توالی $\Delta \sigma^{pc}$ به تدریج به سمت مقدار

صحیح در محدوده تلورانس مشخص شده مطابق شکل (۲-۱۹) همگرا می‌شود. معیار

همگرایی به صورت زیر است:

$$e_{\sigma} = \|R_{\sigma}^{i+1}\| / \|\sigma_{n+1}^i\| \leq \text{TOL}_{\sigma} \quad (۲-۶۸ الف)$$

$$e_{\xi} = \|R_{\xi}^{i+1}\| / \|\xi_{n+1}^i\| \leq \text{TOL}_{\xi} \quad (۲-۶۸ ب)$$

$$R_{\phi}^{i+1} = \phi^{i+1} \leq \text{TOL}_{\phi} \quad (۲-۶۸ ج)$$

به محض اینکه همگرایی محقق شد تنش‌ها و PIV ها با استفاده از فرمول‌های (۲-۶۷

الف) و (۲-۶۷ ب) به روز رسانی و تقریباً مشابه به آنچه که در (۲-۶۳ الف) و (۲-۶۳ ب)

مشاهده شد، محاسبه می‌شوند:

$$\sigma_{n+1}^k \approx \sigma_n + C \Delta \varepsilon - \Delta \lambda_k C r^{n+1} (\sigma_{n+1}^k, \xi_{n+1}^k) \quad (۲-۶۹ الف)$$

$$\xi_{n+1}^k \approx \xi_n + \Delta \lambda_k s^{n+1} (\sigma_{n+1}^k, \xi_{n+1}^k) \quad (۲-۶۹ ب)$$

که k عدد توالی است که همگرایی در آن رخ می‌دهد. پس از حصول همگرایی:

$$\sigma_{n+1} = \sigma_n + C\Delta\varepsilon - \Delta\lambda Cr^{n+1}(\sigma_{n+1}, \xi_{n+1}) \quad (الف-۷۰-۲)$$

$$\xi_{n+1} \approx \xi_n + \Delta\lambda s^{n+1}(\sigma_{n+1}, \xi_{n+1}) \quad (ب-۷۰-۲)$$

که معرف معادل الگوریتمی جهت محاسبه σ_{n+1} و ξ_{n+1} می‌باشند، بعلاوه شرط سازگاری زیر نیز وجود دارد:

$$R_\phi = \phi^{n+1}(\sigma_{n+1}, \xi_{n+1}) = R_\phi(\sigma_{n+1}, \xi_{n+1}) = 0 \quad (۷۱-۲)$$

با مشتق‌گیری از (الف-۷۰-۲) و (ب-۷۰-۲) و (۷۱-۲) و ترکیب معادلات جهت حذف ξ و λ معادله مرتبط شده رابطه $\dot{\sigma}$ و $\dot{\xi}$ به صورت زیر به دست می‌آید:

$$\dot{\sigma} = D^t \dot{\xi} \quad (۷۲-۲)$$

که D^t اپراتور مماسی سازگار است.

محاسبات فوق در حالت خواص الاستیک متغیر نیز قابل انجام است [۲۱]. با مشتق‌گیری از معادلات الگوریتمی و بازآرایی آن‌ها داریم:

$$R_\sigma^{*1} + A^* \dot{\sigma} + B^* \dot{\xi} + F^* \dot{\lambda} = 0 \quad (الف-۷۳-۲)$$

$$R_\xi^{*1} + H^{*T} \dot{\sigma} + \omega^* \dot{\xi} + \beta^* \dot{\lambda} = 0 \quad (ب-۷۳-۲)$$

$$R_\phi^{*1} + E^{*T} \dot{\sigma} + \gamma^* \dot{\xi} = 0 \quad (ج-۷۳-۲)$$

می‌توان نشان داد که:

$$A^* = A, \quad B^* = B, \quad F^* = F, \quad H^* = H, \quad E^* = E, \quad \omega^* = \omega, \quad \beta^* = \beta, \quad \gamma^* = \gamma$$

که مانده‌ها عبارتند از:

$$R_\sigma^{*1} = -C_{ijkl} \dot{\varepsilon}_{kl}; \quad R_\xi^{*1} = 0; \quad R_\phi^{*1} = 0 \quad (۷۴-۲)$$

با ساده‌سازی خواهیم داشت:

$$\dot{\sigma} = RC\dot{\varepsilon} - \bar{C}\bar{r} \frac{\bar{n}^T \bar{C} \dot{\varepsilon}}{x_0 \gamma \beta + \bar{n}^T \bar{C} \bar{r}} = \left[\bar{C} - \frac{(\bar{C}\bar{r})(\bar{n}^T \bar{C})}{x_0 \gamma \beta + \bar{n}^T \bar{C} \bar{r}} \right] \dot{\varepsilon} = D \dot{\varepsilon} \quad (2-75\text{الف})$$

که

$$D = \left[\bar{C} - \frac{(\bar{C}\bar{r})(\bar{n}^T \bar{C})}{x_0 \gamma \beta + \bar{n}^T \bar{C} \bar{r}} \right] \quad (2-75\text{ب})$$

این رابطه توصیفی برای اپراتورهای سازگار می‌باشد. با توجه به (2-66) خواهیم داشت:

$$\gamma = \frac{\partial \phi^{n+1}}{\partial \xi} \quad \text{و} \quad \beta = -s^{n+1} - \Delta \lambda \frac{\partial s^{n+1}}{\partial \Delta \lambda}$$

بر اساس رابطه (2-56 هـ)؛ $(x, \gamma \beta)$ یک مدول پلاستیک تغییر یافته تحت عنوان k_p^* می‌باشد. لذا توصیف اپراتور مماسی سازگار مشابه شکل اپراتور مماسی پیوسته (2-68 الف) می‌باشد. با اپراتور مماسی الاستیک تغییر یافته \bar{C} ، جهت جریان \bar{r} ، جهت تسلیم \bar{n} و مدول پلاستیک k_p^* .

این مطلب با جایگزینی $\Delta \lambda \rightarrow 0$ ، $\bar{C} \rightarrow C$ ، $\bar{r} \rightarrow r$ ، $\bar{n} \rightarrow n$ و $k_p^* \rightarrow k_p$ می‌تواند تأیید شود. حتی اگر مدلی از یک قاعده جریان مرتبط (یعنی $r=n$) استفاده نماید، $\bar{r} \neq \bar{n}$ و بنابراین $\bar{C} \neq \bar{C}^T$ است، لذا D به طور کلی غیرممتقارن است. در برخی حالات ساده مانند مدل فون-میسز با سخت‌شدگی ایزوتروپیک، D می‌تواند متقارن نیز باشد.

۲-۳-۸- مدل فون-میسز و انتگرال‌گیری از آن

در بین قوانین ساختاری الاستوپلاستیک در دسترس مستقل از نرخ، جهت توصیف رفتار تنش- کرنش مواد، مدل‌هایی که سطح تسلیم فون-میسز را با قاعده جریان همبسته به کار می‌گیرند، پرکاربردترین و ساده‌ترین قوانین ساختاری می‌باشند. درحالی‌که مدل‌های

سخت‌شدگی ایزوتروپیک عموماً برای کاربردهای بارگذاری یکنواخت مناسب هستند. مدل‌های پیشرفته‌تر شامل مدل‌های سخت‌شدگی سینماتیکی غیرخطی و مدل‌های چندسطحی و ... نوعاً برای کاربردهای بارگذاری متناوب^۱ مناسب هستند.

در این بخش ابتدا مدل فون-میسز با سخت‌شدگی ایزوتروپیک و انتگرال‌گیری آن توسط روش CPPM ارائه می‌گردد و قواعد سخت‌شدگی خطی و غیرخطی مدنظر قرار می‌گیرد. با توجه به بازدهی محاسباتی بالا فرمول‌بندی s -space نسبت به σ -space انتگرال‌گیری در این فضا نیز ارائه می‌شود. اگرچه در صورت پیچیده بودن مدل تنها روش پیش‌رو σ -space می‌باشد.

همانطور که پیش‌تر نیز ذکر شد رابطه الاستیک تنش- کرنش به صورت زیر است:

$$\dot{\sigma} = C \dot{\varepsilon}^e \quad (2-76 \text{ الف})$$

که

$$C_{ijkl} = \left(K - \frac{2}{3}G \right) \delta_{ij} \delta_{kl} + G(\delta_{ik} \delta_{jl} + \delta_{il} \delta_{jk}) \quad (2-76 \text{ ب})$$

که G مدول برشی و k مدول بالک (حجمی)^۲ و δ دلتای کرونکر و C اپراتور مماسی

الاستیک پیوسته، $\dot{\sigma}$ نرخ تنش و $\dot{\varepsilon}^e$ نرخ کرنش الاستیک می‌باشد. دو نامتغیر تنش I و J

به صورت زیر تعریف می‌شوند:

$$I = \sigma_{kl} \delta_{kl} \quad (2-77 \text{ الف})$$

$$s_{ij} = \sigma_{ij} - \frac{1}{3} I \delta_{ij} \quad (2-77 \text{ ب})$$

^۱ Cyclic
^۲ Bulk

$$J = \left(\frac{1}{2} s_{kl} s_{kl} \right)^{\frac{1}{2}} \quad (2-77)$$

سطح تسلیم یک استوانه یکنواخت در فضای تنش می‌باشد که محور آن منطبق با محور قطری فضا^۱ است. تصویر آن در صفحه هشت‌وجهی یک دایره است که توسط رابطه زیر تعریف می‌شود:

$$\phi(s, k) = s_{ij} s_{ij} - \frac{2}{3} k^2 = 0 \quad (2-78)$$

که اسکالر k تنها متغیر سخت‌شدگی (PIV) در مدل می‌باشد که به صورت هندسی معرف سایز سطح تسلیم است. بنابراین مدل PIV به صورت زیر می‌باشد:

$$\xi \equiv k \quad (2-79)$$

با فرض قاعده جریان مرتبط، معادلات دخیل در رابطه ساختاری پلاستیک به صورت زیر می‌باشند:

$$\dot{\varepsilon}^p = \dot{\lambda} r ; r = \frac{\partial \psi}{\partial \sigma} , \dot{\lambda} = \frac{1}{K_p} n \dot{\sigma} ; n = \frac{\partial \phi}{\partial \sigma} , \phi = \psi ; r = n \quad (2-80)$$

که $\dot{\varepsilon}^p$ نرخ کرنش پلاستیک می‌باشد و $\dot{\lambda}$ پارامتر سازگاری (یا اندیس بارگذاری) است. الگوریتم با فرض عدم برابری ϕ با ψ استخراج می‌گردد. لذا به راحتی قابل توسعه به قواعد جریان غیرمرتبط نیز می‌باشد. دو قاعده سخت‌شدگی متفاوت نیز مد نظر قرار می‌گیرد:

۱- سخت‌شدگی ایزوتروپیک خطی

۲- سخت‌شدگی ایزوتروپیک غیرخطی (مبتنی بر رابطه هایپربولیک که پیشتر ارائه

گردید)

^۱Space Diagonal

نرخ تغییر k به صورت زیر می باشد:

(۸۱-۲ الف)

$$\dot{k} = g \xi^p$$

که ξ^p کرنش پلاستیک انحرافی تجمعی می باشد، برای مدل سخت شدگی خطی خواهیم داشت:

$$g = g_1 \quad (۸۱-۲ ب)$$

که g یک ثابت است.

برای مدل سخت شدگی غیرخطی رابطه های پربولیک زیر استفاده می شود:

$$k = k_0 + \frac{m(k_f - k_0)\xi^p}{(k_f - k_0) + m\xi^p} \quad (۸۱-۲ ج)$$

که k_0 (تنش تسلیم اولیه)، m (پارامتر سخت شدگی)، k_f (تنش خرابی) پارامترهای مدل هستند.

با مشتق گیری از (۸۱-۲ ج) و مقایسه نتایج با معادله (۸۱-۲ الف) داریم:

$$g = g_2 = \frac{m(k_f - k_0)^2}{[(k_f - k_0) + m\xi^p]^2} = \frac{a_1}{(a_2 + b\xi^p)^2}; \quad (۸۱-۲ د)$$

$$b = m ; a_2 = k_f - k_0 ; a_1 = m(k_f - k_0)^2 = ba_2^2$$

که

$$\dot{\xi}^p = \left[\frac{1}{2} \dot{e}_{ij}^p \dot{e}_{ij}^p \right]^{\frac{1}{2}} ; \dot{e}_{ij}^p = \dot{\varepsilon}_{ij} - \frac{1}{3} \varepsilon_{kk} \delta_{ij} \quad (۸۱-۲ هـ)$$

از (۸۰-۲) و (۸۱-۲ هـ):

$$\dot{\xi}^p = \left[\frac{1}{2} \dot{e}_{ij}^p \dot{e}_{ij}^p \right]^{\frac{1}{2}} = \left[\frac{1}{2} r_{ij}^d r_{ij}^d \right]^{\frac{1}{2}} \dot{\lambda} = \bar{r}^d \dot{\lambda} \quad ; \quad \bar{r}^d = \left[\frac{1}{2} r_{ij}^d r_{ij}^d \right]^{\frac{1}{2}} \quad (2-82\text{الف})$$

که Γ_{ij}^d بخش انحرافی Γ_{ij} می باشد.

$$r_{ij}^d = r_{ij} - \frac{1}{3} r_{pp} \delta_{ij} \quad (2-82\text{ب})$$

از ترکیب (2-81الف) و (2-82الف) برای مدل های سخت شدگی خطی و غیر خطی

خواهیم داشت:

$$\dot{k} = g \bar{r}^d \dot{\lambda} = \bar{g} \dot{\lambda} \quad (2-82\text{ج})$$

بنابراین تابع سخت شدگی در معادلات، یک اسکالر به صورت زیر می باشد:

$$s = \bar{g} = g \bar{r}^d \quad (2-82\text{د})$$

حال گرادیان های تابع سطح نسبت به متغیرها را محاسبه می کنیم، با مشتق گیری از

(2-77ب) داریم:

$$\frac{\partial s_{kl}}{\partial \sigma_{ij}} = \delta_{ki} \delta_{lj} - \frac{1}{3} \delta_{ij} \delta_{kl} \quad (2-83\text{الف})$$

با مشتق گیری از ϕ نسبت به s_{ij} خواهیم داشت:

$$\frac{\partial \phi}{\partial s_{kl}} = 2 \delta_{ik} \delta_{jl} s_{ij} = 2 s_{kl}$$

حال با استفاده از دو معادله فوق:

$$\begin{aligned} r_{ij} &= \frac{\partial \phi}{\partial \sigma_{ij}} = \frac{\partial \phi}{\partial s_{kl}} \frac{\partial s_{kl}}{\partial \sigma_{ij}} \\ &= 2 s_{kl} \left(\delta_{ki} \delta_{lj} - \frac{1}{3} \delta_{ij} \delta_{kl} \right) \\ &= 2 s_{ij} \quad (s_{kk} = 0) \end{aligned} \quad (2-83\text{ب})$$

مشاهده می‌شود که Γ_{ij} به صورت خالص انحرافی^۱ است. (یعنی بخش حجمی آن صفر

است) بنابراین:

$$r_{ij}^d = r_{ij} \quad (۲-۸۳ج)$$

با توجه به (۲-۸۳ب) در صفحه هشت وجهی، Γ_{ij} و S_{ij} هم‌خط^۲ هستند. با ترکیب (۲-

۸۲ الف) و (۲-۸۳ب) و (۲-۸۳ج) خواهیم داشت:

$$\bar{r}^d = \left[\frac{1}{2} r_{ij}^d r_{ij}^d \right]^{\frac{1}{2}} = \left[\frac{1}{2} r_{ij} r_{ij} \right]^{\frac{1}{2}} = 2 \left[\frac{1}{2} s_{ij} s_{ij} \right]^{\frac{1}{2}} = 2J \quad (۲-۸۴)$$

مشتق ϕ نسبت به k به صورت زیر است:

$$\frac{\partial \phi}{\partial k} = -\frac{4}{3}k \quad (۲-۸۵)$$

از معادله سازگاری و استفاده از (۲-۸۳ج) و (۲-۸۵) خواهیم داشت:

$$K_p = -(\partial_{\xi} \phi)^T s \quad (۲-۸۶الف)$$

$$K_p = \frac{4}{3} kg \bar{r}^d \quad (۲-۸۶ب)$$

۲-۴- جمع بندی

در این فصل بر اساس معادلات حاکم بر مکانیک جامدات مساله مقدار مرزی / اولیه شامل معادلات حاکم، شرایط مرزی، قوانین ساختاری و روابط کرنش- جابجایی برای حالت دو بعدی استخراج شد. سپس مساله با استفاده از روش اجزاء محدود در حوزه الاستیک حل و پس از آن به حوزه الاستوپلاستیک توسعه داده شد. در این راستا با طبقه بندی رفتارهای ساختاری، روشهای عددی حل بویژه در مساله پلاستیک مستقل از نرخ مبتنی بر معیار تسلیم فون-میسز ارائه شد.

فصل سوم

تحليل آيزوژنومترك

تحلیل آیزوژئومتریک

۳-۱-مقدمه

در این بخش ب-اسپلاین^۱ ها و نربزها^۲ بعنوان روشی نوین در توصیف هندسی اجسام معرفی می‌شوند و علت انتخاب آنها بعنوان توابع پایه، هم در بخش توصیف هندسی و هم در بخش آنالیز در قالب تحلیل آیزوژئومتریک^۳ نشان داده خواهد شد.

در ادامه تفاوت‌های اساسی بین تحلیل مبتنی بر اجزای محدود (FEM) کلاسیک و آیزوژئومتریک (IGA) ارائه شده و چگونگی حل معادلات الاستو پلاستیک مبتنی بر گسسته‌سازی با استفاده از توابع پایه نربز و ملاحظات مربوط بیان می‌شود. در پایان نیز قابلیت‌های نرم افزار متلب در حل عددی معادلات حاصل ارائه می‌گردد. مرجع اصلی موضوعات این فصل [۳،۱۵] است اما از مراجع [۱۶،۱۷،۱۸،۱۹،۲۰،۲۱] نیز در تکمیل بحث استفاده شده است.

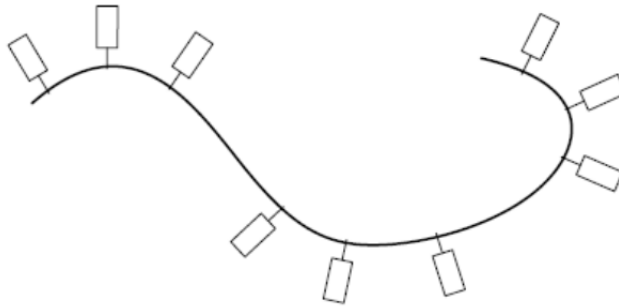
^۱ B-Spline

^۲ NURBS

^۳ Isogeometric Analysis (IGA)

۳-۲- ب- اسپیلاین

اسپیلاین‌ها برای اولین بار جهت ساخت کشتی‌ها، پیش از عصر مدل‌سازی کامپیوتری مورد استفاده قرار گرفت. معماران دریایی از اسپیلاین‌ها که نوارهای باریک و منعطفی از چوب بودند؛ جهت رسم منحنی‌های هموار طرح خطوط کشتی استفاده می‌کردند. وزنه‌های فلزی به عنوان زبانه طوری قرار می‌گرفتند که اسپیلاین‌ها شکل مورد نظر را داشته باشند. بین زبانه‌ها، اسپیلاین‌ها با فرض حداقل انرژی کرنشی شکل گرفته و هندسه پیوسته (C^2) با منحنی‌های هموار را شکل می‌دهد. (شکل ۳-۱).



شکل (۳-۱) اسپیلاین نگه‌داشته شده با زبانه‌ها جهت ایجاد شکل طراحی هموار مدنظر

با ظهور کامپیوتر؛ طراحی هندسی به کمک کامپیوتر (CAGD) ^۱ ظهور کرد. CAGD با تولید منحنی‌ها و سطوح هموار که عموماً باید مجموعه بزرگی از محدودیت‌ها را ارضا نمایند، مرتبط است. وقتی از چند جمله‌ای‌ها استفاده می‌شود این امر مستلزم دقت‌های بسیار بالاست. زیرا چند جمله‌ای‌ها با درجه p می‌تواند $p+1$ محدودیت را ارضا نماید. چند جمله‌ای‌های با درجه بالا به لحاظ پردازش کم بازده هستند و می‌توانند ناپایدار شوند و در جایی که کنترل محلی مورد نظر است، تغییرات به طور کلی رخ دهد. به علاوه وقتی که تغییرات محلی رخ می‌دهد پیوستگی باید حفظ شود.

^۱Computer Aided Geometric Design

این موضوعات به صورت ریاضی با تعریف اسپیلاین‌ها منتفی می‌گردد؛ یعنی تابعی از المان‌های چند جمله‌ای که با سطح پیوستگی مشخص بین المان‌ها به هم متصل شده‌اند. پیوستگی مورد نیاز به صورت مستقیم در پایه‌ها ایجاد شده است که اسپیلاین‌های پایه یا ب-اسپیلاین‌ها را شکل می‌دهد. پایه‌های طبیعی که جهت توصیف اسپیلاین‌ها استفاده می‌شوند (توابع پایه ب-اسپیلاین) انتخاب آزادانه پیوستگی بین المان‌ها از C^0 تا ماکزیمم C^{p-1} را فراهم می‌کند. پیوستگی منحنی الزام مهمی در طراحی است.

کاربرد آنها در مدل‌سازی اشکال آزاد^۱ آسان است، اما در نمایش دقیق برخی اشکال ساده هندسی مانند دوایر و بیضی‌ها ناتوان هستند. به همین دلیل استاندارد متداول در CAD، تعمیم یافته ب-اسپیلاین‌ها یعنی نریز^۲ می‌باشد. آن‌ها توابع گویا از ب-اسپیلاین‌ها هستند و تمامی خواص مطلوب آن‌ها را دارا هستند. در واقع توسعه‌ای بر ب-اسپیلاین است به نحوی که امکان نمایش دقیق مقاطع مخروطی را فراهم می‌کند.

۳-۲-۱- حوزه یا دامنه پارامتری

ب-اسپیلاین‌ها در فضای پارامتری Ω تعریف می‌شوند. این فضای پارامتری متشکل از زیردامنه‌ها^۳ به جای المان‌ها می‌باشد. آن‌ها را می‌توان به عنوان ماکروالمان تصور نمود. دامنه پارامتری توسط بردارهای گره‌ای^۴ (Ξ) تعریف می‌شود. بردار گره‌ای به صورت زیر معرفی می‌گردند:

$$\Xi = \{(\xi_1, \dots, \xi_{p+1} = a), \xi_{p+2}, \dots, \xi_n, (\xi_{n+1}, \dots, \xi_{n+p+1} = b)\} \quad (1-3)$$

که $\xi_i \in \mathbb{R}$ معرف i امین گره و i اندیس گره بوده و $i = 1, 2, \dots, n+p+1$ که n تعداد توابع پایه و p درجه این تابع می‌باشد. فضاهای پارامتری با ابعاد بزرگ‌تر با استفاده از

^۱ Free Form

^۲ Non Uniform B-Spline

^۳ Patches

^۴ Knot vector

ضرب تانسوری بردارهای گره‌ای $1D$ ساخته می‌شوند. لذا دامنه پارامتری بوسیله مجموعه $[a, b]^d \in \mathbb{R}^d$ با d برابر با بعد فضا تعریف می‌شود. با استفاده از بردار گره‌ای می‌توان توابع پایه ب-اسپیلاین از مرتبه $p+1$ که توابع چندجمله‌ای تکه‌ای از درجه p هستند را ساخت. تکرار گره‌ها مجاز است بنابراین $\xi_1 \leq \xi_2 \leq \dots \leq \xi_{n+p+1}$. گره‌ای که k بار تکرار می‌شود با کثرت k نامیده می‌شود.

در ادبیات هندسه محاسباتی بین درجه 2 و مرتبه 3 تفاوت است در واقع مرتبه معادل درجه بعلاوه یک می‌باشد ($o = p + 1$). گره‌هایی که با فواصل برابر قرار گیرند، بردار گره‌ای یکنواخت را شکل می‌دهند و در غیر این صورت بردار گره‌ای غیریکنواخت شکل می‌گیرد. بردار گره‌ای باز 4 است بدین مفهوم که اولین و آخرین گره‌ها $p+1$ بار تکرار می‌شوند.

۳-۲-۲- توابع پایه ب-اسپیلاین

توابع پایه ب-اسپیلاین به صورت برگشتی با شروع از ثابت‌های تکه‌ای 5 تعریف می‌شود [۳۶].

$$B_{i,0}(\xi) = \begin{cases} 1 & \text{اگر } \xi_i \leq \xi < \xi_{i+1} \\ 0 & \end{cases} \quad (۲-۳)$$

برای $p = 1, 2, 3, \dots$ تعریف به صورت زیر است:

$$B_{i,p}(\xi) = \frac{\xi - \xi_i}{\xi_{i+p} - \xi_i} B_{i,p-1}(\xi) + \frac{\xi_{i+p+1} - \xi}{\xi_{i+p+1} - \xi_{i+1}} B_{i+1,p-1}(\xi) \quad (۳-۳)$$

^۱ Multiplicity
^۲ Degree
^۳ Order
^۴ Open knot vector
^۵ Piecewise constants

بنابراین با یک بردار گره‌ای و درجه چندجمله‌ای داده شده، یک فضای تابع پایه ب-

اسپیلین (B) به صورت یکتای زیر با استفاده از الگوریتم بازگشتی تعریف می‌شود:

$$B \equiv B(\Xi; p) := \text{span}\{B_{i,p}\}_{i=1}^n \quad (4-3)$$

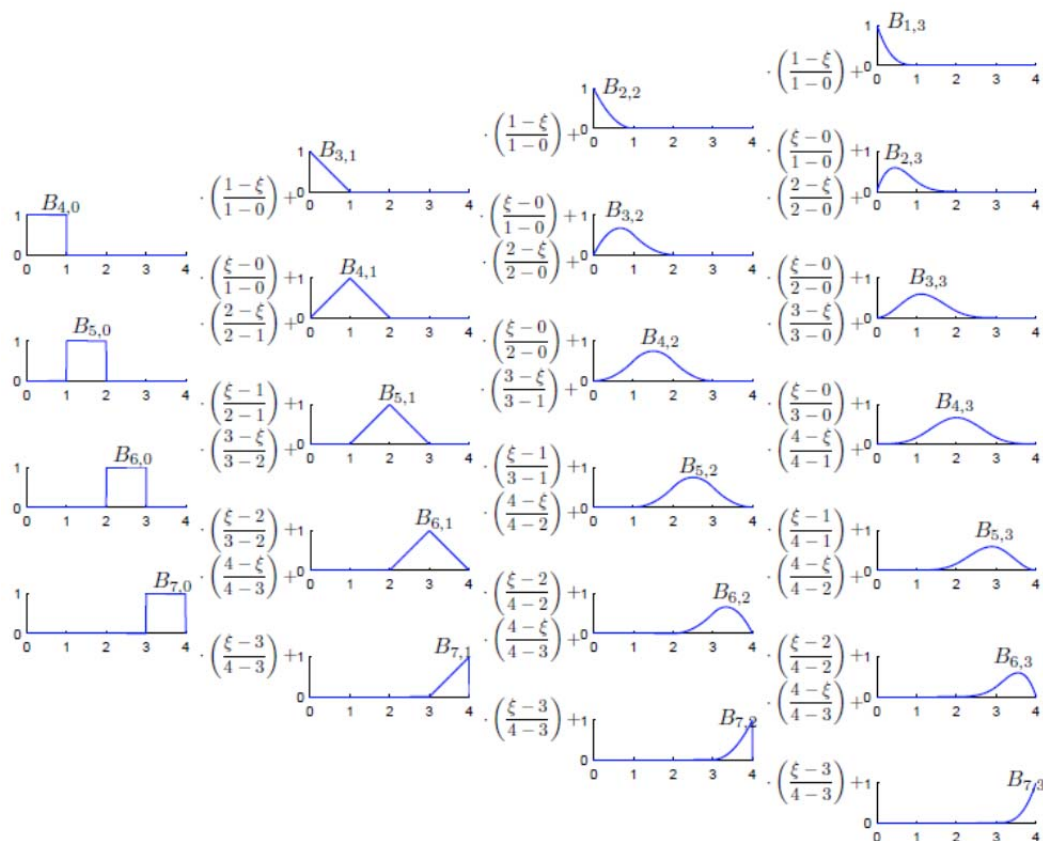
فضای پایه ب-اسپیلین با بعد بالاتر با استفاده از ضرب تانسوری توابع پایه ب-اسپیلین

تک متغیره به صورت زیر ساخته می‌شود:

$$B \equiv B(\Xi; H, \dots, p, q, \dots) := \text{span}\{B_{i,p} \otimes B_{j,q} \otimes \dots\}_{i,j,\dots=1}^{n,m,\dots} \quad (5-3)$$

نتیجه روابط (۲-۳) و (۳-۳) برای بردار گره‌ای $\Xi = \{0,0,0,0,1,2,3,4,4,4,4\}$ در

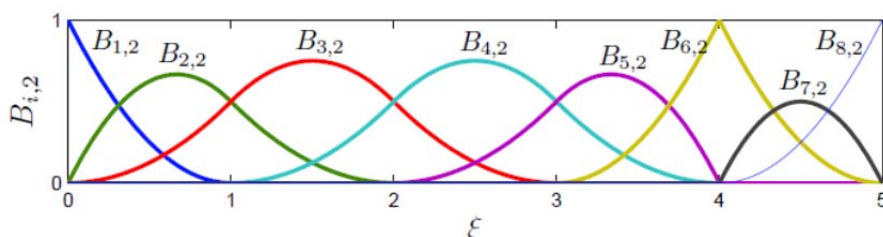
شکل (۲-۳) نشان داده شده است.



شکل (۲-۳) تولید بازگشتی توابع پایه درجه ۳ برای بردار گره‌ای

$$\Xi = \{0,0,0,0,1,2,3,4,4,4,4\} \quad \square$$

مثالی از توابع پایه دو مجذوری برای یک بردار گره‌ای غیریکنواخت و باز در شکل (۳-۳) نشان داده شده است. در این مثال تعداد گره‌های تکرار شده در انتهای توالی و همچنین در $\xi = 6$ که پیوستگی در آنجا پایین آمده و به C^0 رسیده، نشان داده شده است.



شکل (۳-۳) توابع پایه درجه دو برای بردار گره‌ای غیریکنواخت

$$\Xi = \{0,0,0,1,2,3,4,4,5,5,5\} \quad \square$$

توابع پایه دیگر پیوسته C^1 هستند. درجه توابع پایه p ، حداکثر $p-1$ مشتق پیوسته دارد. یک گره تکرار شونده عدد مشتقات پیوسته را یک واحد کاهش می‌دهد. وقتی که تعداد برابر با p باشد، تابع پایه، نقطه ای^۱ نامیده می‌شود. توابع پایه خواص مهم زیر را دارند:

$$1- \text{ غیرمنفی هستند } \forall i, p, a \leq \xi \leq b \quad B_{i,p}(\xi) \geq 0$$

$$2- \text{ روی یک بازه گره‌ای } (\xi_i, \xi_{i+1}), \text{ تابع غیرصفر وجود دارد}$$

$$3- \sum_{i=1}^n B_{i,p}(\xi) = 1$$

۴- توابع پایه، پایه‌های مستقل خطی مناسب برای آنالیز را شکل می‌دهند.

$$5- B_{0,p}(0) \equiv B_{n,p}(1) \equiv 1$$

^۱Nodal

۶- محدوده کوچکی را پوشش میدهد (ξ_i, ξ_{i+1}) . توابع با درجات بالاتر نواحی بیشتری از دامنه را می پوشانند. این افزایش تاثیری روی پهنای باند جواب سیستم خطی در عملگرهای عددی، ندارد. کل توابعی که در همپوشانی یک محدوده از دامنه شرکت دارند برابر با $2p+1$ است.

۳-۲-۳- مشتقات ب-اسپیلاین ها

مشتقات توابع پایه ب-اسپیلاین با استفاده از توابع پایه مرتبه پایین قابل تولید است [۲۷].

$$\frac{d^k}{d\xi^k} B_{i,p}(\xi) = \frac{p!}{(n-p)!} \sum_{j=0}^k \alpha_{k,j} B_{i+j,p-k}(\xi) \quad (۶-۳)$$

با

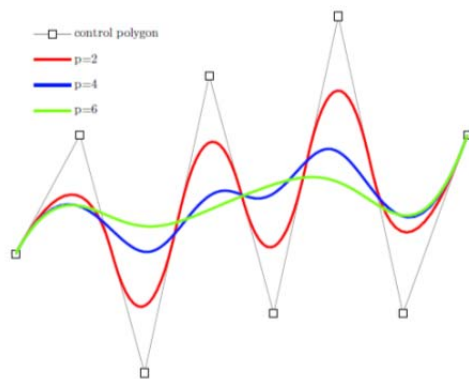
$$\alpha_{0,0} = 1$$

$$\alpha_{k,0} = \frac{\alpha_{k-1,0}}{\xi_{i+p-k+1} - \xi_i}$$

$$\alpha_{k,j} = \frac{\alpha_{k-1,j} - \alpha_{k-1,j-1}}{\xi_{i+p+j-k+1} - \xi_{i+j}} \quad j = 1, \dots, k-1 \quad (۷-۳)$$

$$\alpha_{k,k} = \frac{-\alpha_{k-1,k-1}}{\xi_{i+p+1} - \xi_{i+k}}$$

وقتی مخرج بدلیل گره‌های تکراری صفر شود، ضرایب صفر تعریف می‌شود.



شکل (۴-۳) خاصیت تقلیل تغییرات با افزایش درجه منحنی

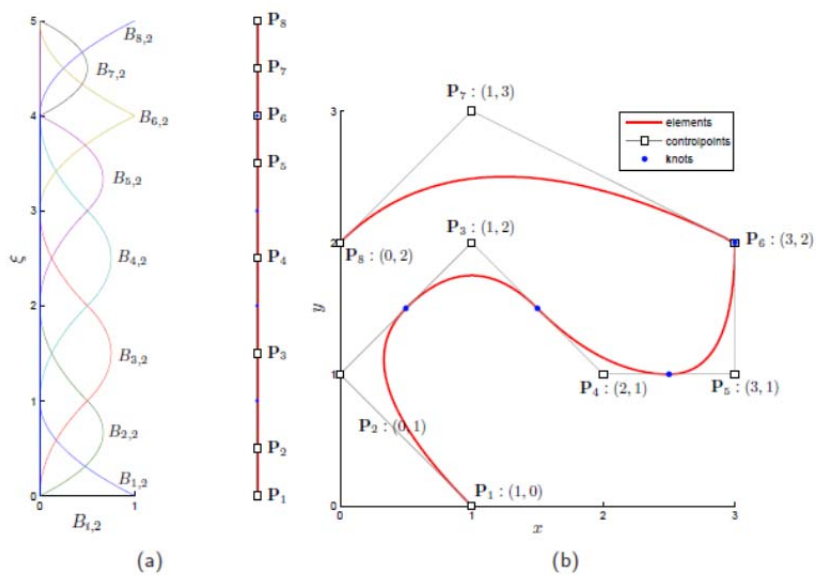
۴-۲-۳- منحنی‌های ب-اسپیلاین

منحنی‌های ب-اسپیلاین به وسیله ضرایب توابع پایه (نقاط کنترلی p_i) تعریف می‌شوند. منحنی در R^d با ترکیب خطی مجموعه‌ای از n توابع پایه $B_{i,p}$ و $i=1,2,3,\dots,n$ و نقاط کنترلی متناظر آن‌ها $p_i \in R^d$ و $i=1,2,3,\dots,n$ ساخته می‌شود. منحنی چند جمله‌ای تکه‌ای ب-اسپیلاین به صورت زیر می‌باشد:

$$C(\xi) = \sum_{i=1}^n B_{i,n} P_i \quad ; \quad a \leq \xi \leq b \quad (۸-۳)$$

با داشتن درجه p ، بردار گره ξ و مجموعه نقاط کنترلی p_i ، منحنی تعریف می‌شود. منحنی $C(\xi)$ یک تابع مقدار داده شده برداری^۱ از یک پارامتر است که یک قسمت خطی را به فضای سه بعدی اقلیدوسی یا به شکل رسمی‌تر $C: \Omega' \rightarrow \Omega$ نگاشت می‌کند. این مطلب در شکل (۵-۳) نشان داده شده است.

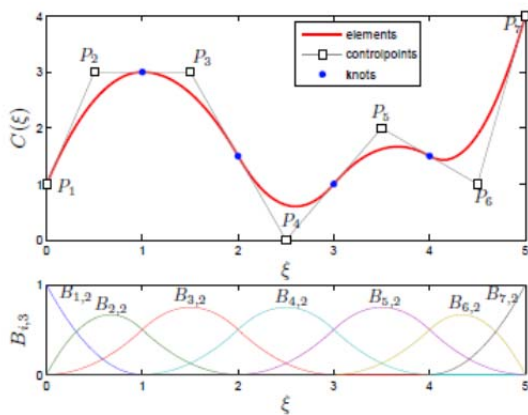
^۱ Vector-Valued



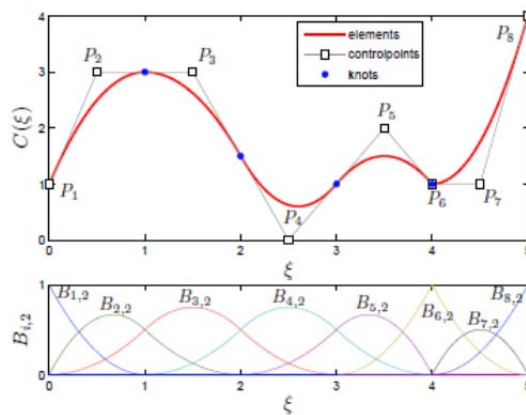
شکل (۳-۵) ایجاد یک منحنی (الف) دامنه پارامتری Ω' و شبکه کنترلی p

(ب) ترکیب خطی توابع پایه و نقاط کنترلی که منحنی را شکل می‌دهد.

شکل (۳-۶ ب) مثالی از یک منحنی را با استفاده از توابع پایه شکل (۳-۳) نشان می‌دهد. باید توجه نمود که منحنی مشابه توابع پایه خود، در اولین و آخرین نقطه کنترلی به جهت باز بودن بردار گره‌ای و در نقطه کنترلی p_6 به جهت تعدد $\xi = 4$ درونیابی شده است، بعلاوه منحنی در اولین و آخرین و ششمین نقطه‌ی کنترلی بر چندضلعی کنترلی مماس است.



(a) $p = 2, \Xi = \{0, 0, 0, 1, 2, 3, 4, 5, 5, 5\}$



(b) $p = 2, \Xi = \{0, 0, 0, 1, 2, 3, 4, 4, 5, 5, 5\}$

شکل (۶-۳) الف) یک منحنی درجه دو با بردار گره‌ای یکنواخت (ب) یک منحنی که در $\xi = 4$ دوبار تکرار شده است $k = 2$. کاهش پیوستگی منحنی در p_6 ناشی از تکرار در $\xi = 4$ قابل توجه است.

مشتقات منحنی را به آسانی با مشتق‌گیری از توابع پایه می‌توان محاسبه نمود:

$$C'(\xi) = \sum_{i=1}^n \frac{dB_{i,p}(\xi)}{d\xi} P_i \quad ; \quad a \leq \xi \leq b \quad (9-3)$$

منحنی‌های ب-اسپیلاین خواص مهم زیر را دارند:

- ۱- این خواص به صورت مستقیم از خواص توابع پایه آنها حاصل می‌شود، مانند پایه‌های خود منحنی ب-اسپیلاین از درجه p ، $p-1$ مشتق پیوسته دارد (در غیاب گره‌های تکراری یا نقاط کنترلی) و حرکت یک نقطه کنترلی بیش از $p+1$ المان منحنی را متأثر نمی‌کند (پشتیبانی فشرده^۱)
- ۲- تکرار یک گره یا نقطه کنترلی (k بار)، تعداد مشتق پیوسته را k بار کاهش می‌دهد

^۱ Compact support

۳- غیرمنفی بودن پایه‌ها منجر به خاصیت پوسته محدب^۱ می‌شود، اگر

$(\xi \in [\xi_1, \xi_{i+1}])$ باشد، آنگاه $C(\xi)$ در درون پوسته محدب حاصل از نقاط

کنترلی p_{i-p}, \dots, p_i قرار خواهد گرفت.

۴- خاصیت نزولی تغییرات با افزایش درجه (شکل (۳-۴)). منحنی هرگز بیش از

چندضلعی کنترلی خود تاب نخواهد داشت، هر خط راست منحنی را کمتر از نقاط

کنترلی آن قطع می‌کند.

۵- خاصیت تغییرناپذیری وابسته^۲: تبدیلات وابسته از منحنی ب-اسپیلاین مستقیماً

به نقاط کنترلی اعمال می‌شود.

۳-۲-۵- سطوح و احجام ب-اسپیلاین

سطح ب-اسپیلاین توسط شبکه کنترلی p_{ij} و $i = 1, 2, \dots, n$ و $j = 1, 2, \dots, m$ و

بردارهای گره‌ای $H = \{\eta_1, \eta_2, \dots, \eta_{m+p+1}\}$ ، $\Xi = \{\xi_1, \xi_2, \dots, \xi_{n+p+1}\}$ تعریف می‌شود.

ضرب تانسوری توابع پایه $B_{i,p}(\xi)$ ، $B_{j,q}(\eta)$ با شبکه کنترلی به یک سطح ب-اسپیلاین که

به صورت $S: \Omega' \rightarrow \Omega$ با نداشت زیر تعریف می‌شود، منجر می‌گردد.

$$S(\xi, \eta) = \sum_{i=1, j=1}^{n, m} B_{i,p}(\xi) B_{j,q}(\eta) P_{i,j} \quad (۳-۱۰)$$

نکته حائز اهمیت آنست که توابع پایه روی بردار گره‌ای خود تعریف می‌شوند، بنابراین

می‌توانند به شکل‌های متفاوتی پارامتری شوند. بعلاوه می‌توان برای هر جهت مختصات

درجه متفاوتی انتخاب نمود.

^۱ Conven hull

^۲ Affine Invariance

متعاقب سطح ب-اسپیلاین، حجم ب-اسپیلاین به صورت حاصل ضرب سه تابع پایه تعریف می شود. با یک شبکه کنترلی داده شده $P_{i,j,k}$ و $i = 1, 2, \dots, n$, $j = 1, 2, \dots, m$, $k = 1, 2, \dots, \ell$ بردارهای $\Xi = \{\xi_1, \xi_2, \dots, \xi_{n+p+1}\}$ ، $H = \{\eta_1, \eta_2, \dots, \eta_{m+p+1}\}$ ، $Z = \{\zeta_1, \zeta_2, \dots, \zeta_{\ell+r+1}\}$ حجم ب-اسپیلاین به صورت $v: \Omega' \rightarrow \Omega$ با نگاشت زیر تعریف می شود:

$$V(\xi, \eta, \zeta) = \sum_{i=1, j=1, k=1}^{n, m, \ell} B_{i,p}(\xi) B_{j,p}(\eta) B_{k,r}(\zeta) P_{i,j,k} \quad (11-3)$$

۳-۲-۶- درون یابی منحنی کلی^۱

به منظور درج شرایط دریچلت^۲ شکلی از درون یابی مورد نیاز است. لذا درون یابی منحنی کلی مورد استفاده قرار می گیرد. وقتی از چند جمله ای های لاگرانژ استفاده می گردد، شرط دریچلت را می توان مستقیماً وارد گره ها نمود. چون ب-اسپیلاین ها قابلیت درونیابی^۳ ندارند، یک سیستم باید حل شود تا نقاط کنترلی درست، به نحوی که شرط دریچلت درون یابی شود، یافت گردد.

جهت درون یابی مجموعه ای از نقاط باید انتخاب شود. انتخاب های استاندارد نقاط Greville absciasse یا Marsden-schoenberg می باشند که به صورت متوسط مقادیر گره ای متوالی به صورت زیر تعریف می شود:

$$\xi_j^* = \frac{1}{p+1} \sum_{i=j+1}^{p+j+1} \xi_i \quad (12-3)$$

^۱ Global Curve Interpolation

^۲ Dirichlet

^۳ interpolatory

نقاط G.A. بر موقعیت نقاط کنترلی در فضای پارامتری منطبق هستند، بنابراین انتخاب ایده‌آل برای درونیابی می‌باشند. حال اگر تابع $g(x)$ با بردار گره‌ای $\bar{\xi}$ و نگاشت $x = C(\xi)$ از هندسه ب-اسپیلاین یا نربز داده شده باشد؛ درونیابی منحنی کلی به صورت زیر تعریف می‌شود:

$$g(C(\xi_j^*)) = \sum_{i=1}^n B_{i,p}(\xi_i^*) g_i \quad (13-3)$$

نتیجه سیستمی از معادلات خطی $n*n$ قابل حل می‌باشد.

۳-۳- بهبود^۱

توابع ب-اسپیلاین را می‌توان بوسیله سه نوع بهبود که دوتای آن‌ها مترادف با FEM استاندارد هستند، غنی نمود که شامل درج گره^۲، بالابردن درجه^۳ و بالابردن درجه و پیوستگی می‌باشند. دوتای اول معادله بهبود h و p در روش اجزا محدود است و آخری بهبود k است که معادلی در روش اجزاء محدود ندارد.

۳-۳-۱- درج گره: بهبود- h

درج گره یا بهبود h در FEM کلاسیک پایه‌ها را با بالابردن وضوح فضای پارامتری غنی می‌کند. با یک بردار گره‌ای داده شده $\bar{\xi} = \{\xi_1, \xi_2, \dots, \xi_{n+p+1}\}$ و معرفی یک بردار گره‌ای توسعه یافته $\bar{\xi} = \{\xi_1 = \xi_1, \xi_2, \dots, \xi_{n+m+p+1} = \xi_{n+p+1}\}$ آنچنان که $\bar{\xi} \subset \bar{\xi}$ باشد و $n+m$ توابع پایه جدید که به صورت معادلات (۳-۲) و (۳-۳) و اعمال آن‌ها به شکل

^۱ Refinement

^۲ Knot Insertation

^۳ Degree Elevation

می‌گیرند انجام می‌شود. $(n+m)$ نقاط کنترلی جدید $\bar{P} = \{\bar{P}_1, \bar{P}_2, \dots, \bar{P}_{n+m}\}^T$ از ترکیب خطی نقاط کنترلی اصلی $P = \{P_1, P_2, \dots, P_n\}^T$ به صورت زیر شکل می‌گیرند:

$$\bar{P} = \alpha_i P_i + (1-\alpha) P_{i-1} \quad (14-3)$$

که

$$\alpha_i = \begin{cases} 1 & ; & 1 \leq i \leq k-p \\ \frac{\xi_i - \xi_i}{\xi_{i+p} - \xi_i} & ; & k-p+1 \leq i \leq k \\ 0 & ; & k+1 \leq i \leq n+p+2 \end{cases} \quad (15-3)$$

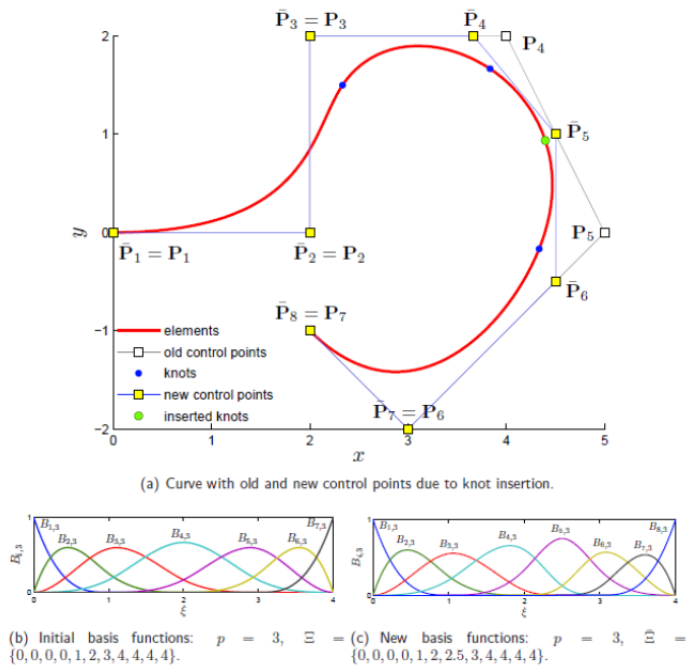
باید توجه نمود که انتخاب نقاط کنترلی به صورت معادلات فوق پیوستگی منحنی را حفظ می‌کند. شکل (۷-۳) مثالی از درج گره را نشان می‌دهد. بردار گره‌ای اولیه $\Xi = \{0,0,0,0,1,2,3,4,4,4,4\}$ است و یک گره جدید در $\xi = 2.5$ وارد می‌شود.

علاوه بر افزایش وضوح فضای پارامتری، درج گره می‌تواند جهت کنترل پیوستگی پایه‌ها با تکرار گره‌ها نیز به کار رود. این یکی از وجوه تمایز مشخصات پایه‌های اسپلاین نسبت به پایه‌های FEM کلاسیک است.

۳-۳-۲- ارتقاء درجه^۱: بهبود- p

ارتقاء درجه؛ روش دوم غنی سازی پایه هاست و معادل بهبود- p در FEM می‌باشد. این رویه با تقسیم مؤثر منحنی به المان‌های بیزیر^۲ با درج گره بر اساس معادلات (۱۴-۳) و (۳-۱۵) جهت بالابردن تعدد درجه چندجمله‌ای‌ها انجام می‌شود.

^۱ Degree Elevation
^۲ Bezier



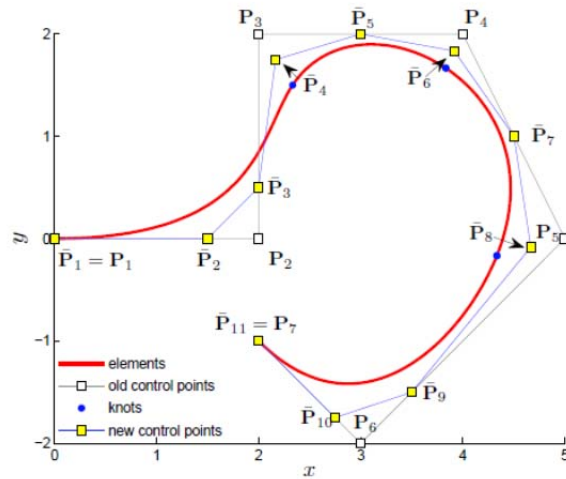
شکل (۷-۳) مثالی از درج گره روی یک منحنی ب-اسپلاین درجه ۳

آنگاه مرتبه چندجمله‌ای‌ها روی هر بخش مجزا بالا برده می‌شود. نهایتاً گره‌های اضافه شده جهت ایجاد ب-اسپلاین جدید، حذف می‌شوند. بر اساس آنچه گفته شد؛ پایه‌ها $p-k$ مشتق پیوسته دارند لذا افزایش p افزایش k را ایجاد می‌کند که باعث می‌شود پایه‌ها پیوستگی خود را حفظ کنند. مثالی از ارتقاء درجه در شکل (۸-۳) نشان داده شده است.

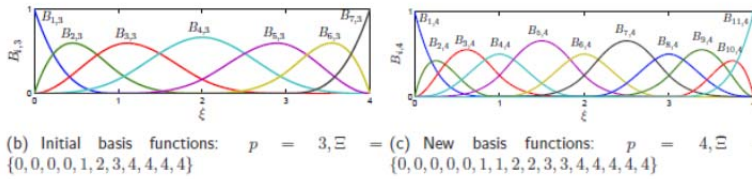
۳-۳-۳ ارتقاء پیوستگی و درجه: بهبود k

نوع بسیار قدرتمند بهبود که مختص پایه‌های ب-اسپلاین می‌باشد؛ بهبود k نام دارد. به صورت ابتدایی بهبود k نوع متفاوتی از ارتقاء مرتبه است و مزایایی دارد که در درج گره و

ارتقاء درجه دیده نمی‌شود. درج یک مقدار گره‌های یکتا $\bar{\xi}$ بین دو گره مجزا در یک منحنی درجه p ، عدد مشتقات پیوسته در $\bar{\xi}$ را به $p-1$ کاهش می‌دهد.



(a) Curve with old and new control points due to degree elevation.



(b) Initial basis functions: $p = 3, \Xi = \{0, 0, 0, 0, 1, 2, 3, 4, 4, 4, 4\}$ (c) New basis functions: $p = 4, \Xi = \{0, 0, 0, 0, 0, 1, 1, 2, 2, 3, 3, 4, 4, 4, 4, 4\}$

شکل (۸-۳) ارتقاء درجه منحنی ب-اسپلاین مرتبه ۳ با بردار گره‌های $\Xi = \{0, 0, 0, 0, 1, 2, 3, 4, 4, 4, 4\}$ و شبکه کنترلی p منجر به منحنی مرتبه ۴ با غنی‌سازی بردار گره‌های $\Xi = \{0, 0, 0, 0, 0, 1, 1, 2, 2, 3, 3, 4, 4, 4, 4, 4\}$ و شبکه کنترلی \bar{p} شده است.

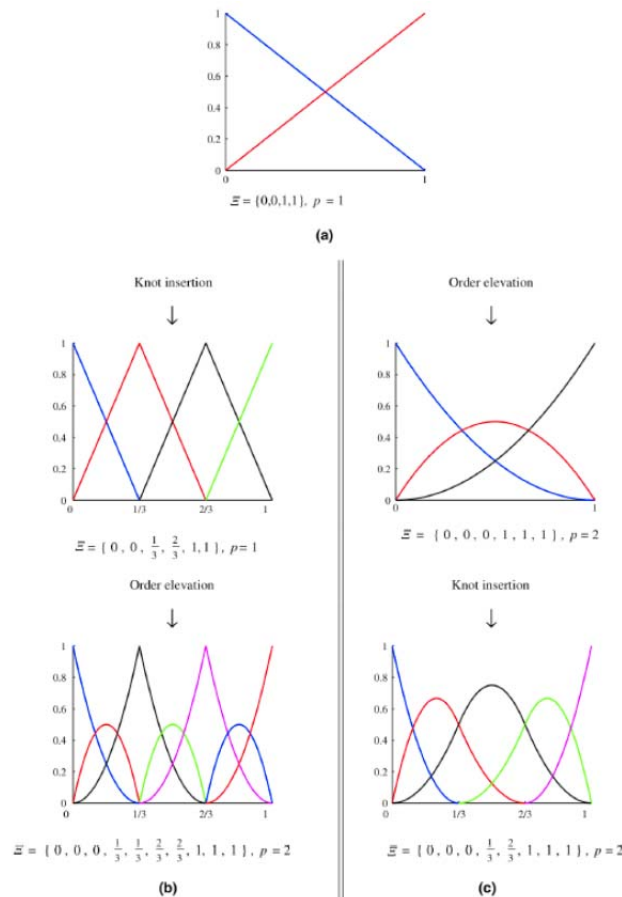
ارتقاء درجه به q با استفاده از رویه بخش $3-3-2$ تعدد گره‌ها را افزایش داده به نحوی که عدم پیوستگی در مشتق p پایه‌ها حفظ می‌شود. بنابراین پایه‌ها کماکان $p-1$ مشتقات پیوسته در $\bar{\xi}$ دارد. فرآیند بالا می‌تواند به نحو دیگری انجام شود؛ ابتدا درجه منحنی به q ارتقاء یابد و سپس گره یکتای $\bar{\xi}$ درج گردد. حال پایه‌ها مشتقات پیوسته $q-1$ در $\bar{\xi}$ دارند. این فرآیند بهبود k نامیده می‌شود.

تکرار این رویه با استفاده از بهبود- k با یک المان و $p+1$ تابع پایه شروع می‌شود. ابتدا درجه r بار با اضافه کردن یک تابع پایه در هر بار ارتقاء یافته و سپس گره‌ها درج شده تا اینکه تعداد المان‌ها $n-p$ گردد. این منتج به $n+r$ تابع پایه که همگی $r+p-1$ مشتق پیوسته دارند می‌شود. باید توجه نمود که $n+r \ll (r+1)n - rp$ بویژه وقتی که به ابعاد بالاتر

می‌رویم که سبب افزایش توان از مرتبه d می‌شود $(n+r)^d \ll ((r+1)n - rp)^d$

بعلاوه بهبود- k سبب مشتقات هموارتر می‌شود که منجر به نمایش دقیق‌تر مقادیر

فیزیکی می‌گردد.



شکل (۹-۳) بهبود- k در مقابل بهبود- p (الف) شروع از یک المان خطی (ب) روش بهبود- p کلاسیک:

درج گره به‌همراه ارتقاء درجه سبب ایجاد هفت تکه تابع پایه درجه چهار C^0 شده است (ج)

بهبود- k با ارتقاء درجه همراه با درج گره منتج به پنج تکه تابع پایه درجه چهار C^1 شده است.

۳-۴- ب-اسپیلاین های گویای غیریکنواخت (نربز)

ب-اسپیلاین ها توابع همتای گویایی دارند که به آن امکان نمایش دقیق اشیایی که نمی توان آن ها را بوسیله چندجمله ها نمایش داد، را می دهد. بعنوان مثال در CAD اشکال دایره ای و مخروطی اغلب استفاده می شوند که می توان آن ها را دقیقاً توسط نربز نمایش داد.

۳-۴-۱- توابع پایه نربز

توابع پایه نربز از روی توابع پایه ب-اسپیلاین با یک وزن مثبت W_i تعریف می شوند:

$$N_{i,p}(\xi) = \frac{\omega_i B_{i,p}(\xi)}{W(\xi)} \quad (3-16)$$

که

$$W(\xi) = \sum_{i=1}^n \omega_i B_{i,p}(\xi) \quad (3-17)$$

توسعه فضای توابع نربز به صورت یکتا با $N \equiv N(\Xi; p; w) := span\{N_{i,p}\}_{i=1}^n$ تعریف می شود. مشابه ب-اسپیلاین فضای توابع با ابعاد بالاتر توسط ضرب تانسوری توابع پایه $N \equiv N(\Xi, H, \dots; p, q, \dots; \omega) := span\{N_{i,p} \otimes N_{j,q} \otimes \dots\}_{i,j,\dots=1}^{n,m,\dots}$ ساخته می شود. توابع پایه نربز دارای خواص زیر هستند:

$$\sum_{i=1}^n N_{i,p}(\xi) = 1 \quad \forall \xi \quad -1$$

۲- نربز خواص خود را از توابع پایه ب-اسپیلاین اخذ می کند، مشابه پیوستگی در گره ها

و غیرمنفی بودن

۳- توابع پایه نربز چند جمله‌ای نیستند، اما توابع گویا هستند.

۴- اگر همه وزن‌ها برابر باشند: پایه مجدداً چند جمله‌ای خواهد بود. بنابراین ب-

اسپیلاین‌ها حالت خاص نربز هستند

۳-۴-۲- مشتقات نربز

مشتقات توابع نربز با استفاده از قاعده خارج قسمت^۱ روی معادله (۳-۱۶) یافت

می‌شوند:

$$\frac{d}{d\xi} N_{i,p}(\xi) = \omega_i \frac{W(\xi)B'_{i,p}(\xi) - W'(\xi)B_{i,p}(\xi)}{(W(\xi))^2} \quad (3-18)$$

$$B'_{i,p}(\xi) \equiv \frac{d}{d\xi} B_{i,p}(\xi) \text{ و } W'(\xi) = \sum_i^n B'_{i,p}(\xi)\omega_i \quad \text{که}$$

حال رابطه زیر را تعریف می‌کنیم:

$$A_i^{(k)}(\xi) = \omega_i \frac{d^k}{d\xi^k} B_{i,p}(\xi) \text{ , مجموعی روی } i \text{ وجود ندارد} \quad (3-19)$$

$$W^{(k)}(\xi) = \frac{d^k}{d\xi^k} W(\xi) \quad (3-20)$$

مشتقات درجه بالاتر بر حسب مشتقات مرتبه پایین‌تر تعریف می‌شوند:

$$\frac{d^k}{d\xi^k} N_{i,p}(\xi) = \frac{A_i^{(k)}(\xi) - \sum_{j=1}^k \binom{k}{j} W^{(j)}(\xi) \frac{d^{(k-j)}}{d\xi^{(k-j)}} N_{i,p}(\xi)}{W(\xi)} \quad (3-21)$$

که

^۱ Quotient rule

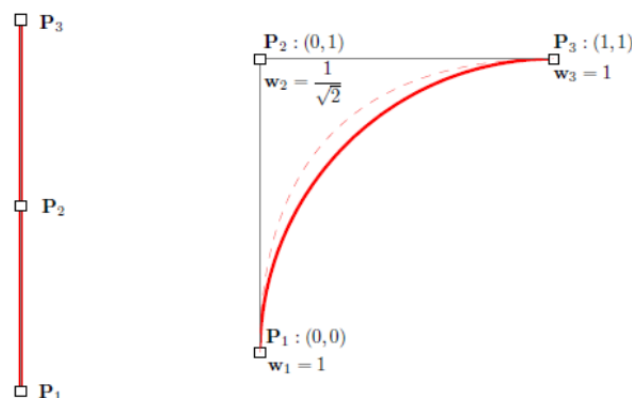
$$\binom{k}{j} = \frac{k!}{j!(k-j)!} \quad (22-3)$$

۳-۴-۳- منحنی‌های نریز

با استفاده از (۱۶-۳) منحنی نریز به همان صورت منحنی ب-اسپیلاین قابل تعریف است:

$$C(\xi) = \sum_{i=1}^k N_{i,p}(\xi) P_i \quad (23-3)$$

شکل (۱۰-۳) ساخت یک کمان دایره را نشان می‌دهد. باید توجه نمود که یکی از وزن‌ها $\frac{1}{\sqrt{2}}$ می‌باشد، تا امکان نمایش دقیق دایره فراهم شود. خط‌چین منحنی را وقتی که همه وزن‌ها برابر یک هستند و بنابراین منحنی یک چندجمله‌ای است نشان می‌دهد. مقایسه دو منحنی نشان می‌دهد که به علت وزن داده شده نقطه کنترل میانی منحنی را کمتر می‌کشد.



شکل (۱۰-۳) مثالی از ساخت منحنی کمان دایره با استفاده از توابع نریز روی بردار گره‌ای $E = \{0,0,0,1,1,1\}$

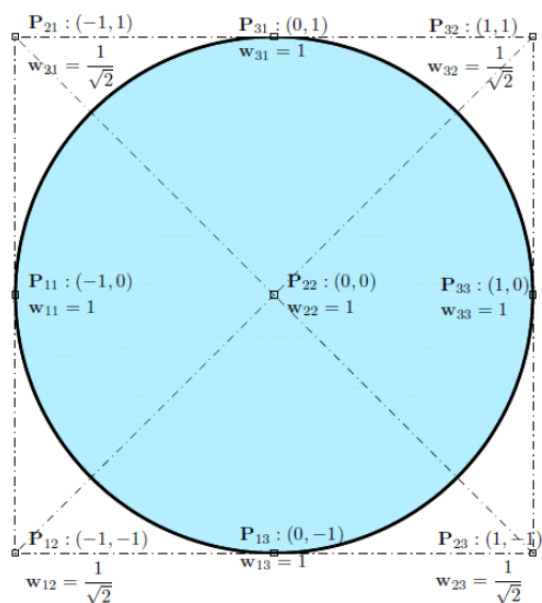
۳-۴-۴- سطوح و احجام نریز

سطوح و احجام نریز به صورت زیر تعریف می‌شوند:

$$S(\xi, \eta) = \sum_{i=1, j=1}^{n, m} N_{i,p}(\xi) N_{j,p}(\eta) P_{i,j} \quad (24-3)$$

$$V(\xi, \eta, \zeta) = \sum_{i=1, j=1, k=1}^{n, m, \ell} N_{i,p}(\xi) N_{j,p}(\eta) N_{k,r}(\zeta) P_{i,j,k} \quad (25-3)$$

شکل (۳-۱۱) ساخت یک سطح دایروی با استفاده از نگاشت از فضای پارامتری به فضای فیزیکی با استفاده از نقاط کنترلی و وزن‌ها (منحنی دایره شکل (۳-۱۰)) در هر جهت از فضای پارامتری را نشان می‌دهد.



شکل (۳-۱۱) ساخت دایره با استفاده از نریز. سطح از بردار $\bar{E} = H = \{0,0,0,1,1,1\}$ و نقاط کنترلی و

وزن‌های نشان داده شده در شکل ساخته شده است.

۳-۵- آنالیز آیزوژئومتریکی: نربز به عنوان پایه‌ای برای آنالیز

نظریه آیزوژئومتریکی توسط Hughes و همکارانش [۳] ارائه گردید. اگرچه تنها تغییر در توابع رخ داده است، اما این روش بسیار قدرتمند است. ساخت فضاهای توابع پایه اجزاء محدود مبتنی بر نربز نیاز به ارتباط با برنامه‌های CAD را از بین برده و هندسه دقیق را فراهم می‌کند بعلاوه FEA را با روش بهبود-k، ارتقا می‌دهد و روش‌های با مرتبه بالاتر را روی دامنه‌های منحنی ممکن می‌کند.

در ادامه تفاوت اساسی بین FEA کلاسیک و IGA یعنی تعریف مش بندی و هندسه بیان می‌شود. سپس گسسته‌سازی معادلات با استفاده از توابع نربز ارائه می‌گردد. [۲۴،۲۵،۳۱]

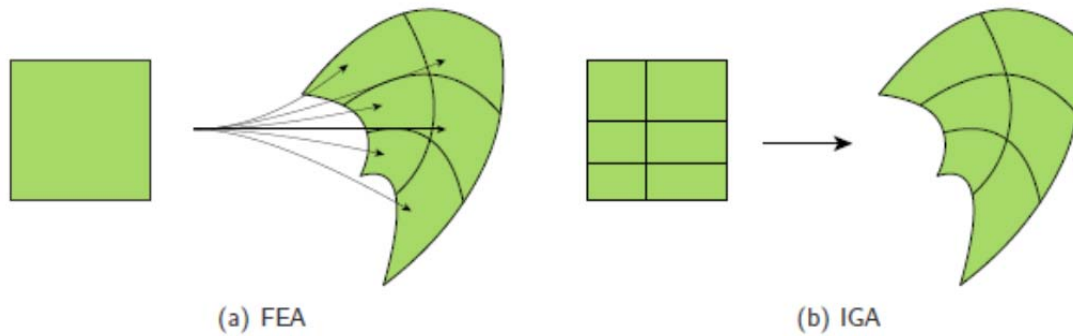
۳-۵-۱- مش

قبل از تعریف مش، جدول (۳-۱) مهم‌ترین تفاوت‌ها و شباهت‌های بین FEM و IGA را خلاصه نموده است:

جدول (۳-۱) مقایسه FEA و IGA [۳۷]

FEM		IGA
Nodal points Nodal variables Mesh Element Basis interpolates nodal points and variables Approximate geometry Polynomial basis Gibbs phenomena Subdomains	Compact support Partition of unity Isoparametric concept Affine covariance Patch tests satisfied	Control points Control variables Knots Knot span Basis does <i>not</i> interpolate control points and variables Exact geometry NURBS basis Variation Diminishing Patches

شکل (۱۱-۳) این مقایسه را از دیدگاه آنالیز نشان می‌دهد در FEM کلاسیک هر المان نگاشت خود را از فضای پارامتری به فضای فیزیکی دارد (شکل ۱۲-۳ الف). در حالی که در IGA، گره‌های داخلی فضای پارامتری در المان‌ها را تقسیم‌بندی نموده و یک ب-اسپلاین منفرد، فضای پارامتری را به فضای فیزیکی نگاشت می‌کند (شکل ۱۲-۳ ب).



شکل (۱۲-۳) تفاوت FEM و IGA از دیدگاه آنالیز

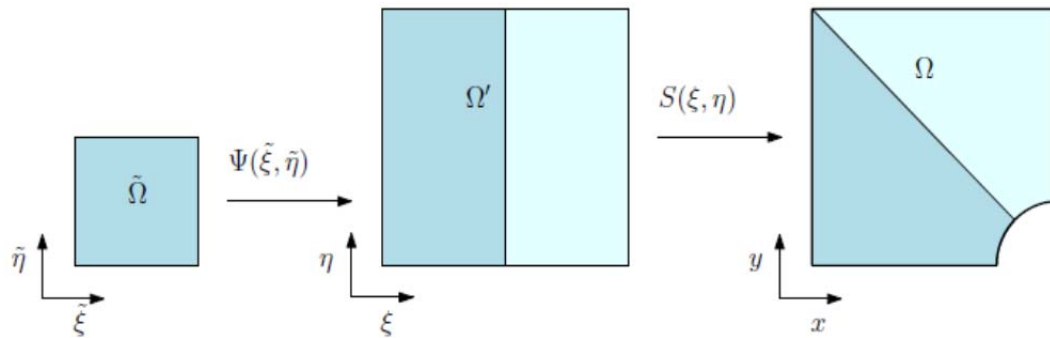
مش در IGA مستقیماً بوسیله پارامتری‌سازی نربز تعریف می‌شود. اگر Ω' یک دامنه محدود باز با مرز $\delta\Omega'$ باشد، دامنه به زیردامنه‌های Ω'_e توسط چهار وجهی‌ها آنچنان که $\Phi = \Omega'_i \cap \Omega'_j$ برای $i \neq j$ تقسیم می‌شود. المان‌ها به صورت توسعه‌های گره‌ای به صورت $\Omega'_e = \{\{\xi_i, \xi_{i+1}\}\}$ یا ضرب تانسوری $\Omega'_e = \{\{\xi_i, \xi_{i+1}\} \otimes [\eta_i, \eta_{i+1}] \otimes \dots\}$ در بعدهای بالاتر تعریف می‌شود.

المان در فضای فیزیکی به صورت زیر تعریف می‌شود:

$$\Omega_e = S\Omega'_e \quad (۲۶-۳)$$

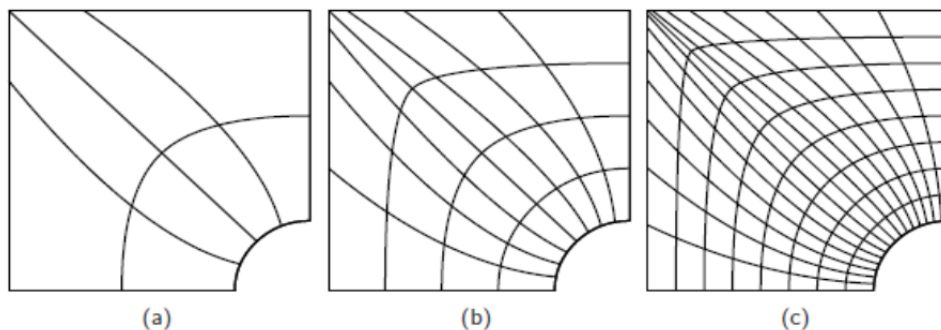
که S نگاشت نربز در معادله (۲۴-۳) می‌باشد. شکل (۱۳-۳) این ایده را به صورت گرافیکی روی یک صفحه سوراخ‌دار نشان می‌دهد. آنچه در اینجا نشان داده شده است،

توصیف اولیه CAD در قالب یک مش دو المانه است. بعلاوه المان پایه^۱، $\tilde{\Omega} = [-1,1]^d$ نیز نشان داده شده است که جهت بکارگیری چهارتائیها^۲ بکار می‌رود.



شکل (۳-۱۳) تعریف مش در IGA تعریف هندسه CAD اولیه برای صفحه سوراخ‌دار فضای پارامتری Ω' مطابق با بردارهای گره‌ای $\{0,0,0,0.5,1,1,1\}$ ، $\{0,0,0,1,1,1\}$ که $\mathcal{E} = \{0,0,0,1,1,1\}$ منتج به مش بندی با دو المان می‌شود که با دورنگ نشان داده شده است و پس از نگاشت به فضای فیزیکی در شکل نمایان است.

جهت انجام آنالیز، وضوح بیشتری مورد نیاز است. اینکار توسط یک یا ترکیبی از بهبودها انجام می‌شود. شکل (۳-۱۴) این بهبود با درج گره برای هندسه اولیه شکل (۳-۱۳) که منجر به مش‌های متوالی می‌شود را نشان می‌دهد.



شکل (۳-۱۴) ساخت هندسه مناسب آنالیز با بهبودهای متوالی

^۱Parent
^۲quadrature

۳-۵-۲- توسعه FEM مبتنی بر نربز

توسعه FEM مبتنی بر نربز خیلی متفاوت از توسعه FEM کلاسیک نیست. تفاوت ظریف آن‌ها ناشی از خصوصیت غیردرون‌یابی نربز و تعریف یک المان می‌باشد. به عنوان مثال مساله الاستیک خطی دو بعدی شکل قوی^۱ [۲۶] به صورت زیر دارد:

$$\begin{cases} \nabla \cdot \sigma_x + b_x = 0 & \text{و} & \nabla \cdot \sigma_y + b_y = 0 & \text{on} & \Omega \\ \sigma = D \nabla_s u \\ \sigma_x \cdot n = t_x & \text{و} & \sigma_y \cdot n = t_y & \text{on} & \Gamma_t \\ u = \bar{u} & \text{on} & \Gamma_u \end{cases} \quad (۲۷-۳)$$

که Γ_t قسمتی از مرز است که کشش در آن تعریف شده و Γ_u بخشی از مرز است که جابجایی در آن تعریف گردیده است. معادله تعادل گسسته حاصل به صورت زیر می‌باشد:

$$Ku = f \quad (۲۸-۳)$$

که k ماتریس سختی و u بردار جابجایی و f بردار نیروی خارجی است. ماتریس سختی k می‌تواند از ماتریس سختی المان (k_e) فراهم شود (تجمیع شود). بطور مشابه بردار نیروی f را می‌توان از بردار نیروی المان f_e تجمیع نمود. ماتریس سختی المان به صورت زیر محاسبه می‌شود:

$$k_e = t_e \int_{\hat{\Omega}_e} B^T DB |J| d\hat{\Omega} \quad (۲۹-۳)$$

که t_e ضخامت المان ورقه و $\hat{\Omega}$ دامنه پارامتری ساختار در فضای $K_1 \times K_2$ می‌باشد.

انتگرال به صورت عددی با تعیین مقدار انتگرال در نقاط گوسی المان محاسبه می‌شود.

ماتریس جابجایی - کرنش B نیز به صورت زیر است:

^۱ Strong

$$B = \begin{bmatrix} \frac{\partial N_1}{\partial x_1} & 0 & \dots & \frac{\partial N_{n_{en}}}{\partial x_1} & 0 \\ 0 & \frac{\partial N_1}{\partial x_2} & \dots & 0 & \frac{\partial N_{n_{en}}}{\partial x_2} \\ \frac{\partial N_1}{\partial x_2} & \frac{\partial N_1}{\partial x_1} & \dots & \frac{\partial N_{n_{en}}}{\partial x_2} & \frac{\partial N_{n_{en}}}{\partial x_1} \end{bmatrix} \quad (30-3)$$

که N_i توابع پایه آنالیز اجزاء محدود یا نربرز در آنالیز آیزوژئومتریکی می باشد. D ماتریس خواص ماده در حالت الاستیک خطی است بطور مثال در حالت تنش مسطح به صورت زیر می باشد:

$$D = \frac{E}{1-\nu^2} \begin{bmatrix} 1 & \nu & 0 \\ \nu & 1 & 0 \\ 0 & 0 & \frac{1-\nu}{2} \end{bmatrix} \quad (31-3)$$

J ماتریس ژاکوبین به صورت زیر است:

$$J = \begin{bmatrix} \frac{\partial x_1}{\partial \xi_1} & \frac{\partial x_2}{\partial \xi_1} \\ \frac{\partial x_1}{\partial \xi_2} & \frac{\partial x_2}{\partial \xi_2} \end{bmatrix} \quad (32-3)$$

که نگاشت نقاط از مختصات پارامتریک به مختصات فیزیکی را بر عهده دارد.

بردار نیرو روی المان e را می توان به صورت زیر نوشت که b نیروی پوسته (نیرو بر واحد

سطح)، t کشش روی پوسته و \hat{T}_t دامنه پارامتری مرز کشش در فضای $\xi_1 \xi_2$ می باشد.

در حالت الاستوپلاستیک رابطه تنش- کرنش یک رابطه خطی مانند مساله الاستیک

نیست. در این حالت مشتق رابطه ساختاری برای یک ماده ایزوتروپیک که سخت شدگی

ایزوتروپیک را تجربه می کند به صورت رابطه افزایشی بین بردار افزایش تنش $d\sigma$ و بردار

افزایش کرنش $d\varepsilon$ آنچنان که $d\sigma = D_{ep} \cdot d\varepsilon$ نشان داده می شود.

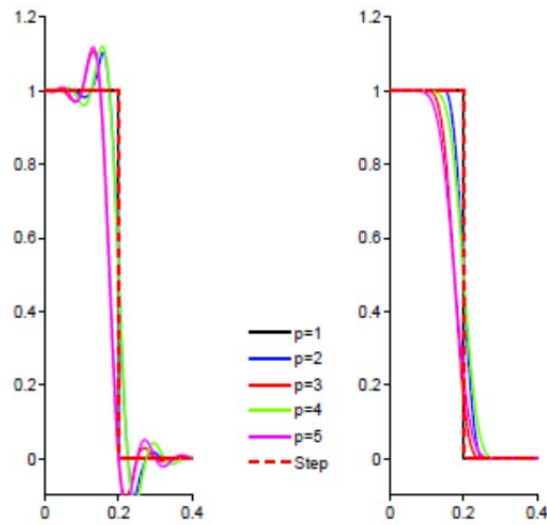
همانطور که پیش تر اشاره شد D_{ep} به صورت عددی و متوالی محاسبه می گردد، لذا در مجموع D_e در محاسبات نهایی جابجایی در حالت الاستوپلاستیک با D_{ep} در نقطه ای که تسلیم رخ می دهد جایگزین می شود.

۳-۵-۳- شرایط مرزی

شرایط مرزی در IGA مشابه FEM کلاسیک وارد می شود. شرایط مرزی اصلی روی نقاط کنترلی اعمال می شوند. چون توابع نربز غیردرون یابی هستند، شرایط مرزی قوی تمایل دارند که توابع پایه با درجات بالا را (وقتی که داده های مرزی غیرپیوسته وارد می شوند) درگیر نمایند. شکل (۳-۱۵) این مطلب را برای پروفایل پله ای نشان می دهد. در تصویر سمت چپ درون یابی این شرایط نشان داده شده است در سمت راست این شرایط روی نقاط کنترلی اعمال شده اند. باید توجه نمود که اگرچه نربز خاصیت حذف تغییرات را دارد، اما همچنان پدیده گیبس^۱ را از خود نشان می دهد. اما با افزایش درجه بر خلاف چند جمله ای ها عمل می کند. بعلاوه باید توجه نمود که چگونه داده ها با افزایش p درگیر می شوند واضح است که برای داده های غیرپیوسته بهتر است داده ها روی نقاط کنترلی اعمال شوند. وقتی که داده های هموار مدنظر باشد عکس این مطلب صحیح است.

گزینه دیگر، اعمال شرایط دریچلت به صورت ضعیف است که یک تقریب از شرایط دریچلت است. اگرچه اعمال شرایط مرزی قوی هم خود یک تقریب است.

^۱ Gibbs



شکل (۳-۱۵) اعمال شرایط مرزی قوی. ملاحظه می‌شود که نریز هم مانند چندجمله‌ای‌های لاگرانژ پدیده گیبس را از خود نشان می‌دهد، اما کمتر از آن با اعمال داده‌ها مستقیماً روی نقاط کنترلی باعث درگیر شدن شرایط مرزی با افزایش p می‌شود.

۳-۵-۴- انتگرال گیری

جهت تجمیع ماتریس‌های سختی و جرم و بردار بار، انتگرال کلی زیر باید حل شود:

$$\int_{\Omega} f(x) d\Omega \quad (3-33)$$

که f بقدر کافی هموار و انتگرال پذیر فرض می‌شود. جهت انتگرال گیری، از فضای فیزیکی به المان پایه^۱ برده می‌شود. جهت انجام اینکار تغییر متغیرهایی باید انجام شود که در فضای $2D$ به صورت زیر است:

$$\int_{\tilde{\Omega}} f(\tilde{\xi}, \tilde{\eta}) |J_S| |J_{\psi}| d\tilde{\Omega} \quad (3-34)$$

که J ژاکوبین و $|J|$ دترمینان آن است.

^۱ parent element

برای یک ماتریس سختی نوعی $f(x, y) = \nabla N_A(x, y) \kappa \nabla N_B(x, y)$ توابع پایه N در فضای پارامتری Ω' تعریف شده است. به منظور تعریف آن در فضای Ω باید:

$$\nabla N(x, y) = J_S^{-1} \nabla N(\xi, \eta) \quad (3-35)$$

حال انتگرال به صورت زیر خواهد شد:

$$\int_{\tilde{\Omega}} \left(J_S^{-1} \nabla N_A(\tilde{\xi}, \tilde{\eta}) \right) \kappa \left(J_S^{-1} \nabla N_B(\tilde{\xi}, \tilde{\eta}) \right) |J_S| |J_{\psi}| d\tilde{\Omega} \quad (3-36)$$

انتگرال گیری گوسی با توجه به اینکه انتگرال تابع را به صورت دقیق با حداقل نقاط گوسی محاسبه می کند بهینه می باشد. توابع ب-اسپیلاین شرایط همواری و انتگرال پذیری را دارا هستند و به صورت چند جمله ای می باشند، لذا قوانین گوس استاندارد قابل استفاده است. با توجه به مرجع [۲۲] در توابع پایه ب-اسپیلاین های C^1 ، نقاط گوسی بهینه تابع قانون نقطه میانی^۱ هستند، لذا تعداد نقاط گوسی برابر با نصف تعداد درجات آزادی می باشد.

۳-۶- آنالیز آیزوژئومتریک با استفاده از نرم افزار Matlab

سادگی و متن باز بودن نرم افزار متلب و انجام محاسبات به صورت جبری در سال های اخیر باعث کاربرد روزافزون آن در حوزه های مختلف محاسبات مهندسی شده است [۲۳]. اولین کاربرد آن در حوزه IGA توسط مرجع [۲۴] گزارش شده است که به معادلات با مشتقات جزئی (PDE) اسکالر محدود می باشد. کد IGA متن باز دیگری که در این حوزه نوشته شده در [۲۵] ارائه شده است. جزئیات کاربرد IGA در قالب کد FE شیء گرا، نیز در [۲۶] بحث شده است. جزئیات پیاده سازی فرمول بندی در چارچوب IGA با استفاده از نرم افزار FE تجاری در [۲۷] گزارش شده است. آخرین فعالیت در این حوزه مربوط به مرجع

^۱ Half- Point rule

[۲۸] می‌باشد. در چارچوب موضوع پایان نامه همانطور که پیشتر عنوان گردید تا کنون هیچ مستندی منتشر نشده‌است. اما در حل مساله الاستو-پلاستیک به روش FEM مبتنی بر نرم افزار متلب میتوان از مراجع [۲۹, ۳۰] نام برد.

NURBS Toolbox نیز بعنوان یکی از Toolbox‌های نرم افزار متلب، شامل مجموعه‌ای از برنامه‌ها جهت ایجاد و دست‌کاری نربز در محیط متلب مطابق با نگارش کتاب [۱۶] به عنوان اولین محصول استاندارد در این حوزه ارائه شده است. توابع این Toolbox در قالب m-file در جدول (۳-۲) ارائه شده اند. شایان ذکر است پیشتر Spline Toolbox نیز در متلب پیاده سازی شده است. مرجع [۲۸] نیز IGA را در قالب کد متلب در حالت ۱، ۲ و ۳ بعدی ارائه نموده است.

آنچه در این پایان نامه مورد استفاده قرار می‌گیرد برخی از m-file های بسته‌های نرم‌افزاری بویژه NURBS Toolbox و GEOPDES جهت تولید توابع پایه، برخی پردازش های میانی و Post Processing می باشد. همچنین از بسته نرم افزاری ParaView جهت نمایش داده های حاصل از تحلیل استفاده می شود.

Basic operations for NURBS curves, surfaces and volumes

[nrbmak](#)

NRBMak: Construct the NURBS structure given the control points and the knots.

[nrbkntins](#)

NRBKNTINS: Insert a single or multiple knots into a NURBS curve, surface or volume.

[nrbdegelev](#)

NRBDEGELEV: Elevate the degree of the NURBS curve, surface or volume.

[nrbderiv](#)

NRBDERIV: Construct the first and second derivative representation of a NURBS curve, surface or volume.

[nrbdeval](#)

NRBDEVAL: Evaluation of the derivative and second derivatives of NURBS curve, surface or volume.

[nrbeval](#)

NRBEVAL: Evaluate a NURBS at parametric points.

Operations for constructing NURBS curves and surfaces

[nrbtform](#)

NRBTFORM: Apply transformation matrix to the NURBS.

[nrbreverse](#)

NRBREVERSE: Reverse the evaluation direction of a NURBS curve or surface.

[nrbtransp](#)

NRBTRANSP: Transpose a NURBS surface, by swapping U and V directions.

[nrbline](#)

NRBLINE: Construct a straight line.

[nrbcirc](#)

NRBCIRC: Construct a circular arc.

[nrbrect](#)

NRBRECT: Construct NURBS representation of a rectangular curve.

[nrb4surf](#)

NRB4SURF: Constructs a NURBS bilinear surface.

[nrbcylind](#)

NRBCYLIND: Construct a cylinder or cylindrical patch.

[nrbextract](#)

NRBEXTRACT: construct NURBS curves by extracting the boundaries of a NURBS surface, or NURBS surfaces by extracting the boundary of a NURBS volume.

[nrbextrude](#)

NRBEXTRUDE: Construct a NURBS surface by extruding a NURBS curve, or construct a NURBS volume by extruding a NURBS surface.

[nrbrevolve](#)

NRBREvolve: Construct a NURBS surface by revolving a NURBS curve, or construct a NURBS volume by revolving a NURBS surface.

[nrbruled](#)

NRBRULED: Construct a ruled surface between two NURBS curves.

[nrbcoons](#)

NRBCOONS: Construction of a Coons patch.

[nrbplot](#)

NRBPLOT: Plot a NURBS curve or surface, or the boundary of a NURBS volume.

[nrbctrlplot](#)

NRBCTRLPLOT: Plot a NURBS entity along with its control points.

[nrbkntplot](#)

NRBKNTPLOT: Plot a NURBS entity with the knots subdivision.

B-Spline functions

[bspeval](#)

BSPEVAL: Evaluate B-Spline at parametric points

[bspderiv](#)

BSPDERIV: B-Spline derivative

[bspkntins](#)

BSPKNTINS: Insert knots into a B-Spline

[bspdegelev](#)

BSPDEGELEV: Degree elevate a univariate B-Spline.

[basisfun](#)

BASISFUN: Compute B-Spline Basis Functions

[basisfunder](#)

BASISFUNDER: B-Spline Basis function derivatives

[findspan](#)

FINDSPAN Find the span of a B-Spline knot vector at a parametric point

[numbasisfun](#)

NUMBASISFUN: List non-zero Basis functions for B-Spline in a given knot-span

[tbasisfun](#)

TBASISFUN: Compute a B- or T-Spline basis function, and its derivatives, from its local knot vector.

B-splines geometric entities

[curvederivepts](#)

CURVEDERIVEPTS: Compute control points of n-th derivatives of a B-spline curve.

[curvederiveval](#)

CURVEDERIVEVAL: Compute the derivatives of a B-spline curve.

[surfderivepts](#)

SURFDERIVEPTS: Compute control points of n-th derivatives of a NURBS surface.

[surfderiveval](#)

SURFDERIVEVAL: Compute the derivatives of a B-spline surface

NURBS geometric entities and functions

[nrbbasisfun](#)

NRBBASISFUN: Basis functions for NURBS

[nrbbasisfunder](#)

NRBBASISFUNDER: NURBS basis functions derivatives

[nrnumbasisfun](#)

NRBNUMBASISFUN: Numbering of basis functions for NURBS

[nrbcrvderiveval](#)

NRBCRVDERIVEVAL: Evaluate n-th order derivatives of a NURBS curve.

[nrbsurfderiveval](#)

NRBSURFDERIVEVAL: Evaluate n-th order derivatives of a NURBS surface.

Knots construction and refinement

[kntuniform](#)

KNTUNIFORM: generate uniform open knot vectors in the reference domain.

[kntrefine](#)

KNTREFINE: Refine a given knot vector by dividing each interval uniformly, maintaining the continuity in previously existing knots.

[kntbrkdegreg](#)

KNTBRKDEGREG: Construct an open knot vector by giving the sequence of knots, the degree and the regularity.

[kntbrkdegmult](#)

KNTBRKDEGMULT: Construct an open knot vector by giving the sequence of knots, the degree and the multiplicity.

Vector and Transformation Utilities

[vecnorm](#)

VECNORM: Normalise the vectors.

[vecmag](#)

VECMAG: Magnitude of the vectors.

[vecmag²](#)

VECMAG²: Squared magnitude of a set of vectors.

[vecangle](#)

VECANGLE: An alternative to atan, returning an arctangent in the range 0 to π .

[vecdot](#)

VECDOT: The dot product of two vectors.

[veccross](#)

VECCROSS: The cross product of two vectors.

[vecrotx](#)

VECROTX: Transformation matrix for a rotation around the x axis.

[vecroty](#)

VECROTY: Transformation matrix for a rotation around the y axis.

[vecrotz](#)

VECROTZ: Transformation matrix for a rotation around the z axis.

[vecrot](#)

VECROT: Transformation matrix for a rotation around the axis given by a vector.

[vecscale](#)

VECSCALE: Transformation matrix for a scaling.

[vectrans](#)

VECTRANS: Transformation matrix for a translation.

Misc Utilities

[deg²rad](#)

DEG²RAD: Convert degrees to radians.

[rad²deg](#)

RAD²DEG: Convert radians to degrees.

۳-۷- جمع بندی

در این فصل ضمن توصیف ب-اسپیلاین ها و نربزها بعنوان روشی نوین در توصیف هندسی اجسام، علت انتخاب آنها بعنوان توابع پایه، هم در بخش توصیف هندسی و هم در بخش آنالیز در قالب تحلیل آیزوژئومتریک نشان داده شد و با بیان تفاوت‌های اساسی بین تحلیل مبتنی بر اجزای محدود کلاسیک و آیزوژئومتریک، چگونگی حل معادلات الاستو پلاستیک با استفاده از توابع پایه نربز ارائه گردید. در پایان نیز قابلیت‌های نرم افزار متلب در حل عددی معادلات حاصل در قالب Toolbox های تولید شده بیان شد.

فصل چهارم

پیاده سازی الگوریتم و حل

الاستو-پلاستیک مسائل دو بعدی نمونه

به روش IGA

پیاده سازی الگوریتم و نتایج حل الاستو-پلاستیک مسائل

دو بعدی به روش IGA

۴-۱- مقدمه

همانگونه که قبلاً ذکر شد کلیات محاسبات در روشهای آیزوژئومتریکی و اجزای محدود مشابه بوده و تفاوت عمده آنها در نحوه محاسبات توابع پایه و نگاشتهای مربوط به آنهاست. در این فصل حل الاستو-پلاستیک مثالهای عددی دوبعدی با استفاده از برنامه Elasto-Plastic IGA که در این پایان نامه مبتنی بر نرم افزار MATLAB تهیه شده است، ارائه و نتایج حاصل از آن با حل تحلیلی مقایسه می گردد.

۴-۲- ساختار برنامه Elasto-Plastic IGA

شکل (۴-۱) ساختار کلی برنامه Elasto-Plastic IGA پیاده سازی شده در فصول دوم و سوم را نشان میدهد. بر این اساس برنامه اطلاعات ورودی شامل خواص مواد، هندسه و مشخصات مشها و نریز را دریافت کرده و افزایشهای کلی را بر اساس روش نیوتن-رافسون جهت محاسبه جابجایی انجام می دهد. در طی این فرآیند به روش CPPM خواص ماده در نقاط گوسی در نظر گرفته شده در قالب توالیهای محلی مبتنی بر معیار تسلیم فون-میسز بررسی و با توجه به حالت ماده در نقاط مذکور

ماتریس مماسی پیوسته جهت به روز رسانی ماتریس سختی و نیروهای داخلی محاسبه می گردد. برنامه مذکور معیار تسلیم با فرض سخت شدگی توسعه یافته و ماده ایزوتروپیک فرض شده است. قابل ذکر است همانطور که قبلا اشاره شد محاسبه ماتریس مماسی سازگار مستلزم برخی محاسبات پیچیده است و در مقابل سبب افزایش سرعت همگرایی می شود که در خصوص مسائل الاستو-پلاستیک دو بعدی با هندسه ساده از اهمیت چندانی برخوردار نیست لذا از ماتریس مماسی پیوسته استفاده گردیده است.

نکته حائز اهمیت دیگر ماهیت ضمنی بودن روش CPPM است که از دقت محاسباتی بالاتری نسبت به روشهای صریح برخوردار است.

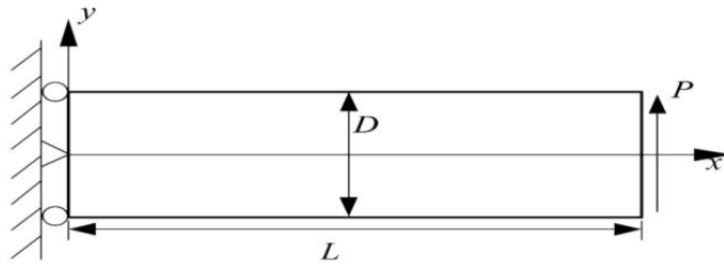


شکل (۴-۱) ساختار کلی برنامه Elasto-Plastic IGA

۳-۴- مثالهای عددی

۳-۴-۱- تیر طره

تیر طره شکل (۳-۴) تحت بار متمرکز $P=1500\text{ N}$ قرار گرفته است. در این مثال $D=2\text{ m}$ و $L=48$ مدول الاستیسیته $E=3 \times 10^7$ و ضریب پواسون $\nu = 0.3$ و تنش تسلیم $\sigma_y = 2400$ فرض گردیده است. H پارامتر سخت شدگی معادل ۱ فرض شده است.



شکل (۳-۴) تیر طره: هندسه و شرایط تکیه گاهی

برای حل مسئله به روش آیزوژنومتری یک بردارهای گرهی در دو جهت ξ و η به ترتیب

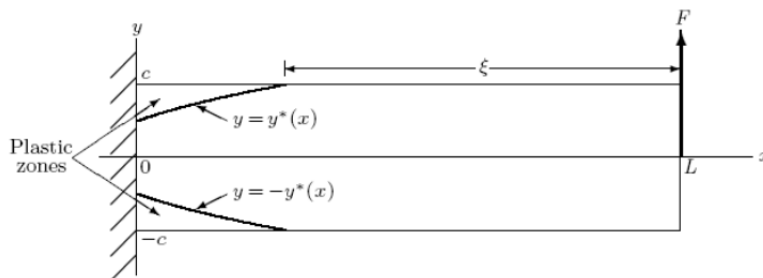
$\{0, 0, 1, 1\}$ و $\{0, 0, 0, 0, 25, 5, 75, 1, 1, 1\}$ تعداد نقاط کنترلی در این دو جهت به ترتیب ۶ و ۲ فرض

گردیده است.

جهت حل مساله در حالت الاستو-پلاستیک از روابط زیر استفاده می‌گردد [۳۲].

تنش ماکزیمم در $(0, \pm c)$ رخ میدهد. در $F = F_E = \frac{2\sigma_y bc^2}{3L}$ تسلیم آغاز می‌شود. اگر مقدار بار وارده از این

مقدار افزایش یابد، ناحیه پلاستیک از وجه بالا و پایین تیر گسترش می‌یابد.



شکل (۳-۴) نواحی الاستیک و پلاستیک در تیر طره

معیار تسلیم در ناحیه پلاستیک مستلزم آن است که تنشها علاوه بر معادلات تعادلی از روابط زیر نیز

تبعیت نمایند :

$$\frac{\sigma}{\sigma^2_Y} \frac{\partial \sigma}{\partial \chi} + \frac{\tau}{\tau^2_Y} \frac{\partial \tau}{\partial \chi} = 0 \quad (2-4)$$

$$\frac{\sigma}{\sigma^2_Y} \frac{\partial \sigma}{\partial Y} + \frac{\tau}{\tau^2_Y} \frac{\partial \tau}{\partial Y} = 0$$

روابط تعادل :

$$\frac{\partial \sigma}{\partial X} + \frac{\partial \tau}{\partial Y} = 0 \quad , \quad \frac{\partial \tau}{\partial X} = 0 \quad (3-4)$$

این معادلات می توانند به طور همزمان ارضا گردند اگر σ و τ در هر ناحیه پلاستیک ثابت باشند. و از

آنجائیکه از τ در وجه بالا و پایین صرفنظر می گردد و $\sigma = \pm \sigma_Y$ ، اگر مرز الاستو-پلاستیک در X با

$y = Y(x)$ نمایش داده شود ، داریم :

$$\sigma = \sigma_Y \quad , \quad -c \leq y \leq -y^*_{(x)} \quad (4-4)$$

$$\sigma = -\sigma_Y \quad , \quad y^*_{(x)} \leq y \leq c$$

در هسته الاستیک $-y^*_{(x)} \leq y \leq y^*_{(x)}$ توزیع تنش در راستای y مانند حوزه الاستیک خطی است.

$$\sigma = \frac{\sigma_Y \cdot y}{y^*_{(x)}} \quad (5-4)$$

مرز ناحیه الاستیک به صورت زیر است :

$$Y^*_{(x)} = \sqrt{3 \left[C^2 - \frac{F(L-x)}{\sigma_Y} b \right]}$$

(6-4)

$$y^*(x)=c \quad \text{در} \quad X = L - \frac{2\sigma_y bc^2}{3F} = L - \xi \quad (7-4)$$

بار نهایی به شکل زیر محاسبه می گردد:

$$F_u = \frac{\sigma_y bc^2}{L} \quad (8-4)$$

با توجه به این حقیقت که τ در ناحیه پلاستیک صفر است ، نیروی عرضی باید توسط تنش برشی تنها

در هسته الاستیک متعادل شود. تنش برشی ماکزیمم در نقطه $(X, 0)$ برابر است با :

$$\tau = \frac{3F}{4by^*(x)} \quad (9-4)$$

تنش برشی ماکزیمم در نقطه $x=0$ اتفاق می افتد.

$$\tau_{\max} = \frac{3F}{4by^*(0)} \quad (10-4)$$

تغییر مکان در هر نقطه از تیر با $F=F_E$ (شروع تغییر شکل پلاستیک) برای $L/c \leq \xi \leq L$ عبارت

است از:

$$\Delta = \Delta_E \left(\frac{F_E}{F}\right)^2 \left[5 - \left(3 + \frac{F}{F_E}\right) \sqrt{3 - 2\frac{F}{F_E}} \right] \quad (11-4)$$

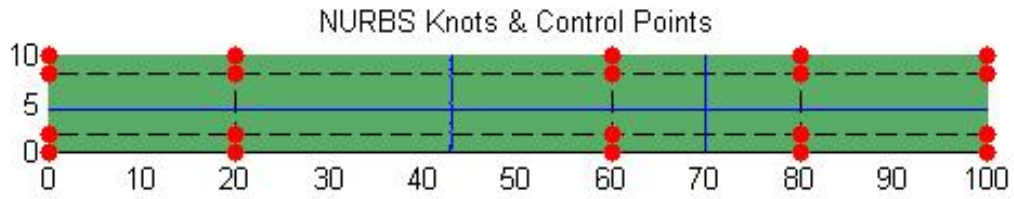
که در آن :

$$\Delta_E = \frac{\sigma_y L^2}{3EC} \quad \text{و} \quad F_U = \frac{3F_E}{2} \quad (12-4)$$

در این مثال طبق روابط ارائه شده تسلیم باید در نقطه تکیه‌گاهی در بار ۱۲۰۰ نیوتن آغاز شود نتایج

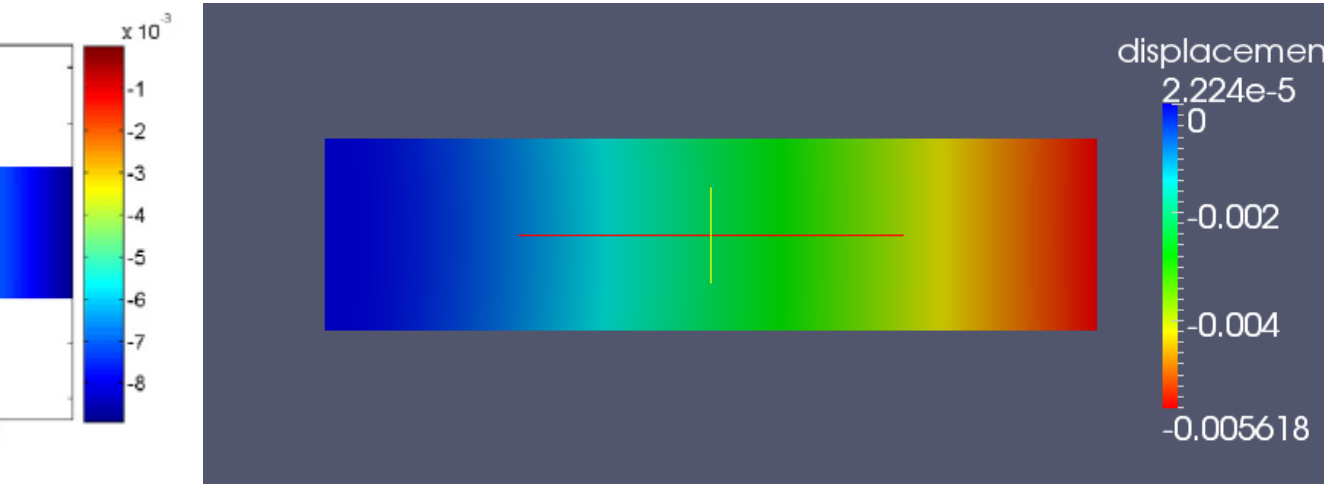
حاصل از برنامه شروع تسلیم را در بار ۱۰۸۰ نیوتن نشان می‌دهد خطا در حدود ۱۰ درصد

است. شایان ذکر است این نتیجه تنها با یک زیرناحیه در مدلسازی بدست آمده است.

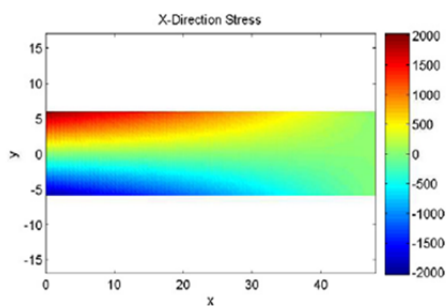


شکل (۴-۴) مش‌ها و نقاط کنترلی در تیر طره

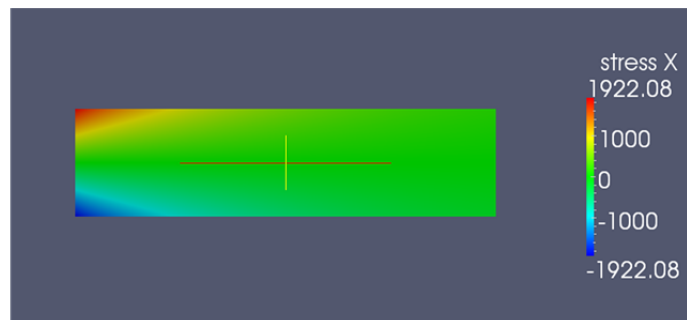
جهت کنترل برنامه خروجی تنش در جهت X و جابجایی تیر در جهت γ با بار 1000 N و در حوزه الاستیک با نتایج مرجع [۱۸] مقایسه گردیده است. شکل (۴-۴) مش‌ها و نقاط کنترلی در نظر گرفته شده در تیر طره را نشان می‌دهد.



(۵-۴) جابجایی در جهت γ تیر طره در حالت الاستیک تحت اثر بار $p=1000\text{ N}$
 (a) حاصل از برنامه Elasto-plastic IGA. (b) حل IGA مرجع [۱۸]



(b)



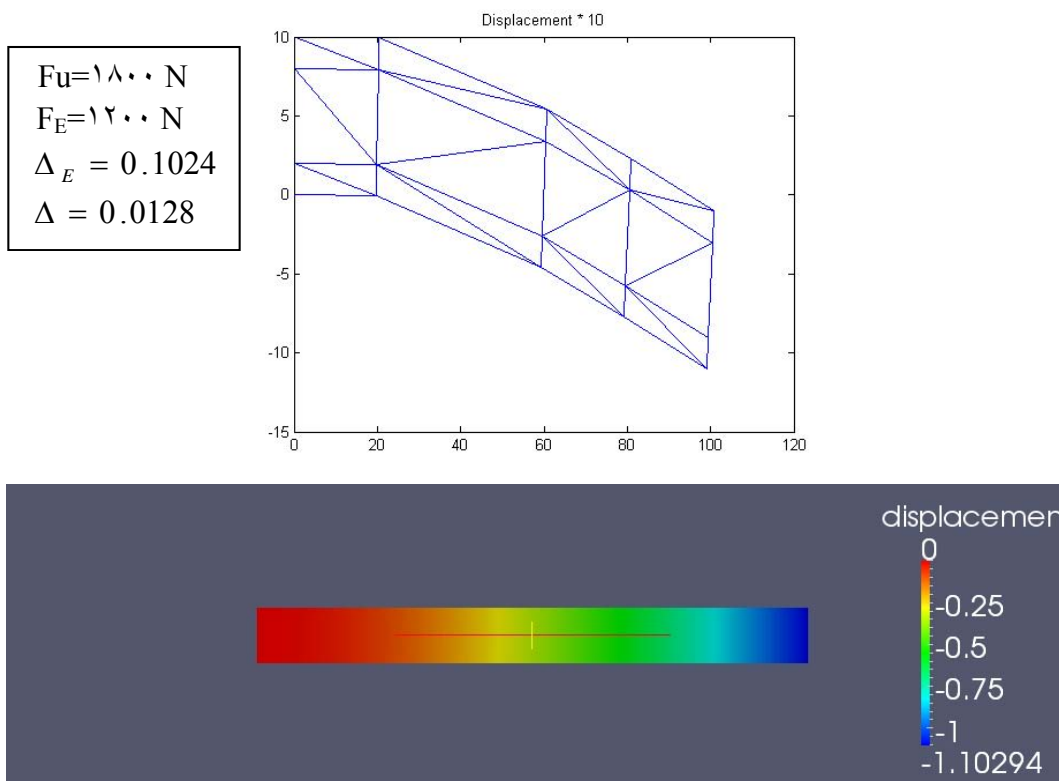
(a)

شکل (۶-۴) تنش در جهت XX تیر طره در حالت الاستیک تحت اثر بار $p=1000 \text{ N}$ (a) حاصل از برنامه Elasto-plastic IGA. حل IGA مرجع [۱۸]

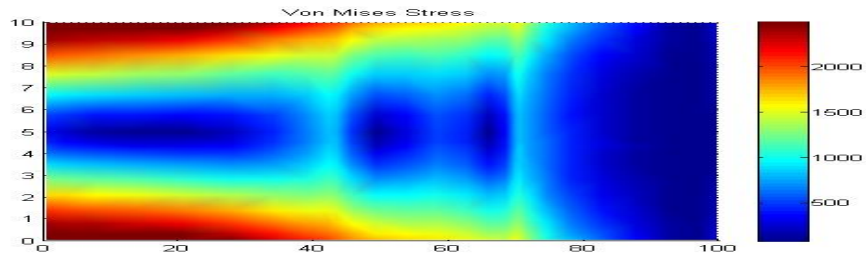
جابجایی در انتهای تیر مطابق حل تحلیلی 0.0077 m می باشد نتایج شبیه سازی مطابق شکل (۴-۵) این مقدار را 0.0056 m نشان می دهد. تنش در جهت XX تیر طره در حالت الاستیک تحت اثر بار $p=1000 \text{ N}$ نیز در شکل (۶-۴) نشان داده شده است که از خطای ناچیزی برخوردار است. لذا برنامه در حالت الاستیک و با یک ناحیه و تعداد اندک مش نتایج قابل قبول دارد.

حال مساله الاستو پلاستیک را در بار $N1500$ با استفاده از برنامه حل کرده و با نتایج تئوری مقایسه می کنیم. شکل (۷-۴) مقدار جابجایی انتهای تیر را نشان می دهد که با نتایج تحلیلی مجاور آن تطبیق بسیار خوبی دارد.

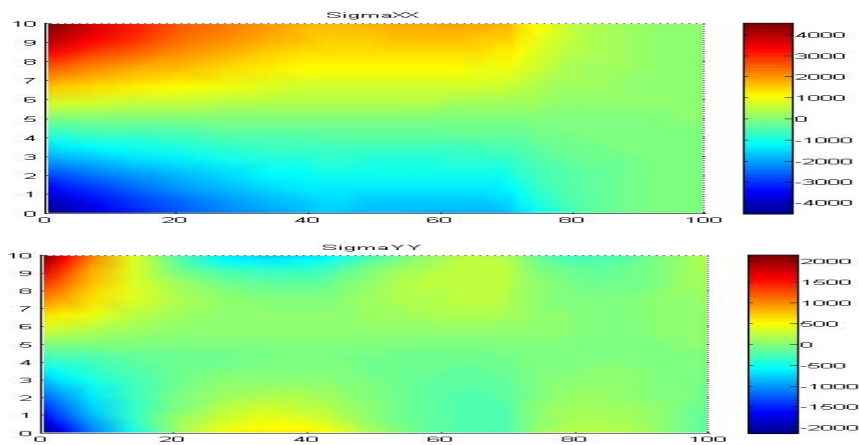
تنش فون میسز در شکل (۸-۴) هم نمایانگر تسلیم در تنش تسلیم $N 2400$ می باشد. سایر تنشها و کرنش پلاستیک موثر نیز در شکل های (۹-۴) و (۱۰-۴) ارائه شده اند.



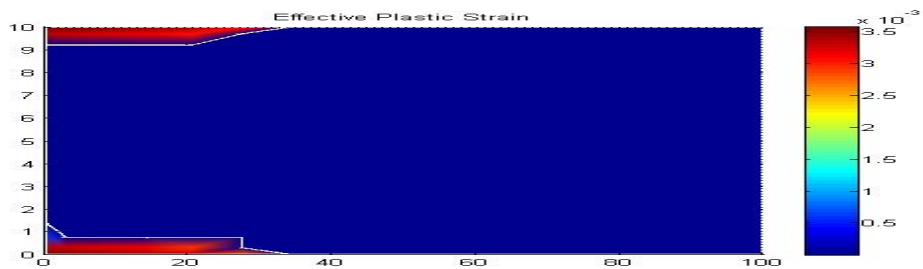
شکل (۷-۴) جابجایی در جهت ی‌تیر طره در حالت پلاستیک تحت اثر بار $p=1500\text{ N}$
 حاصل از برنامه Elasto-plastic IGA



شکل (۸-۴) تنش فون-میسز تیر طره در حالت پلاستیک تحت اثر بار $p=1500\text{ N}$
 حاصل از برنامه Elasto-plastic IGA



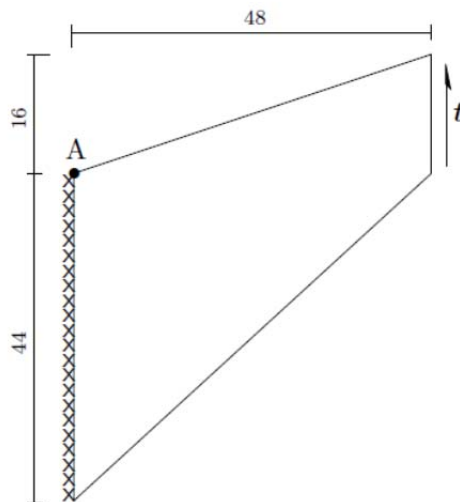
شکل (۹-۴) تنشهای تیر طره در حالت پلاستیک تحت اثر بار $p=1500\text{ N}$
 حاصل از برنامه Elasto-plastic IGA



شکل (۱۰-۴) کرنش پلاستیک موثر تیر طره در حالت پلاستیک تحت اثر بار $p=1500\text{ N}$
 حاصل از برنامه Elasto-plastic IGA

۴-۳-۲- غشای Cook^۱

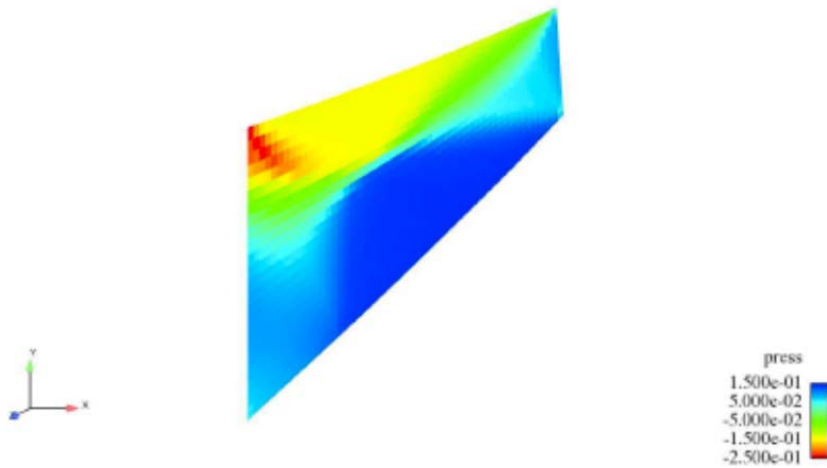
در این مثال، مساله شناخته شده COOK مورد نظر قرار می گیرد. مطابق شکل (۴-۱۱) مساله شامل یک پانل مخروطی تحت کرنش صفحه‌ای است که یک بار برشی در انتهای آن اعمال شده است. پانل ۴۸ واحد طول و ۴۴ واحد ارتفاع در محل قید و ۱۶ واحد ارتفاع در انتهای خود دارد. مدل ماده استفاده شده الاستوپلاستیک با مدول یانگ ۷۰ و نسبت poisson ۰,۳۳۳ و تنش تسلیم ۰,۲۴۳ و مدول سخت شدگی خطی ۰,۱۵ می باشد. بار برشی بکار رفته نهایی ۱,۸ است که یک جابجایی خمشی جزئی را در طول غشا ایجاد می کند [۳۳]. حل اجزاء محدود آن با ۵۳ المان در طول و ۲۳ المان در ارتفاع در شکل (۴-۱۲) نشان داده شده است.



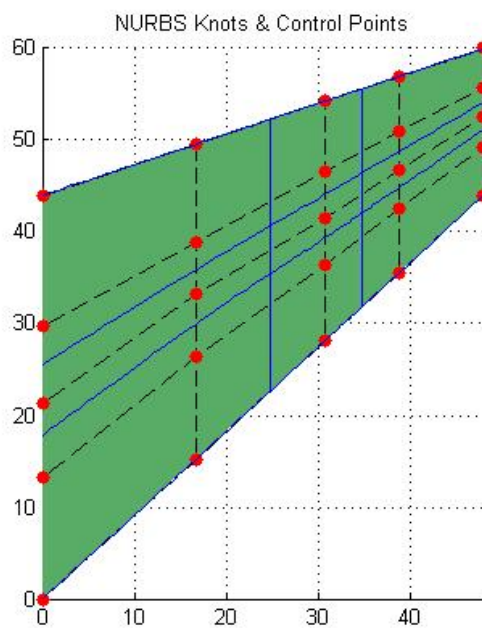
شکل (۴-۱۱) غشای Cook

^۱ Cook Memberan

این مساله با کد توسعه یافته در این پایان نامه مبتنی بر روش آیزوژئومتریک با بردارهای گره ای $H = \{0, 0, 0, 0.4, 0.7, 1, 1, 1\}$ و $\Sigma = \{0, 0, 0, 0.4, 0.7, 1, 1, 1\}$ و نقاط کنترلی نشان داده شده در شکل (۴-۱۳) نیز حل گردیده است.

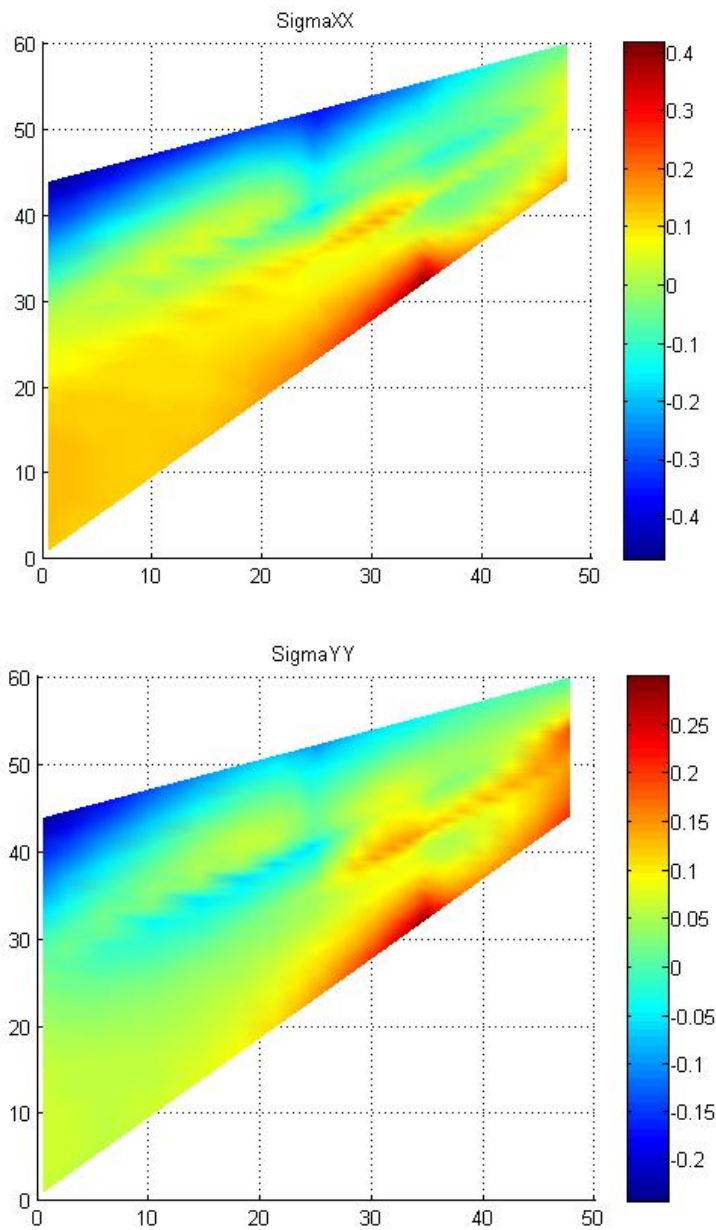


شکل (۴-۱۲) کشش در مساله غشای Cook

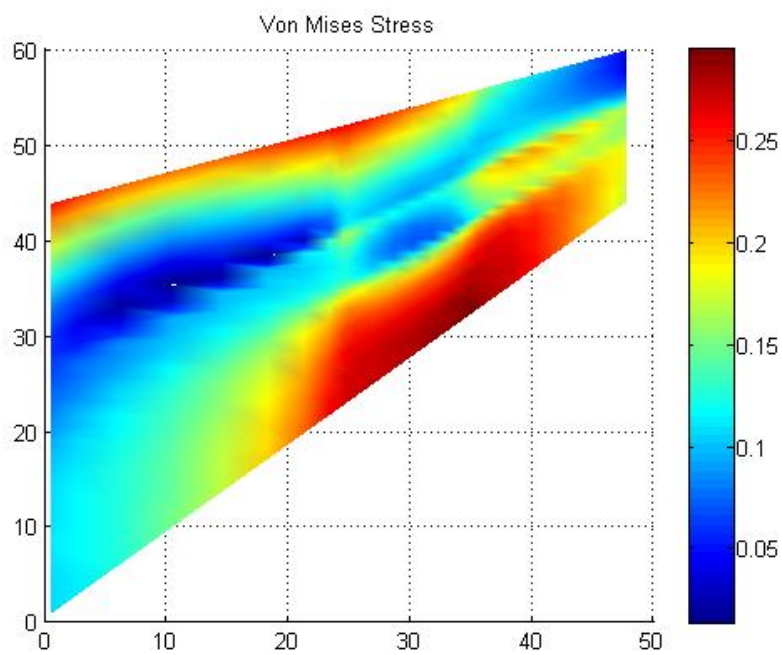


شکل (۴-۱۳) مشها و نقاط کنترلی در غشای Cook

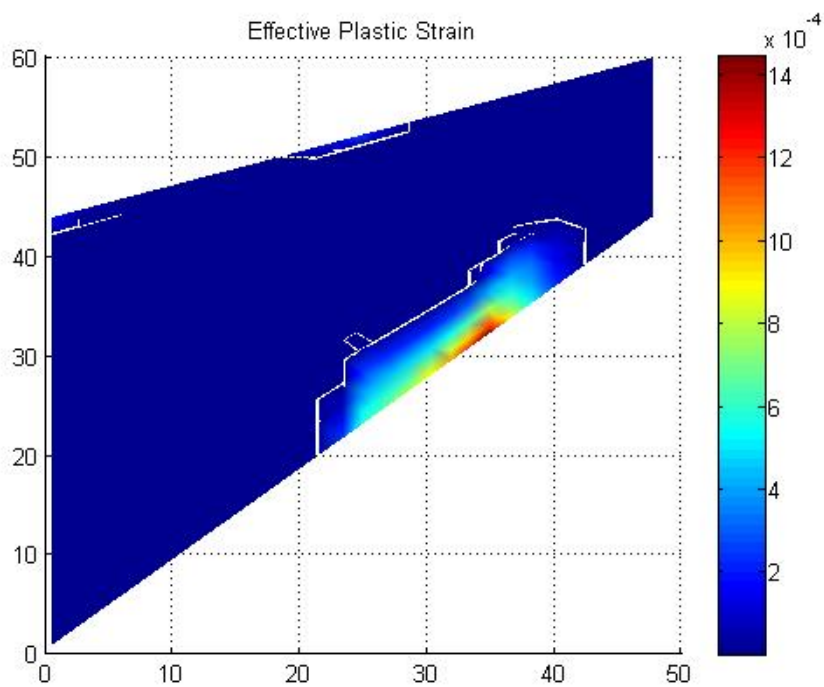
کانتورهای تنش σ_{xx} ، σ_{yy} در شکل (۴-۱۴) نشان داده شده‌اند تنش فون میسز و کرنش پلاستیک موثر در شکل های (۴-۱۵) و (۴-۱۶) نشان داده شده‌اند. جابجایی غشاء در شکل (۴-۱۷) نشان داده شده‌اند. مقایسه نتایج با روش اجزاء محدود معرف صحت تحلیل انجام شده توسط برنامه ارائه شده می باشد.



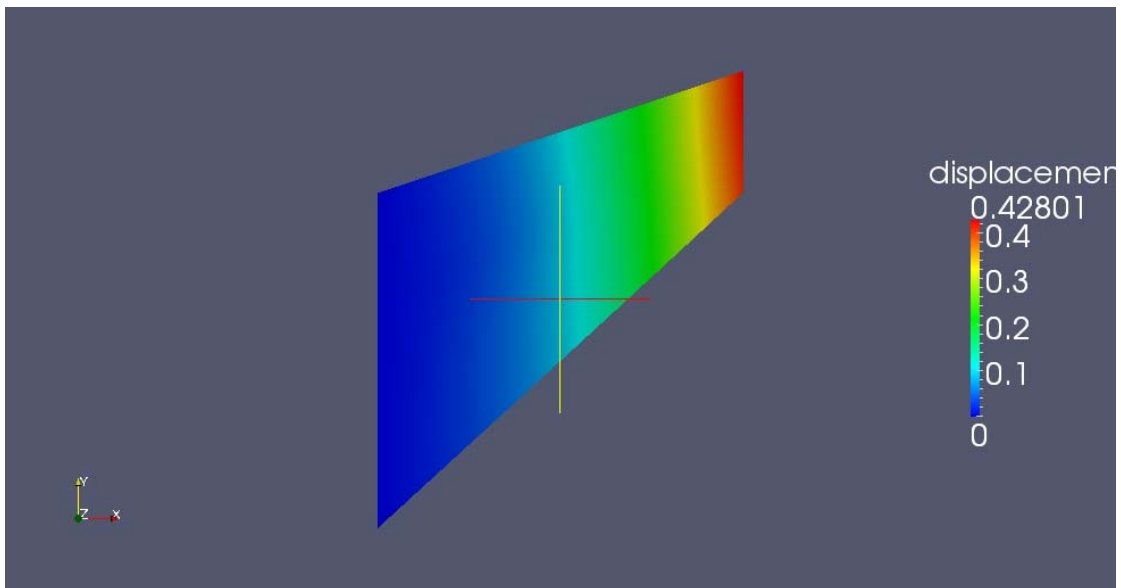
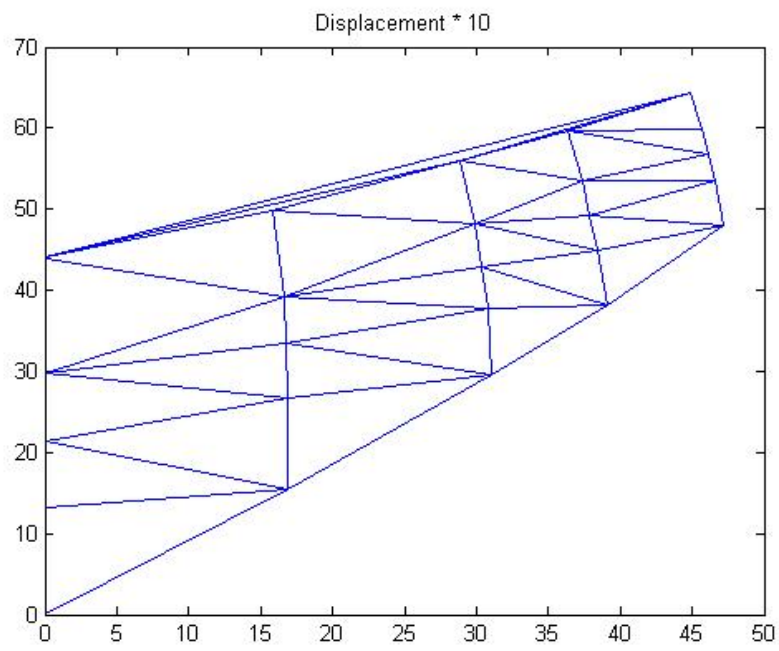
شکل (۴-۱۴) کانتورهای تنش در غشای Cook



شکل (۴-۱۵) تنش فون میسنر در غشای Cook



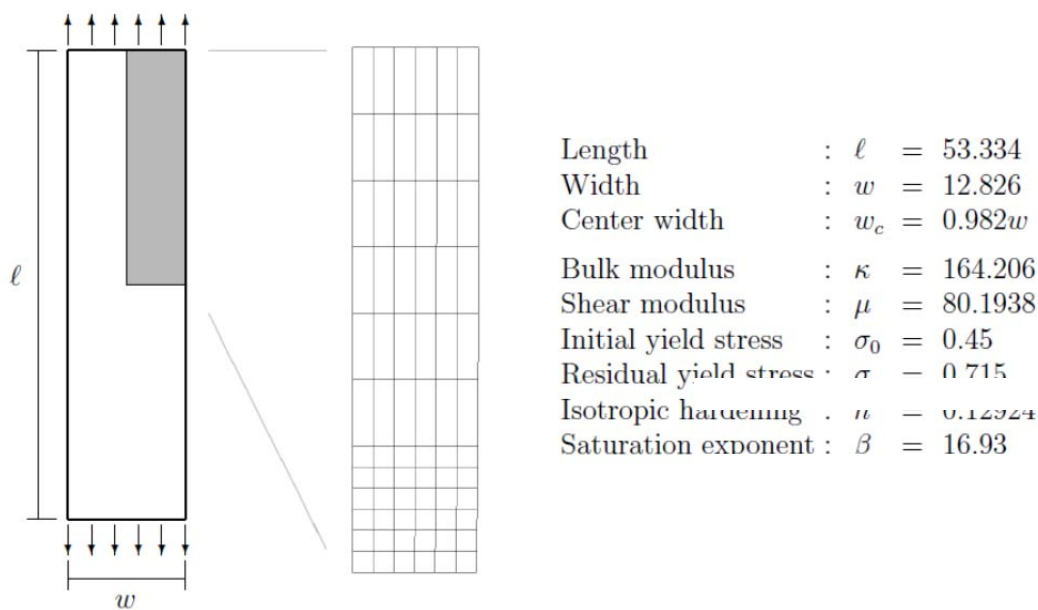
شکل (۴-۱۶) کرنش پلاستیک موثر در غشای Cook



شکل (۴-۱۷) جابجایی در غشای Cook

۴-۳-۳- نوار مسطح^۱

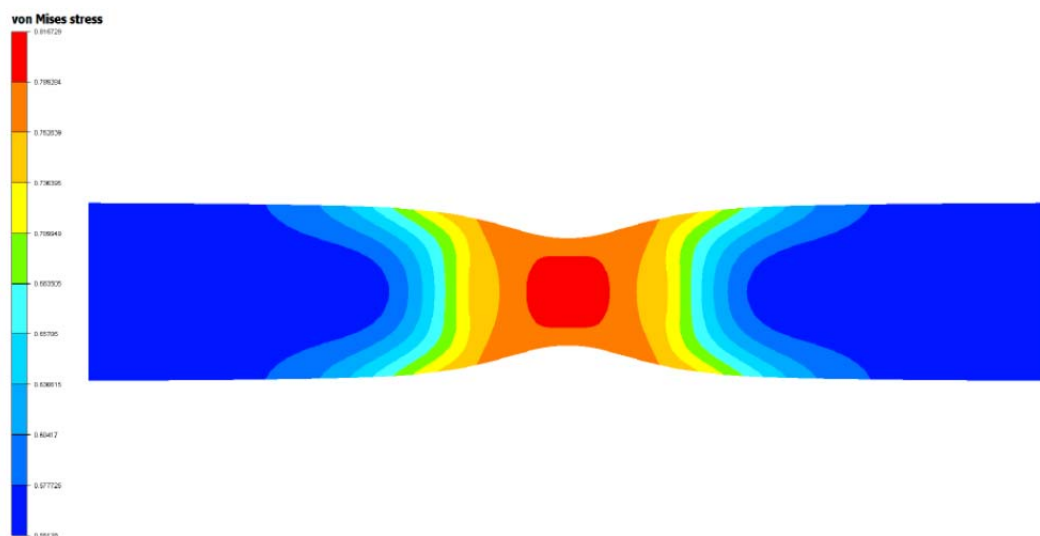
در این مثال نوار مسطح تحت شرایط کشش یکنواخت و بار کرنش صفحه ای قرار می گیرد. این مساله که یک الگوی استاندارد تست مسائل پلاستیک با تغییر شکل محدود می باشد در مراجع مختلف مورد مطالعه قرار گرفته است. [۳۴,۳۵,۳۶] هندسه و خواص ماده در شکل (۴-۱۸) نشان داده شده است. با شرایط مرزی متقارن تنها ربع نوار جهت تحلیل مد نظر قرار گرفته است.



شکل (۴-۱۸) نوار الاستوپلاستیک

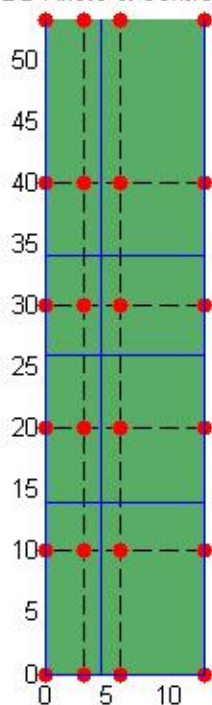
آنالیز در روش اجزاء محدود با نقاط گره ای 7×13 مطابق شکل (۴-۱۹) انجام شده است [۳۷]. تحلیل روش آیزوژئومتری بر اساس بردارهای گره ای $\Sigma = \{0, 0, 0, 0, 5, 1, 1, 1, 1\}$ و $H = \{0, 0, 0, 0, 2, 0.5, 0.7, 1, 1, 1, 1\}$ و نقاط کنترلی نشان داده شده در شکل (۴-۲۰) انجام گرفته است.

^۲
plane strip



شکل (۴-۱۹) تنش فون میسز در نوار صفحه ای حاصل از حل اجزای محدود

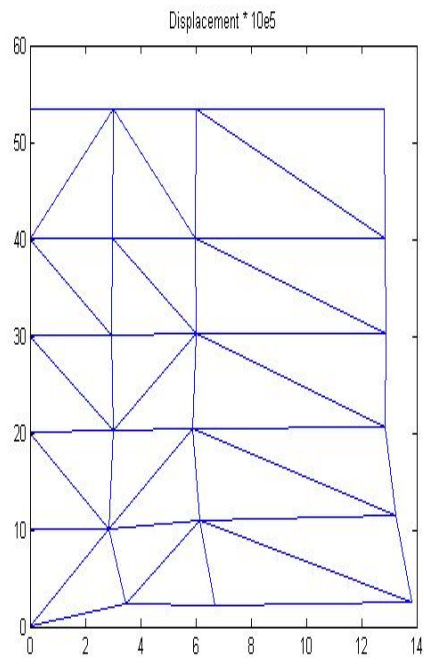
NURBS Knots & Control Points



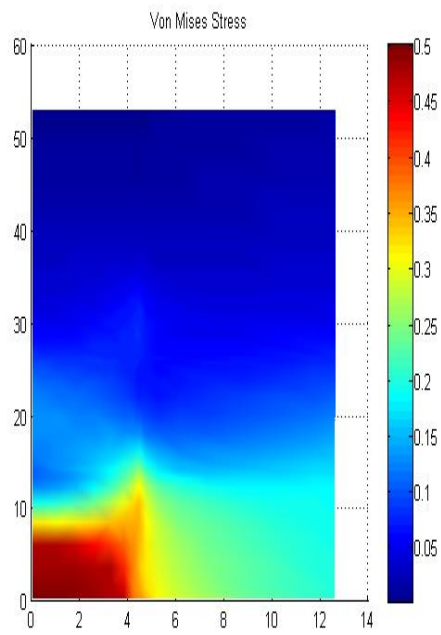
شکل (۴-۲۰) مش‌ها و نقاط کنترلی در نوار مسطح

نتایج مربوط به جابجایی‌ها و تنش‌ها در شکل‌های (۴-۲۱) الی (۴-۲۳) نشان داده شده‌اند.

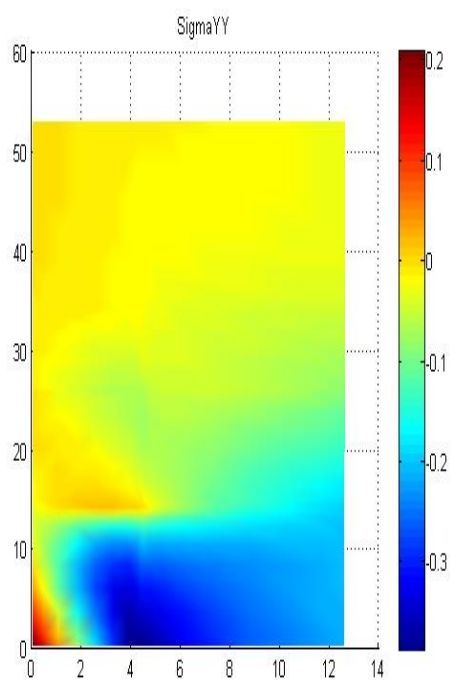
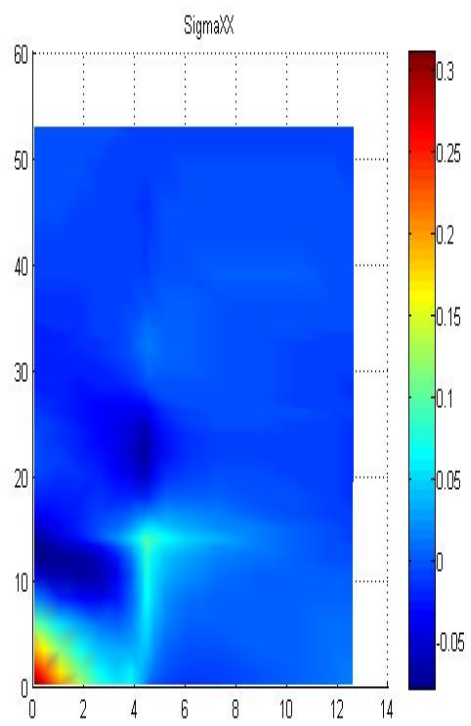
همانگونه که ملاحظه می‌شود الگوی تنش‌ها با روش اجزای محدود منطبق است.



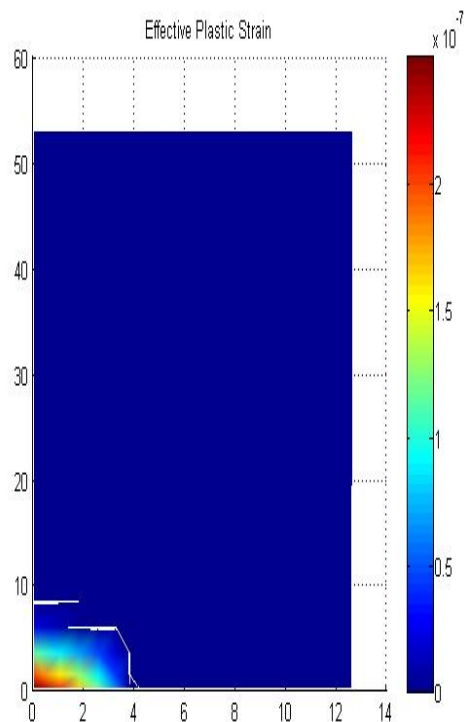
شکل (۴-۲۱) جابجایی در نوار مسطح



شکل (۴-۲۲) تنش فون میسز در نوار مسطح



شکل (۴-۲۳) تنشها در نوار مسطح



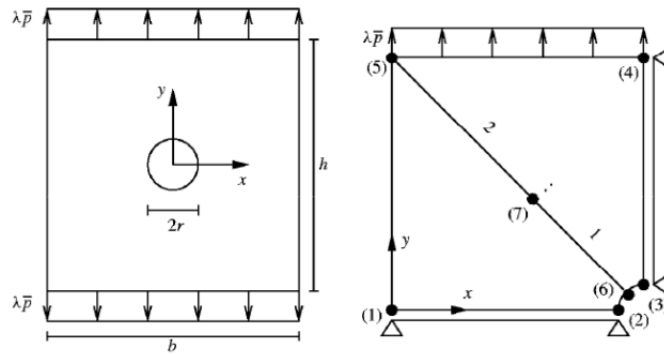
شکل (۴-۲۴) کرنش پلاستیک موثر در نوار مسطح

۴-۳-۴- ورق نامحدود با حفره دایروی

این مثال رفتار یک ورق با یک سوراخ مرکزی تحت کشش را مطابق شکل (۴-۲۵) مد نظر قرار می دهد. به جهت تقارن یک چهارم ورق مدل شده است. ورق تحت شرایط کرنش مسطح مد نظر قرار می گیرد. خواص ماده شامل مدول یانگ $2 \times 10^5 N/mm$ ، نسبت poisson ۰٫۲۹، تنش تسلیم ۲۴۰ و مدول سخت شدگی ۱ می باشد. حل آن مبتنی بر روش اجزای محدود در شکل (۴-۲۶) نشان داده شده است.

تحلیل روش آیزوژئومتری یک نیز بر اساس بردارهای گره‌ای $\Sigma = \{0, 0, 0, 5, 1, 1, 1\}$ و $H = \{0, 0, 0, 0.2, 0.5, 0.7, 1, 1, 1\}$ و نقاط کنترلی نشان داده شده در شکل (۴-۲۷) انجام گرفته است.

نتایج مربوط به تنش ها و جابجایی ها در شکل های (۴-۲۸) الی (۴-۳۱) نشان داده شده اند. همانگونه که ملاحظه می شود الگوی تنش ها با روش اجزای محدود منطبق است و پاسخها علی رغم تک ناحیه ای بودن و تعداد محدود مش از دقت لازم برخوردار است.

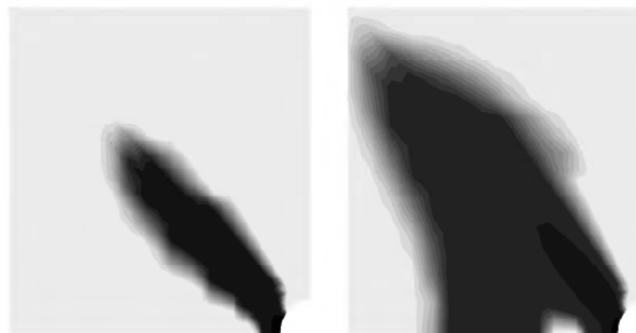


Young's modulus $E = 206\,900.00 \text{ kN/mm}^2$
 Poisson's ratio $\nu = 0.29$

شکل (۴-۲۵) ورق نامحدود با سوراخ دایروی

Participant	u_x at (2) in mm	σ_{yy} at (2) in N/mm ²	u_y at (4) in mm	type of element
Reference	0.021290	1388.732343	0.20951	Q19
Rank	0.021290	1388.858414	0.20951	Q10
Rannacher	0.021238	1363.9	0.20950	Q1
Stein	0.021175	1409.699999	0.20944	Q1
Stein	0.021287	1392.32958	0.20951	Q2
Stein	0.021133	1426.3608	0.20946	Q1-P0
Stein	0.021253	1420.5582	0.20947	Q1-E5
Wendland	0.021292	1467.93	0.20952	BEM
Witnum	0.021291	1389.0	0.02095	Q2
Wunderlich	0.021290	1382.00336	0.02095	Q2
Wriggers	0.021177	1339.16	0.02094	T1

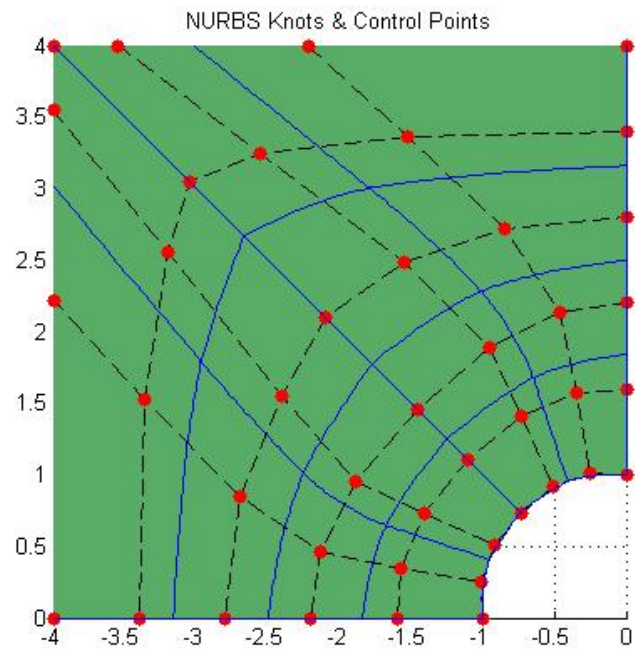
Participant	u_x at (5) in mm	$\int_{(4)}^{(5)} u_y$ in mm ²	# of d.o.f.	type of element
Reference	0.076758	20.40344	7372	Q19
Rank	0.076758	20.40344	2080	Q10
Rannacher	0.076764	20.403	2000	Q1
Stein	0.076796	20.40156	2353	Q1
Stein	0.076756	20.40338	2596	Q2
Stein	0.076798	20.40080	1680	Q1-P0
Stein	0.076781	20.40123	1436	Q1-E5
Wendland	0.076760	20.40321	2500	BEM
Witnum	0.076758	20.4034	2300	Q2
Wunderlich	0.076758	20.4034	2512	Q2
Wriggers	0.076788	20.4016	2639	T1



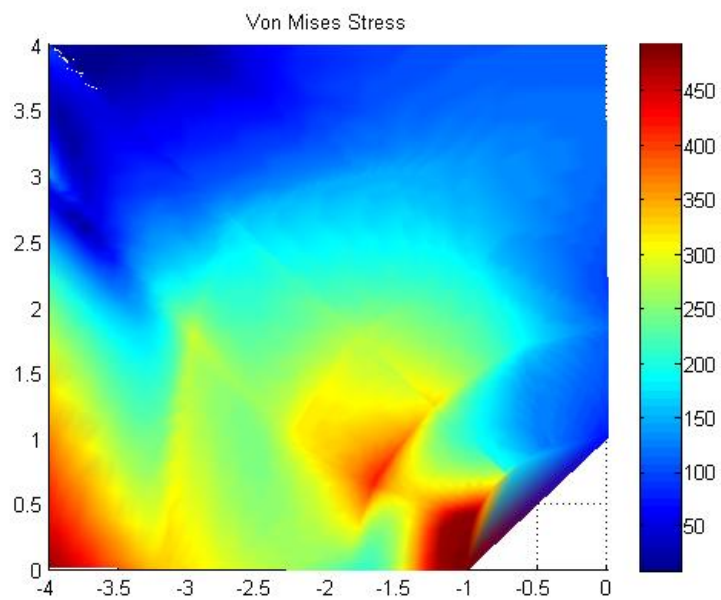
(a) Plastic zone at $\lambda = 4.0$

(b) Plastic zone at $\lambda = 4.5$

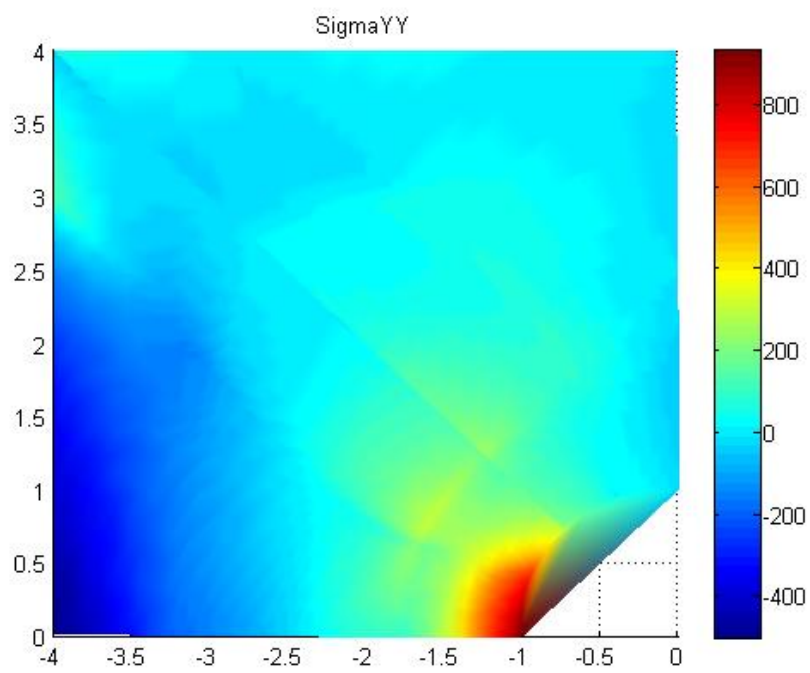
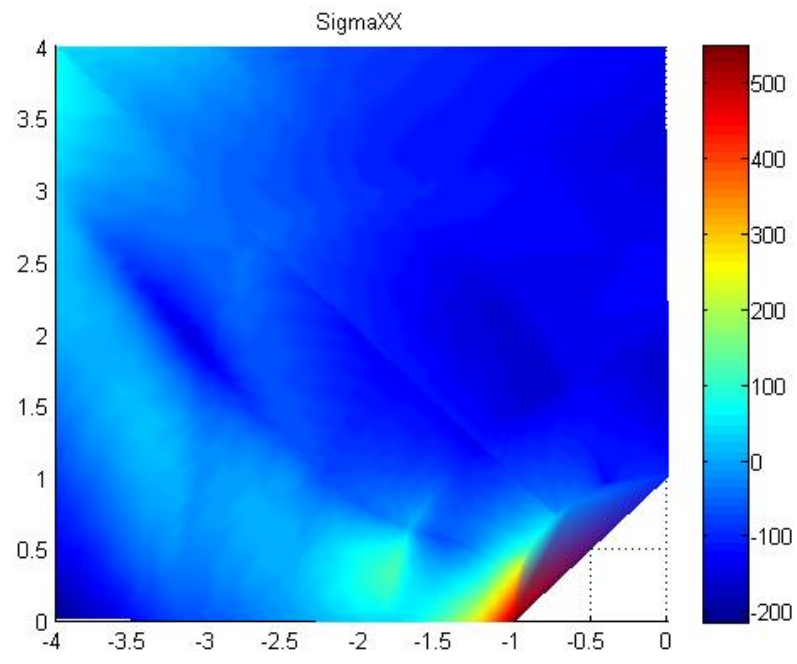
شکل (۴-۲۶) تنش پلاستیک ورق نامحدود با سوراخ دایروی حاصل از حل اجزای محدود



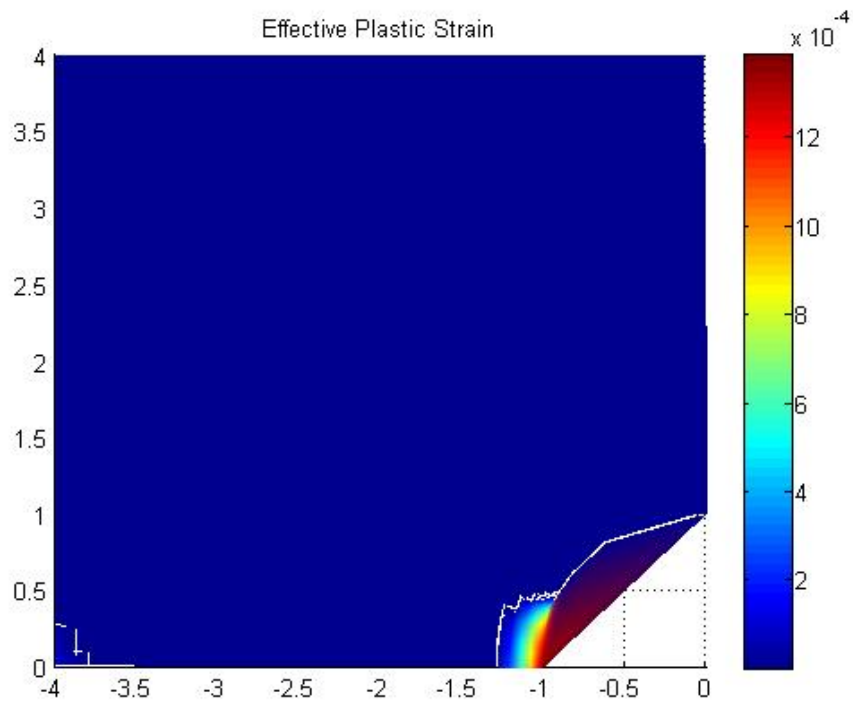
شکل (۴-۲۷) مش‌ها و نقاط کنترلی در ورق نامحدود با سوراخ دایروی



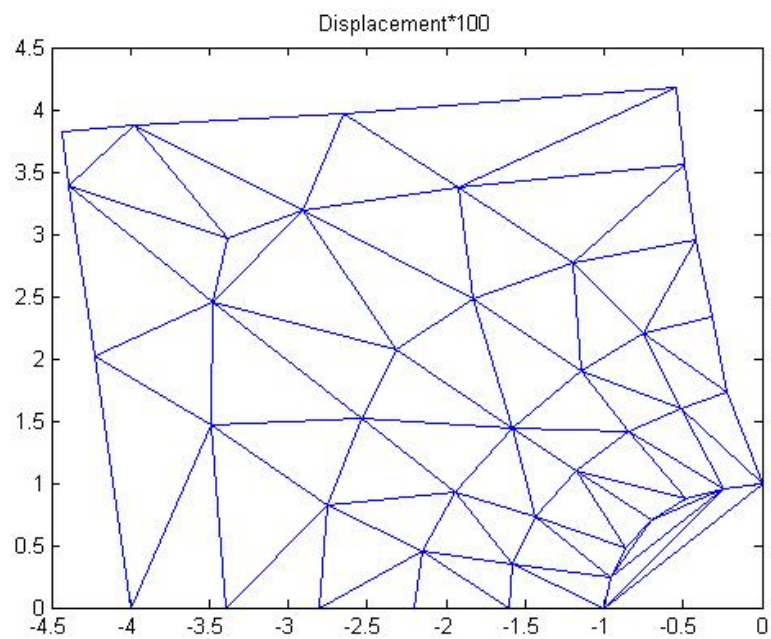
شکل (۴-۲۸) تنش فون میسز در ورق نامحدود با سوراخ دایروی



شکل (۴-۲۹) تنش ها در ورق نامحدود با سوراخ دایروی



شکل (۴-۳۰) کرنش پلاستیک موثر در ورق نامحدود با سوراخ دایروی



شکل (۴-۳۱) جابجایی در ورق نامحدود با سوراخ دایروی

۴-۴- جمع بندی

در این فصل ضمن تشریح ساختار برنامه Elasto-Plastic IGA به بررسی حل چهار مساله الگو با برنامه مذکور و مقایسه نتایج آن با حل تحلیلی یا نتایج حاصل از حل اجزای محدود برخی منابع پرداخته شد. همانطور که ملاحظه شد علیرغم انتخاب تنها یک زیر ناحیه و هندسه ساده با مشهای کم، جوابها از دقت قابل قبولی برخوردار است.

فصل پنجم

جمع‌بندی و پیشنهادات

جمع بندی و پیشنهادات

در این فصل جمع بندی از نتایج حاصل از حل عددی معادلات الاستو-پلاستیک سازه های دوبعدی به روش آیزوژئومتری که در فصل قبل در قالب حل چهار مساله الگو نشان داده شده، ارائه می گردد و سپس بر اساس نقاط ضعف و قوت نتایج حاصل، پیشنهاداتی جهت ادامه کار ارائه می شود.

۵-۱- جمع بندی نتایج حاصل

همانگونه که در نتایج عددی ارائه شده، ملاحظه گردید یکی از ویژگیهای منحصر بفرد روش آیزوژئومتری تعداد کم مشها و حجم محاسبات کم جهت حصول نتایج مشابه روش FEM می باشد. مطلب مهم دیگر درجه پایین توابع نربز جهت حصول دقت مورد نظر است که در کنار تعداد مشها در حل مسائل غیر خطی که مستلزم حل توالیهای متعدد جهت کاهش خطای محاسبات است، بالطبع یک مزیت مهم در مقابل روش FEM محسوب می شود. لذا در مجموع می توان اذعان نمود که :

۱- تحلیل الاستو-پلاستیک سازه های دوبعدی مبتنی بر توابع پایه نربز در قالب روشهای عددی موجود، چون نیوتون-رافسون ضمن برخورداری از حجم محاسبات و دقت قابل قبول (البته مشروط به انتخاب مناسب گره ها ، درجه ها و نقاط کنترلی) می تواند ابزار ارزشمندی محسوب گردد.

۲- حل سایر مسائل غیر خطی چه در حوزه الاستیک و چه در حوزه پلاستیک نیز بالطبع بر اساس این روش می تواند از ارجحیت برخوردار باشد.

۳- نکته بسیار مهم در حل عددی بر اساس روش IGA لزوم درک عمیق و صحیح از مسأله غیرخطی و مفهوم توابع نربز فضای پارامتری و فضای فیزیکی می باشد که جز در سایه چنین

درک عمیقی ، امکان تحقق برنامه نرم افزاری با پیچیدگیهای موجود در مسائل غیر خطی عملا امکانپذیر نمی باشد.

۴- یکی از چالشهای موجود در روش IGA ، نحوه اعمال نیروهای گسترده خارجی بر سازه مورد نظر است که تجربیات موجود نشان می دهد انتگرال گیری مبتنی بر توابع نربز در طول مرزی از المان که در معرض نیروی خارجی است می تواند منجر به پاسخهای صحیح گردد. از آنجاییکه در حل الاستو پلاستیک مسأله باز توزیع نیروها در افزایشهای کلی و توالی های محلی اهمیت ویژه ای را داراست، توزیع صحیح نیروهای خارجی از اهمیت بالاتری نسبت به مسائل حوزه الاستیک برخوردار است.

۵-۲- پیشنهادات

با توجه به نتایج حاصل از انجام این پایان نامه، موارد ذیل جهت فعالیتهای آتی پیشنهاد می گردد:

۱- نظر به قابلیتهای ویژه نرم افزار متلب در حل ماتریسی مسائل و بهره گیری از یک ویرایشگر قوی عملا توسعه های بعدی روش ایزوژئومتریک مبتنی بر آن توصیه می گردد رویکردی که در مرور محصولات آکادمیک و تجاری اخیر (فصل سوم) بوضوح قابل مشاهده است، در این راستا نرم افزار GEO PDE به عنوان یک بستر قدرتمند پیشنهاد می شود.

۲- حل مسائل الاستو-پلاستیک با فرض سخت شدگی غیرخطی

۳- تعمیم حل مسائل الاستو-پلاستیک در فضای سه بعدی

۴- بررسی شکل صحیح بارگذاری خارجی در روش ایزوژئومتریک با توجه به نقش نقاط کنترلی در حل مسأله

- [١] David J. Benson, Thomas J. R. Hughes, Yuri Bazilevs., “ Isogeometric methods”.
- [٢] Thomas J.R. Hughes. , (٢٠٠٨). , “ **Isogeometric Analysis: Progress and Challenges**”, ECCOMAS: European Congress on Computational Methods in Applied Sciences and Engineering
- [٣] T.J.R. Hughes, J.A. Cottrell, Y. Bazilevs. , (٢٠٠٥). , “Isogeometric analysis: CAD, finite elements, NURBS, exact geometry and mesh refinement”. **Compuer Methods in Applied Mechanics and Engineering**, Vol ١٩٤. , pp. ٤١٣٥-٤١٩٥
- [٤] T.J.R Hughes, AR, and Sangalli. , (٢٠٠٨). “ Duality and Unified Analysis of Discrete Approximations in Structural Dynamics and Wave Propagation: Comparison of p-method Finite Elements with k-method NURBS”. , **Compuer Methods in Applied Mechanics and Engineering**. , Vol ١٩٧. , pp. ٤١٠٤-٤١٢٤.
- [٥] AR, , (٢٠٠٦). , “An isogeometric analysis approach for the study of structural vibrations”. , **Journal of Earthquake Engineering**, Vol ١٠(s.i.١). , pp.١-٣٠.
- [٦] Cottrell, AR, Bazilevs, and Hughes. , (٢٠٠٦). , “Isogeometric analysis of structural vibrations”. **Compuer Methods in Applied Mechanics and Engineering**. , Vol ١٩٥. , pp.٥٢٥٧-٥٢٩٦.
- [٧] R. Duvigneau. , (٢٠٠٩). , “**An Introduction to Isogeometric Analysis Application to Heat Conduction**” INRIA Research Report RR-٦٩٥٧.
- [٨] A. Buffa and R. Vazquez., (٢٠٠٣). , “ IsoGeometric analysis for electromagnetic problems”. , Tec. Rep, IMATICNR.
- [٩] A.Anandarajah. , (٢٠١٠). , “**Computational Methods in Elasticity and Plasticity: Solids and Porous Media**”. Springer ScienceBusiness Media. , New York , U.S
- [١٠] EA de Souza Neto, D Peri'c, DRJ Owen . , (٢٠٠٨). , “**Computational methods for plasticity: theory and Application**”. John Wiely&Sons Ltd. , England.
- [١١] D. R. J. Owen, E. Hinton. , (١٩٨٠). , “**Finite element in plasticity: Theory and Practice**”. Pineridge Press Limited. , U.K.
- [١٢] J. Chakrabarty. , (٢٠٠٦). , “**Theory of plasticity**”. , Third edition., Elsevier Butterworth-Heinemann. , England.
- [١٣] J.C.Simo, T.J.R. Hughes. ,(١٩٩٨). , “**Computational Inelasticity**”. , Springer-Verlag. , New York.
- [١٤] Allan F. Bower. , (٢٠١٠). , “**Applied Mechanics of Solids**”. , Taylor and Francis Group. , U.S

- [١٥] Dennis Ernens. , (٢٠١١)., MSc thesis. , “Finite Element Methods with exact geometry representation”. Aerospace Engineering. , Delft University of Technology.
- [١٦] Les Piegl, Wayne Tiller. , “The NURBS book”. ٢nd edition. , Springer. , Berlin.
- [١٧] Michael R. D orfel, Bert J uttler, Bernd Simeon. , (٢٠٠٧). , “Adaptive Isogeometric Analysis by Local h-Re_ nement with T-Splines”. **Compuer Methods in Applied Mechanics and Engineering**.
- [١٨] N. Nguyen-Thanh, H. Nguyen-Xuan, S.P.A. Bordas, T. Rabczuk. , (٢٠١١). , “Isogeometric analysis using polynomial splines over hierarchical T-meshes for two-dimensional elastic solids”. , **Compuer Methods in Applied Mechanics and Engineering**. , Vol ٢٠٠. , pp. ١٨٩٢-١٩٠٨.
- [١٩] Toby Mitchell. , Ph.D thesis. , “NURBS-Based Adaptive Finite Element Analysis”. , Civil and Environmental Engineering. , California at Berkeley University.
- [٢٠] Xiaoping Qian. , (٢٠١٠). , “Full analytical sensitivities in NURBS based isogeometric shape optimization”. **Compuer Methods in Applied Mechanics and Engineering**. , Vol ١٩٩. , pp. ٢٠٥٩-٢٠٧١.
- [٢١] Y. Bazilevs, L. Beir~ao da Veiga, J.A. Cottrell, T.J.R. Hughes, G. Sangalli.(٢٠٠٦), “Isogeometric Analysis: Approximation, stability and error estimates for h-refined meshes”. **Mathematical Models and Methods in Applied Sciences**,Vol.١٦,Issue ٧.
- [٢٢] T.J.R. Hughes, A. Reali, and G. Sangalli. , (٢٠١٠), “Efficient quadrature for NURBS-based isogeometric”. **Compuer Methods in Applied Mechanics and Engineering**. , Vol ١٩٩(٥-٨). , pp.٣٠١-٣١٣.
- [٢٣] Howard B. Wilson, Louis H. Turcotte, David Halpern. , (٢٠٠٣). , “**Advanced Mathematics and Mechanics Applications Using MATLAB**”. Third edition. , Chapman & Hall/CRC. , Florida. U.S.
- [٢٤] A.-V. Vuong, Ch. Heinrich , B. Simeon. (٢٠١٠). , “ISOGAT: A ٣D tutorial MATLAB code for Isogeometric Analysis”. **Advances in Engineering Software**. , Vol ٢٧. , pp. ٦٤٤-٦٥٥.
- [٢٥] C. de Falco, A. Reali, R. VJzquez. , (٢٠١١). , “GeoPDEs: A research tool for Isogeometric Analysis of PDEs”. **Advances in Engineering Software**. , Vol ٤٢. , pp. ١٠٢٠-١٠٣٤.
- [٢٦] Daniel Rypl, Bor~ek Patzak. , (٢٠١٢). , “From the finite element analysis to the isogeometric analysis in an object oriented computing environment”. **Advances in Engineering Software**. , Vol ٤٤. , pp. ١١٦-١٢٥.

- [٢٧] D. J. Benson, Y. Bazilevs, E. De Luycker, M.-C. Hsu, M. Scott, T. J. R. Hughes T. Belytschko.(٢٠١٠)., “A generalized finite element formulation for arbitrary basis functions: From isogeometric analysis to XFEM”. , **International Journal for Numerical Methods in Engineering**. , VOL٨٣ (٦). pp. , ٧٦٥–٧٨٥.
- [٢٨] Vinh Phu Nguyen, Robert N. Simpson, St´ephane P.A. Bordas, Timon Rabczuk. , (٢٠١٢). , “An introduction to Isogeometric Analysis with Matlab R implementation: FEM and XFEM formulations”. , **Computer Methods in Applied Mechanics and Engineering**.
- [٢٩] Robert L. Taylor. , (٢٠١١). , “**FEAP - - A Finite Element Analysis Program**”. , Berkeley.
- [٣٠] C. Carstensen, R. Klose. , (٢٠١٠). , “Elastoviscoplastic Finite Element Analysis in ١٠٠ lines of Matlab”. , **Journal of Numerical Mathematics**. Vol. ١٠, Issue ٣, P ١٥٧–١٩٢.
- [٣١] Jacob Lubliner. , (٢٠٠٦). , “**Plasticity Theory**”. , Jacob Lubliner., U.S
- [٣٢] E.Ramm, E.Rank, R.Rannacher, K.Schweizerhof, E.Stein, W.Wendland, G.Wittum, P.Wriggers, W.Wundelich. , (٢٠٠٣). , “ **Error-controlled adaptive finite elements in solid mechanics**”. , John Wiley&Sons Ltd. , England.
- [٣٣] M. Puso and J. Solberg., (٢٠٠٦). , “A stabilized nodally integrated tetrahedral”. , **International Journal For Numerical Methods in Engineering**, ٦٧:٨٤١–٨٦٧
- [٣٤] S. Glaser and F. Armero., (١٩٩٧). , “On the Formulation of Enhanced Strain Finite Elements in Finite Deformation”. , **Engineering with Computers**, ١٤:٧٥٩{٧٩١}.
- [٣٥] E. N. Dvorkin and A. P. Assanelli., (٢٠٠٠). , “Implementation and Stability Analysis of the QMITC-TLH Elasto-plastic Finite Strain (٢D) Element Formulation”. , **Computers and Structures**, ٧٥:٣٠٥{٣١٢}.
- [٣٦] E. N. Dvorkin and A. P. Assanelli. , (٢٠٠٠). , “Implementation and Stability Analysis of the QMITC-TLH Elasto-plastic Finite Strain (٢D) Element Formulation”. **Computers and Structures**, ٧٥:٣٠٥{٣١٢}.
- [٣٧] Kjell Magne Mathisen, Knut Morten Okstad, Trond Kvamsdal and Siv Bente Raknes, Rakenteiden Mekaniikka., (٢٠١١)., “Isogeometric analysis of finite deformation nearly incompressible solids”. , **Journal of Structural Mechanics**. , Vol. ٤٤, No ٣, pp. ٢٦٠ -٢٧٨.

Abstract

Isogeometric Analysis (IGA) as a early developed computational method tries to integrate CAD and CAE packages. In this manner, while improving the accuracy of model geometry and analysis, computational effort also reduces.

In this thesis, by review of the nurbs based IGA, elasoplastic analysis of 2D problems according to this approach is considered. In this way, elastoplastic formulation of 2D problems and numerical methods of solving them are reviewed. Then by considering nurbs basis functions, the method of solving 2D elastoplastic problems based on this functions are presented.

By the developed code in MATLAB to solve these problems as “Elasto-plastic IGA”, numerical solution of some beanchmark problems are obtaind and compared with the FEM or analytical ones. Results show appropriate accuracy of the method and developed software.

Keywords: Isogeometric Analysis, Elastoplasticity, two dimensional solids



Shahrood University of Technology
Faculty of Civil Engineering

**Isogeometrical Elasto-Plastic Analysis of Two Dimensional
Problems**

Zahra Masoumi

Supervisor:
Dr. Behrooz Hassani

September ۲۰۱۲